

**สำนักหอสมุดกลาง พระจอมเกล้าลาดกระบัง**

**วงจรรขยายแบบสวิตซิ่ง**

**Switch-mode Audio Amplifier**



รฟ.  
๑๘๖๙๖  
๒๕๕๐

เลขหมู่.....  
เลขระเบียน.....  
วัน,เดือน,ปี.....

ปริญญานิพนธ์รายงานนี้เป็นส่วนหนึ่งของการศึกษาตามหลักสูตรปริญญาวิศวกรรมศาสตรบัณฑิต  
สาขาวิชาอิเล็กทรอนิกส์  
สถาบันเทคโนโลยีพระจอมเกล้าเจ้าคุณทหารลาดกระบัง  
ปีการศึกษา ๒๕๕๐

b. ๑๑๙๒๖๐๗๖  
i. ....

เอกสารนี้เป็นเอกสารที่สงวนไว้สำหรับการใช้งานเพื่อการศึกษาเท่านั้น ไม่อนุญาตให้นำไปเผยแพร่หรือขึ้นต้นการก่  
ไม่ว่ากรณีใดๆทั้งสิ้น อีกทั้งห้ามมิให้ตัดแปลงเนื้อหา และต้องอ้างอิงถึงเจ้าของเอกสารทุกครั้งที่มีการนำไปใช้

วงจรรขยายแบบสวิตซิ่ง

Switch-mode Audio Amplifier



ปริญญานิพนธ์รายงานสำหรับปริญญาวิศวกรรมศาสตรบัณฑิต

สาขาวิชาอิเล็กทรอนิกส์

คณะวิศวกรรมศาสตร์

สถาบันเทคโนโลยีพระจอมเกล้าเจ้าคุณทหารลาดกระบัง

ปีการศึกษา 2550

เอกสารนี้เป็นเอกสารที่สงวนไว้สำหรับการใช้งานเพื่อการศึกษาเท่านั้น ไม่อนุญาตให้นำไปใช้ประโยชน์ด้านการค้า  
ไม่ว่ากรณีใดๆทั้งสิ้น อีกทั้งห้ามมิให้ตัดแปลงเนื้อหา และต้องอ้างอิงถึงเจ้าของเอกสารทุกครั้งที่มีการนำไปใช้

วงจรรขยายแบบสวิตซิ่ง  
Switch-mode Audio Amplifier

ปริญญาโทปีการศึกษา 2550

ภาควิชาอิเล็กทรอนิกส์

คณะวิศวกรรมศาสตร์ สถาบันเทคโนโลยีพระจอมเกล้าเจ้าคุณทหารลาดกระบัง

เรื่อง วงจรรขยายแบบสวิตซิ่ง

Switch-mode Audio Amplifier

ผู้จัดทำ

1. นายวุฒิศักดิ์ แก่นนาคำ รหัสนักศึกษา 48015183
2. นายภูเกียรติ สุอูราช รหัสนักศึกษา 48015153

.....อาจารย์ที่ปรึกษา  
( รศ.ดร.มนัส สังวรศิลป์ )

เอกสารนี้เป็นเอกสารที่สงวนไว้สำหรับการใช้งานเพื่อการศึกษาเท่านั้น ไม่อนุญาตให้นำไปใช้ประโยชน์ด้านการค้า  
ไม่ว่ากรณีใดๆทั้งสิ้น อีกทั้งห้ามมิให้ดัดแปลงเนื้อหา และต้องอ้างอิงถึงเจ้าของเอกสารทุกครั้งที่มีการนำไปใช้

# วงจรรขยายแบบสวิตชิง

นายวุฒิสักดิ์ แก่นนาคำ รหัส 48015183

นายภูเกียรติ สุณราช รหัส 48015153

รศ.ดร. มนัส สังวรศิลป์ อาจารย์ที่ปรึกษา  
ปีการศึกษา 2550

## บทคัดย่อ

โครงการนี้จัดทำขึ้นเพื่อศึกษาหลักการการทำงานของวงจรรขยายแบบสวิตชิง หรือแบบคลาสดีซึ่งเป็นวงจรที่ได้รับความนิยมในปัจจุบัน เนื่องจากเป็นที่ยอมรับว่ามีประสิทธิภาพที่ดีกว่าคลาสอื่นๆ หลักการเบื้องต้นของวงจรรขยายคลาสดีคือการนำเอาอินพุตหรือสัญญาณเสียงไปทำการเปรียบเทียบกับสัญญาณพาหะแบบสามเหลี่ยมที่มีความถี่สูงกว่าความถี่เสียง เพื่อสร้างสัญญาณพัลส์วิธัธมอดดูเลต (Pulse width modulate, PWM) ซึ่งในการสร้างสัญญาณพัลส์วิธัธมอดดูเลตนี้ ได้ใช้อิซีเบอร์ HIP 4080 ซึ่งเป็นไอซีที่มีภาคสำหรับสร้างสัญญาณพัลส์วิธัธมอดดูเลต และมีชุดวงจรขับเคลื่อนของ มอสเฟทภายใน สัญญาณเอาต์พุตที่ออกมาจะถูกนำไปต่อกับภาคขยายกำลัง ซึ่งต่อวงจรเป็นแบบฟูลล์บริดจ์โดยใช้มอสเฟตเป็นอุปกรณ์กำลัง มอสเฟทจะมีการทำงานร่วมกันในลักษณะเป็นสวิตซ์ เปิด-ปิด ตามคุณลักษณะของวงจรรขยายแบบคลาสดี จากนั้นจะนำสัญญาณเอาต์พุตที่ได้จากวงจรฟูลล์บริดจ์ไปผ่านวงจรกรองความถี่ต่ำเพื่อกรองความถี่พาหะออก และให้ได้สัญญาณเสียงกลับมาเพื่อนำไปขับ โหลดซึ่งเป็นลำโพงในภาคสุดท้าย

เอกสารนี้เป็นเอกสารที่สงวนไว้สำหรับการใช้งานเพื่อการศึกษาเท่านั้น ไม่อนุญาตให้นำไปใช้ประโยชน์ด้านการค้าไม่ว่ากรณีใดๆทั้งสิ้น อีกทั้งห้ามมิให้ดัดแปลงเนื้อหา และต้องอ้างอิงถึงเจ้าของเอกสารทุกครั้งที่มีการนำไปใช้

# Switch-mode Audio Amplifier

Mr.Woottisak kannakum ID.48015183

Mr. Kukiat sunrach ID.48015153

Assoc. Prof. Dr. Manas Sangworasil Advisor

Educational Year 2007

## Abstract

This project is invented for the study of operational principle of Switch-mode audio amplifier or class-D amplifier which is a popular circuit nowadays as it is accepted as having more efficiency than the other classes. The basic principle of class-D amplifier is comparison of the input signal or audio signal with triangle carrier signal which has higher frequency than the input signal in making pulse width modulate signal (PWM). IC HIP 4080A , with built-in comparator and MOSFET gate driver is used for generating PWM signal . The output signal is connected with power amplifier part that using Full Bridge method with MOSFETs as the power device. The MOSFET will work as the on-off switch in class-D amplifier. Then output signal from Full-Bridge circuit will be taken to Low-pass filter circuit to take the carrier out and get the audio signal back to drive the speaker.

เอกสารนี้เป็นเอกสารที่สงวนไว้สำหรับการใช้งานเพื่อการศึกษาเท่านั้น ไม่อนุญาตให้นำไปใช้ประโยชน์ด้านการค้า  
ไม่ว่ากรณีใดๆทั้งสิ้น อีกทั้งห้ามมิให้ดัดแปลงเนื้อหา และต้องอ้างอิงถึงเจ้าของเอกสารทุกครั้งที่มีการนำไปใช้

## สารบัญ

	หน้า
บทคัดย่อ	I, II
บทที่ 1 บทนำ	1
บทที่ 2 การทำงานและโครงสร้างของวงจรมาย Class D	2
2.1 การทำงานของวงจรมายทั่วไป	2
2.1.1 Class A	2
2.1.2 Class B	2
2.1.3 Class AB	3
2.1.4 Class C	3
2.1.5 Class D	3
2.2 การทำงานของ Class D	3
2.3 โครงสร้างของวงจรมาย Class D	6
2.3.1 การขับขาคท	8
2.3.2 วงจรกรองความถี่	10
2.3.3 การป้อนกลับ	12
2.3.4 โครงสร้างในรูปแบบอื่นๆ	13
บทที่ 3 Power MOSFET	15
3.1 ประเภทของ MOSFET	15
3.2 คุณลักษณะของ MOSFET	16
3.3 ประโยชน์และการใช้งานของ MOSFET กำลัง	18
3.3.1 คุณลักษณะในการสวิตช์ (Switching Characteristics)	18
3.4 การเลือก MOSFET สำหรับวงจรมาย Class D	19
3.5 จุดสำคัญในการเลือก MOSFET สำหรับวงจรมาย Class-D	20
บทที่ 4 วงจรกรองความถี่ต่ำผ่าน	27
4.1 รูปแบบของวงจกรองความถี่ต่ำผ่าน	27
4.2 การตอบสนองความถี่ของวงจกรองความถี่แบบ LC	27
4.3 วงจกรองความถี่แบบ LC สำหรับวงจรมายแบบ Bridge-Tied Load	29
4.4 ตัวอย่างการออกแบบ	30

เอกสารนี้เป็นเอกสารที่สงวนไว้สำหรับการใช้งานเพื่อการศึกษาเท่านั้น ไม่อนุญาตให้นำไปใช้ประโยชน์ด้านการค้า  
ไม่ว่ากรณีใดๆทั้งสิ้น อีกทั้งห้ามมิให้ดัดแปลงเนื้อหา และต้องอ้างอิงถึงเจ้าของเอกสารทุกครั้งที่มีการนำไปใช้

<b>บทที่ 5 การออกแบบวงจร</b>	32
<b>5.1 การออกแบบวงจรขยาย Class-D</b>	32
5.1.1 ภาค INPUT	32
5.1.2 ภาคสร้างสัญญาณ PWM	33
5.1.2.1 คุณสมบัติของไอซี HIP 4080A	34
5.1.3 ภาค Triangle Wave Generator	37
5.1.4 ภาค Full-Bridge	38
5.1.5 ภาค Feedback	39
5.1.6 วงจรฟีดแบ็ค	39
5.1.7 Zobel Filter	42
<b>บทที่ 6 ผลการทดลอง</b>	43
6.1 ภาค Triangle Wave Generator	43
6.2 ภาคขยายและป้อนกลับ	44
6.3 ภาค PWM และการขับเกท	46
6.4 ภาคขยายกำลัง	48
6.5 ภาค Low-pass Filter และ เอาท์พุท	49
6.6 ประสิทธิภาพของวงจร	54
<b>บทที่ 7 สรุปและวิจารณ์</b>	59
สรุปผลการทดลอง	59
วิจารณ์ผลการทดลอง	59
<b>บรรณานุกรม</b>	60
<b>ภาคผนวก</b>	

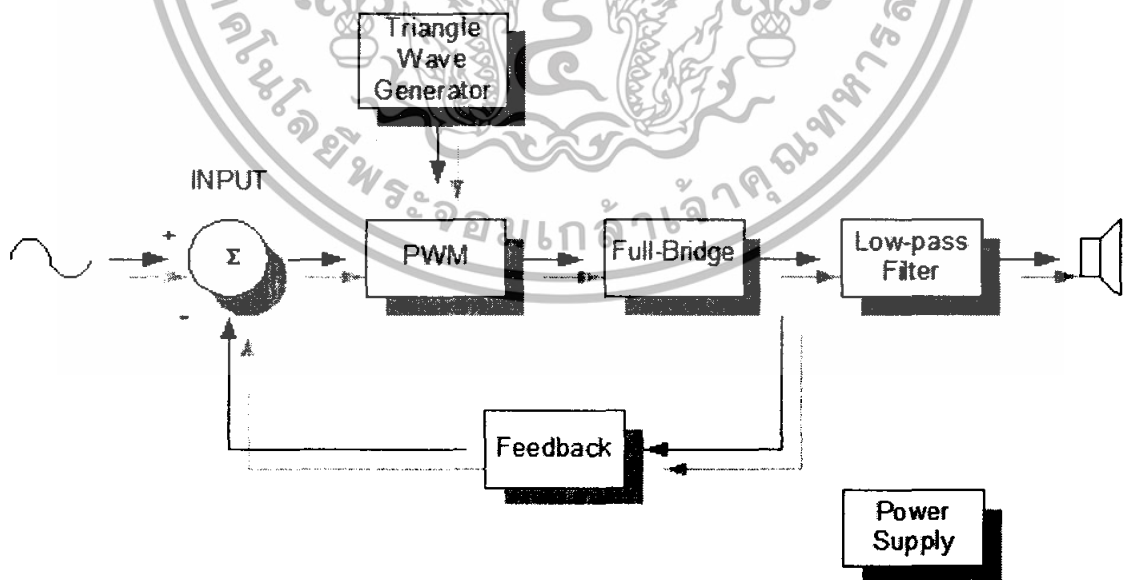
เอกสารนี้เป็นเอกสารที่สงวนไว้สำหรับการใช้งานเพื่อการศึกษาเท่านั้น ไม่อนุญาตให้นำไปใช้ประโยชน์ด้านการค้า  
ไม่ว่ากรณีใดๆทั้งสิ้น อีกทั้งห้ามมิให้ตัดแปลงเนื้อหา และต้องอ้างอิงถึงเจ้าของเอกสารทุกครั้งที่มีการนำไปใช้

# บทที่ 1

## บทนำ

วงจรรขยายแบบสวิตซิ่ง หรือวงจรรขยาย Class D เป็นวงจรรขยายที่เป็นที่สนใจและนำมาใช้อย่างแพร่หลายในปัจจุบัน ไม่ว่าจะเป็นวงจรสำหรับขยายเสียง ขั้มอเตอร์ หรือ Switching Power Supply เนื่องจากมีประสิทธิภาพการทำงานที่สูง มีการสูญเสียทางด้านกำลังงานและความร้อนน้อยกว่าเมื่อเปรียบเทียบกับวงจรรขยายกำลัง Class อื่นๆ ซึ่งโครงงานนี้ได้จัดทำขึ้นเพื่อศึกษาวงจรรขยาย Class D ทั้งในเรื่อง โครงสร้าง การทำงาน คุณภาพของสัญญาณ และประสิทธิภาพที่ได้รับ

โดยหลักการทำงานพื้นฐานของวงจรรคือจะรับสัญญาณอินพุตที่เป็นสัญญาณเสียงเข้ามาทำการเปรียบเทียบกับสัญญาณคลื่นสามเหลี่ยมความถี่สูงประมาณ 300 kHz เพื่อสร้างสัญญาณ PWM (Pulse Width Modulate) หลังจากที่ได้สร้างสัญญาณ PWM แล้วจะนำสัญญาณ PWM ที่ได้ไปขยายกำลังงานให้สูงขึ้นโดยการใช้อุปกรณ์กำลังคือ MOSFET ที่ต่อวงจรในลักษณะ Full-Bridge โดย MOSFET แต่ละตัวจะถูกไบอัสการทำงานให้อยู่ในช่วง Cut-off และ Saturate เพื่อให้ MOSFET มีลักษณะการทำงานที่เป็นสวิตซ์ ON-OFF ตามสัญญาณ PWM จากนั้นจะนำสัญญาณ PWM ที่ผ่านการขยายกำลังงานแล้วนำไปผ่านวงจร Low-pass Filter เพื่อให้ได้สัญญาณเสียงอินพุตกลับคืนมา โดยมีกำลังงานที่มากขึ้นเพื่อที่จะนำไปขับโหลดที่เป็นลำโพงต่อไป



รูปที่ 1.1 Block Diagram แสดงโครงสร้างของวงจรรขยายแบบสวิตซิ่ง

เอกสารนี้เป็นเอกสารที่สงวนไว้สำหรับการใช้งานเพื่อการศึกษาเท่านั้น ไม่อนุญาตให้นำไปใช้ประโยชน์ด้านการค้า ไม่ว่ากรณีใดๆทั้งสิ้น อีกทั้งห้ามมิให้ตัดแปลงเนื้อหา และต้องอ้างอิงถึงเจ้าของเอกสารทุกครั้งที่มีการนำไปใช้

## บทที่ 2

### การทำงานและโครงสร้างของวงจรขยาย Class D

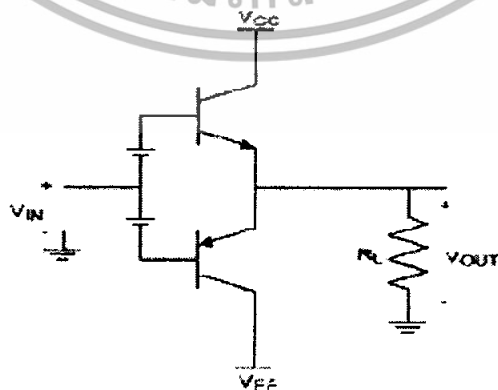
#### 2.1 การทำงานของวงจรขยายทั่วไป

วงจรขยายโดยทั่วไปจะมีหน้าที่ที่คล้ายกันก็คือการขยายสัญญาณอินพุตให้ได้สัญญาณทางเอาต์พุตที่มีกำลังงานเพิ่มขึ้น แต่สิ่งที่แตกต่างกันก็คือ โครงสร้างและรูปแบบการทำงานที่ต่างกันออกไป เป็นผลให้เกิดความแตกต่างกันในเรื่องของคุณภาพสัญญาณและประสิทธิภาพของวงจร โดยสามารถแบ่งวงจรขยายออกในรูปแบบต่างๆตามลักษณะการทำงานของอุปกรณ์ส่วนเอาต์พุตของวงจรขยายได้ดังนี้

2.1.1 Class A จุดปฏิบัติการ Q อยู่ในส่วนของย่านทำงาน (active region) ซึ่งจะทำให้มีกระแสไหลผ่านตัว transistor ตลอดเวลาไม่ว่าจะมีสัญญาณอินพุตหรือไม่ก็ตาม ทำให้ transistor นำกระแสตลอดช่วง 360 องศาของสัญญาณอินพุต

ข้อดีของ Class A คือมีความเพี้ยนต่ำกว่า Class อื่นๆเพราะมีกระแสไหลผ่านตัว transistor ตลอด 360 องศาของสัญญาณอินพุต ทำให้กระแส collector มีรูปร่างเป็น sinewave อยู่ แต่มีประสิทธิภาพสูงสุดอยู่ที่ประมาณ 50%

2.1.2 Class B จุดปฏิบัติการ Q อยู่ที่จุดคัทออฟ (cut-off) พอดี ทำให้มีกระแสไหลผ่าน transistor เฉพาะช่วงเวลาบางส่วนของซีกใดซีกหนึ่งของสัญญาณอินพุตเท่านั้น หรือ transistor จะนำกระแสในช่วง 180 องศาของสัญญาณอินพุต และขณะไม่มีสัญญาณอินพุตจะไม่มีกระแส ซึ่งทำให้มีประสิทธิภาพสูง เนื่องจากมีกระแสไหลผ่าน transistor เพียงซีกเดียวจึงต้องใช้ transistor 2 ตัว สลับกันทำงานแต่ละ 180 องศาของอินพุตเรียกการทำงานแบบนี้ว่า push-pull ประสิทธิภาพสูงสุดอยู่ที่ประมาณ 78.5 %



รูปที่ 2.1 รูปพื้นฐานวงจรขยาย Class B

เอกสารนี้เป็นเอกสารที่สงวนไว้สำหรับการใช้งานเพื่อการศึกษาเท่านั้น ไม่อนุญาตให้นำไปใช้ประโยชน์ด้านการค้า ไม่ว่าจะกรณีใดๆทั้งสิ้น อีกทั้งห้ามมิให้ดัดแปลงเนื้อหา และต้องอ้างอิงถึงเจ้าของเอกสารทุกครั้งที่มีการนำไปใช้

2.1.3 Class AB มีคุณลักษณะอยู่ระหว่าง Class A และ Class B ซึ่ง Class AB มีประสิทธิภาพไม่ต่ำเท่าวงจรรขยาย Class B แต่ดีกว่า Class A และสามารถลดความเพี้ยนครอสโอเวอร์ (Cross over Distortion) ลงได้มาก ดังนั้นวงจรรขยาย Class AB จึงให้ทั้งความเพี้ยนต่ำ และให้ประสิทธิภาพสูง

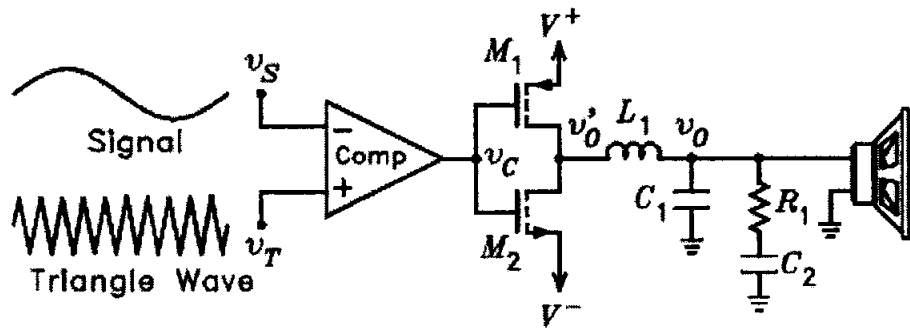
วงจรรขยายนี้จะมีการไบแอสแรงดันเพื่อให้จุดทำงานของทรานซิสเตอร์อยู่สูงกว่าจุด Cut-off เล็กน้อย จึงมีกระแสคอลเลกเตอร์ไหลในวงจรเพียงเล็กน้อยในขณะที่ไม่มีสัญญาณอินพุตเข้ามา วงจรรขยายสัญญาณ Class AB นี้นิยมใช้กันมากในการขยายเสียงแบบเครื่องขยายเสียงในภาคกำลัง โดยการต่อเป็น วงจรแบบพุชพูล (push-pull)

2.1.4 Class C จุดปฏิบัติการ Q อยู่ในส่วนย่านหยุดนำกระแส (cut-off region) ซึ่งจะทำให้กระแสไหลผ่าน transistor เฉพาะช่วงเวลาบางส่วนของซีกใดซีกหนึ่งของสัญญาณอินพุตหรือ transistor จะมีการนำกระแสในช่วงน้อยกว่า 180 องศาของสัญญาณอินพุต ในขณะที่ไม่มีสัญญาณอินพุตจะไม่มีกระแสไหลผ่านตัว transistor ใน Class นี้ จะใช้งานเฉพาะความถี่ใดความถี่หนึ่งเท่านั้น เช่น ในส่วนของ power amplifier ของเครื่องส่งวิทยุ ประสิทธิภาพขึ้นอยู่กับจุดไบแอส (bias) และความถี่ที่ต้องการใช้งาน

2.1.5 Class D transistor จะทำงานในลักษณะของสวิตช์ (switch) คือ นำกระแสอิ่มตัว (saturate) กับไม่นำกระแส (cut-off) กระแสที่ไหลผ่านตัว transistor จะมีลักษณะเป็น Square pulse ข้อดีของ Switching amplifier คือมีประสิทธิภาพในการทำงานสูงทำให้ประหยัดพลังงาน การสูญเสียที่ transistor น้อย เป็นผลให้ขนาดของแผ่นระบายความร้อนเล็กลง ขนาดของเครื่องเล็กลง เช่น เครื่องเสียงในรถยนต์, เครื่องเล่น MP3, เครื่องเล่นเพลง portable ต่างๆ เป็นต้น เพราะสิ่งเหล่านี้ต้องการรูปทรงของวงจรที่มีขนาดเล็ก และประหยัดพลังงาน ซึ่งประสิทธิภาพของวงจรรขยาย Class D นี้มีสูงสุุดมากกว่า 90 %

## 2.2 การทำงานของ Class D

Class D ตามหลักการพื้นฐานการทำงานของมันเอาท์พุทจะทำงานในลักษณะการสวิตช์ 2 สภาวะคือ ON และ OFF โดยในขณะที่ทำงานในสภาวะ ON จะมีกระแสไฟฟ้าไหลผ่านตัวอุปกรณ์ไปยังโหลดซึ่งตามหลักการจะไม่มีแรงดันปรากฏตกคร่อมระหว่างขาเดรน (Drain) และขาซอร์ส (Source) ของ MOSFET ซึ่งจะมีกำลังงานสูญเสียเป็นศูนย์ และในสภาวะ OFF MOSFET จะปฏิบัติตัวเหมือนเปิดวงจรและไม่มีกระแสไหลผ่านที่โหลด



รูปที่ 2.2 รูปพื้นฐานวงจรขยาย Class D

สัญญาณเสียงอินพุตจะถูกแปลงสัญญาณให้เป็นสัญญาณพัลส์สี่เหลี่ยมโดยใช้หลักการที่เรียกว่า Pulse Width Modulation (PWM) โดยสัญญาณคลื่นสี่เหลี่ยม PWM จะมีความถี่ที่คงที่ แต่จะมีความกว้างของเวลา ON (สถานะ HIGH) และเวลา OFF (สถานะ LOW) หรือคิดที่ไซเคิล (Duty Cycle) ที่ไม่ใช่ 50 % เสมอไป แต่มันจะปรับเปลี่ยนตามสัญญาณอินพุตที่เข้ามา เช่น เมื่อสัญญาณอินพุตเพิ่มขึ้น สถานะ HIGH จะมีช่วงเวลานานกว่าสถานะ LOW และเมื่อสัญญาณลดต่ำลงจะมีสถานะที่ตรงกันข้ามกัน ตามหลักทางคณิตศาสตร์ ค่าเฉลี่ยของสัญญาณในหนึ่งคาบเวลาหรือหนึ่งถูกคลื่นคำนวณได้โดย

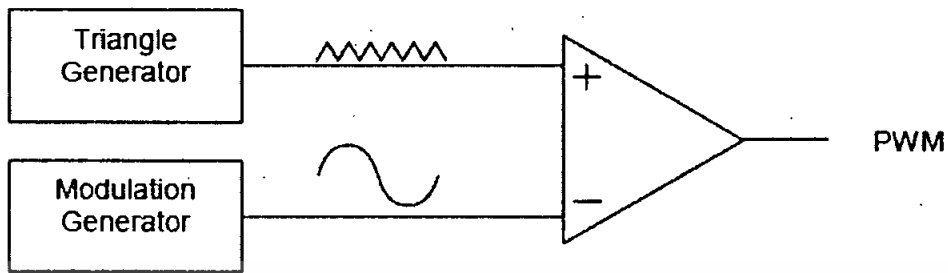
$$V_{\text{mean}} = (V_H * D) + (V_L * (1-D)) \quad (2.1)$$

; โดย D (Duty Cycle) =  $T_{\text{on}}/T$

; T คือคาบของสัญญาณคือ  $1/F_{\text{sw}}$  (ความถี่สวิตซิ่ง)

เช่นเมื่อ ค่าเฉลี่ยของสัญญาณเป็น 50 % คิดที่ไซเคิล  $V_H = +50 \text{ V}$ ,  $V_L = -50 \text{ V}$  ก็จะได้ค่าเฉลี่ยเท่ากับ  $(50 * 0.5) + (-50 * (0.5)) = 0 \text{ V}$  ถ้าเราเปลี่ยนแปลงให้มีค่าสูงสุดคือเข้าใกล้ 100% คิดที่ไซเคิลประมาณ 99%  $V_{\text{mean}} = (50 * 0.99) + (-50 * (0.01)) = 49 \text{ V}$  โดยกลับกัน ถ้าสัญญาณมีค่าคิดที่ไซเคิลต่ำสุดประมาณ 1% ก็จะได้  $V_{\text{mean}} = -49 \text{ V}$

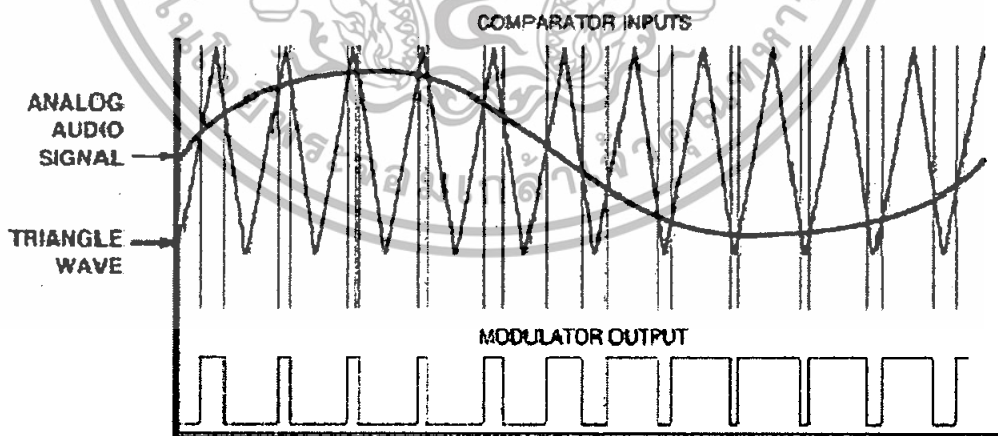
สัญญาณ PWM มักจะถูกสร้างขึ้นโดยใช้วิธีการเปรียบเทียบสัญญาณอินพุตด้วยสัญญาณคลื่นสามเหลี่ยม ซึ่งคลื่นสามเหลี่ยมจะเป็นตัวกำหนดทั้งขนาดของอินพุตและความถี่สวิตซิ่ง



รูปที่ 2.3 แสดงการสร้างสัญญาณPWM

ในรูป 2.3 ได้แสดงสัญญาณPWM ที่ได้มอดูเลทกับสัญญาณซายน์ โดยมันได้ถูกออกแบบระดับสัญญาณระหว่าง  $-V$  ถึง  $+V$  และผลิตดีวตีไซเคิลได้ตั้งแต่ 0% ถึง 100% โดยดีวตีไซเคิลที่ 50% จะตรงกับแรงดันที่สัญญาณอินพุตมีค่าอยู่ที่ 0V

ในการสร้างสัญญาณPWM นั้น ความถี่ของสัญญาณอ้างอิงในการผลิตสัญญาณสวิตช์ซึ่งต้องมีความถี่มากกว่าค่าความถี่ที่สูงที่สุดของสัญญาณอินพุต ซึ่งในทางทฤษฎีเราต้องการความถี่อย่างน้อยที่สุดเป็น 2 เท่าของอินพุต แต่สำหรับการออกแบบให้มีค่าความเพี้ยนสัญญาณเอาต์พุตที่ต่ำควรจะใช้ความถี่ที่สูงกว่านั้นประมาณ 5 ถึง 50 เท่า สัญญาณPWM ที่ได้จะนำไปขับโหลด ดังนั้นจึงต้องสร้างสัญญาณPWM ที่มีกำลังงานที่สูงโดยการสวิตช์ที่แรงดันจาก  $+V$  ถึง  $-V$  ของแหล่งจ่ายไฟ



รูป 2.4 แสดงการเปรียบเทียบสัญญาณเพื่อสร้างสัญญาณ PWM

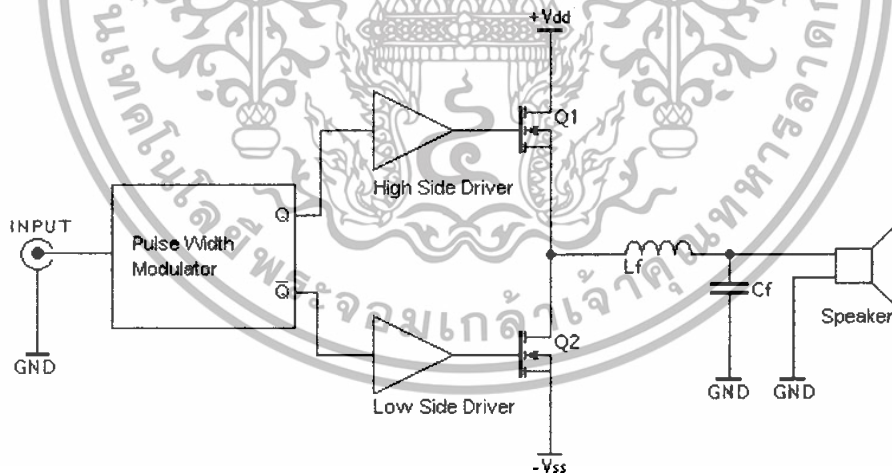
องค์ประกอบของสัญญาณPWM จะประกอบด้วยความถี่ต่ำซึ่งเป็นความถี่ของสัญญาณอินพุต แต่ก็ยังมีส่วนของสัญญาณความถี่สวิตช์ซึ่ง แต่เมื่อต้องไปขับลำโพงต้องนำสัญญาณที่ไม่ต้องการออกไปและคงเหลือไว้เพียงสัญญาณอินพุตที่เราได้ขยายกำลังแล้วเท่านั้น และการที่จะเอกสารนี้เป็นเอกสารที่สงวนไว้สำหรับการใช้งานเพื่อการศึกษาเท่านั้น ไม่อนุญาตให้นำไปใช้ประโยชน์ด้านการค้าไม่ว่ากรณีใดๆทั้งสิ้น อีกทั้งห้ามมิให้ตัดแปลงเนื้อหา และต้องอ้างอิงถึงเจ้าของเอกสารทุกครั้งที่มีการนำไปใช้

กำจัดสัญญาณความถี่สูงที่ไม่ต้องการเหล่านั้นทิ้งไปต้องใช้วงจร Low-pass Filter โดยมากจะใช้ วงจร LC Filter แบบ Passive เพราะว่าเป็นวงจรที่มีการกินกำลังงานค่อนข้างน้อยมาก แม้ว่าจะมีการสูญเสียบ้างแต่ก็น้อยมากในการใช้งาน

วงจรขยาย Class-D ไม่ได้เป็นวงจรในลักษณะที่เป็นดิจิตอล ซึ่งการทำงานของวงจรไม่ได้ สอดคล้องหรือเกี่ยวข้องกับข้อมูลดิจิตอลหรือตัวเลขไบนารี ถึงสัญญาณจะมีค่าแรงดันสูง-ต่ำ แต่จะ เกิดขึ้นจากการสวิทช์ของสัญญาณเท่านั้น ซึ่งตัวอักษร D เป็นเพียงตัวอักษรตัวหนึ่งที่ต่อจากตัว C ในภาษาอังกฤษเท่านั้น ไม่ได้มีความหมายเป็นดิจิตอลแต่อย่างใด

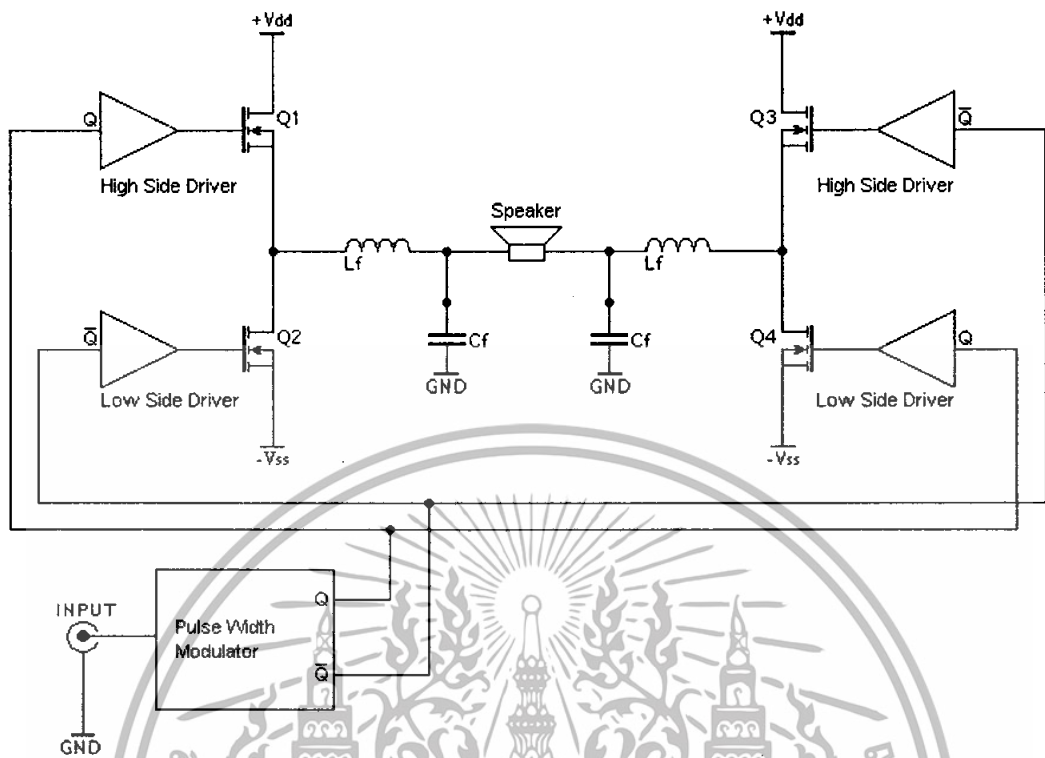
### 2.3 โครงสร้างของวงจรขยาย Class D

โดยปกติโครงสร้างของวงจรขยาย Class D จะมีการแบ่งได้อยู่สองลักษณะซึ่งพิจารณาจาก วงจรในส่วนของเอาต์พุตคือ วงจรแบบ Half-Bridge และ แบบ Full-Bridge โดยวงจรที่เป็นแบบ Half-Bridge จะใช้อุปกรณ์ในการทำงานส่วนเอาต์พุต 2 ตัว ส่วนในวงจรแบบ Full-Bridge จะใช้ อุปกรณ์ในการทำงานส่วนเอาต์พุต 4 ตัว



รูปที่ 2.5 แสดงวงจรขยายแบบ Half-Bridge

เอกสารนี้เป็นเอกสารที่สงวนไว้สำหรับการใช้งานเพื่อการศึกษาเท่านั้น ไม่อนุญาตให้นำไปใช้ประโยชน์ด้านการค้า ไม่ว่ากรณีใดๆทั้งสิ้น อีกทั้งห้ามมิให้ตัดแปลงเนื้อหา และต้องอ้างอิงถึงเจ้าของเอกสารทุกครั้งที่มีการนำไปใช้



รูปที่ 2.6 แสดงวงจรขยายแบบ Full-Bridge

ตารางที่ 2.1 แสดงการเปรียบเทียบ โครงสร้างหลักวงจรแบบ Half-Bridge และ Full-Bridge

	Half-Bridge	Full-Bridge
POWER SUPPLY	DOUBLE SUPPLY	SINGLE SUPPLY
MOSFET	2 MOSFETs / CH	4 MOSFETs / CH
GATE DRIVER	1 GATE / CH	2 GATE / CH
DC OFFSET	ADJUSTMENT IS NEEDED	CAN BE CANCELLED OUT
FEED BACK CONTROL	NEED A HELP OF FEED BACK	CAN BE DESIGNED OPEN - LOOP

วงจรแบบ Half-Bridge เป็นแบบที่ชัดเจนและมีความคล่องตัวของวงจรมาก โดยวงจรภาคเอาต์พุตจะมีรูปแบบคล้ายกับวงจรขยายแบบเก่า แต่ถ้ามันไม่ได้รับการออกแบบที่ถูกต้อง มันก็สามารถได้รับผลกระทบจากปรากฏการณ์ที่เรียกว่า Bus Pumping คือการส่งผ่านกระแสของวงจรภาคจ่ายไฟจะเพิ่มแรงดันขึ้นจนเป็นอันตรายแก่วงจรขยาย, ภาคจ่ายไฟ และลำโพง

เอกสารนี้เป็นเอกสารที่สงวนไว้สำหรับการใช้งานเพื่อการศึกษาเท่านั้น ไม่อนุญาตให้นำไปใช้ประโยชน์ด้านการค้าไม่ว่ากรณีใดๆทั้งสิ้น อีกทั้งห้ามมิให้ดัดแปลงเนื้อหา และต้องอ้างอิงถึงเจ้าของเอกสารทุกครั้งที่มีการนำไปใช้

วงจรแบบ Full-Bridge จะถูกออกแบบมาให้อุปกรณ์เอาต์พุตที่ใช้แรงดันในภาคจ่ายไฟเพียงครึ่งหนึ่งของวงจรแบบ Half-Bridge ในขณะที่ให้กำลังงานเท่ากัน แต่วงจรจะมีความสมบูรณ์มากกว่าทั้งแนวทางการออกแบบและโครงสร้าง การที่วงจรแบบ Full-Bridge ต้องการแหล่งจ่ายไฟเพียงทางเดียว (+V, GND) ถ้าโพงจะได้รับแรงดันเท่ากับแรงดันของแหล่งจ่ายไฟ และเมื่อสัญญาณจากภาคขยายแต่ละด้านมีความต่างกันทางเฟส ถ้าโพงก็จะมองไม่เห็นแรงดันที่เป็นไฟกระแสตรงเลยถ้าวงจรมีความสมดุล แต่อย่างไรก็ตามก็สามารถเกิดปัญหาได้ถ้าโพงเกิดลัดวงจรขึ้นมา

### 2.3.1 การขับขาคาท

เป็นที่แน่นอนว่าค่าเวลาในการไต่ขึ้นหรือการตกลงของ MOSFET มีความเร็วมาก ตัวขับขาคาทจึงต้องที่การจ่ายกระแสที่ค่อนข้างสูงเพื่อรองรับการชาร์จประจุ และคายประจุของตัวเก็บประจุที่ขาคาท (Gate) ของ MOSFET รวมไปถึงระยะห่างในการสวิตช์แต่ละครั้ง โดยทั่วไปค่าเวลาในการไต่ขึ้นหรือตกลงมีค่าประมาณ 20-50 นาโนวินาที และต้องการกระแสมากกว่า 1 แอมแปร์

โดยทั่วไปวงจรจะใช้ MOSFET ทั้งหมดเป็น MOSFET แบบ N-Channel แต่บางวงจรก็ใช้ P-Channel MOSFET คู่กับ N-Channel เพื่อความเหมาะสม แต่ก็เป็นการยากพอสมควรที่จะหา MOSFET แบบ P-Channel ที่เหมาะสมมาใช้คู่กันได้ ในการขับ MOSFET ตามหลักการเราจะต้องป้อนแรงดันให้ระหว่างขาคาทและขาซอร์สให้มีความมากกว่า  $V_t$  (Threshold Voltage) ซึ่ง MOSFET ตัวล่างขาซอร์สของมันจะถูกต่อกับ  $V_{ss}$  หรือ GND

อย่างไรก็ตาม MOSFET ตัวข้างบนเป็นตัวที่ยากที่จะขับ เนื่องจากขาซอร์สของมันจะมีสัญญาณที่แกว่งไปมาระหว่าง  $+V_{dd}$  กับ  $-V_{ss}$  ซึ่งตัวขับ MOSFET ตัวบนก็ต้องรับรู้ถึงการแกว่งไปมาของสัญญาณสวิตช์ด้วย ในสถานะ ON แรงดันที่ใช้ขับขาคาทต้องมีค่ามากกว่าแรงดัน  $V_{dd}$  มากพอสมควรทำให้ทราบว่าแรงดันที่ขาคาทต้องสามารถเพิ่มระดับสัญญาณได้เพื่อให้วงจรสามารถขับ MOSFET ตัวที่อยู่ข้างบนได้ถูกต้อง

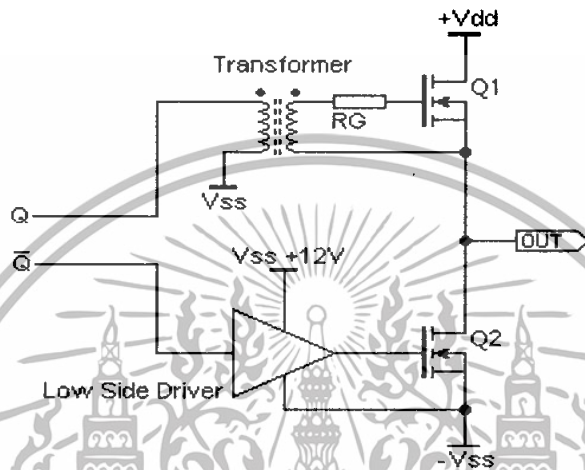
นี่เป็นส่วนหนึ่งของการออกแบบวงจรขยาย Class-D ที่ค่อนข้างยาก ซึ่งก็มีแนวทางในการออกแบบหลายแบบ

Transformer gate drive: ใช้กันมากกับวงจรแหล่งจ่ายไฟ (Power supplies) แบบ Half-Bridge ในแบบที่มีค่าควิตีไซเคิลเปลี่ยนแปลงไม่มากนัก อย่างไรก็ตามในวงจรขยายเสียง คิวตี้ไซเคิลมีช่วงระหว่าง 0% ถึง 100% ดังนั้นการใช้หลักการนี้จะสร้างปัญหาเพราะว่าสัญญาณเป็นการเชื่อมต่อกับทาง AC ซึ่งวงจรแบบ DC ไม่นิยมใช้

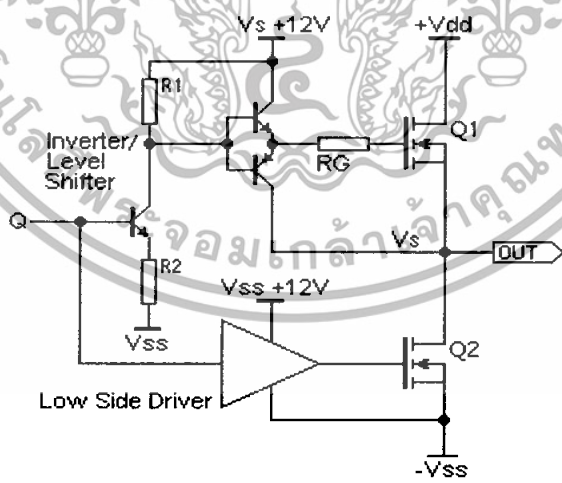
Discrete gate driving: การออกแบบบางชนิดใช้ทรานซิสเตอร์ทำงานเป็นทั้งวงจรยกระดับสัญญาณ (Level shifting) และ MOSFET drive แต่ก็มีปัญหาอยู่ที่การต้องการแรงดันที่สูงกว่า  $+V_{dd}$

เอกสารนี้เป็นเอกสารที่สงวนไว้สำหรับการใช้งานเพื่อการศึกษาเท่านั้น ไม่อนุญาตให้นำไปใช้ประโยชน์ด้านการค้าไม่ว่ากรณีใดๆทั้งสิ้น อีกทั้งห้ามมิให้ตัดแปลงเนื้อหา และต้องอ้างอิงถึงเจ้าของเอกสารทุกครั้งที่มีการนำไปใช้

Integrated drivers: มีไอซีจำนวนมากมายที่ได้ออกแบบมาเพื่อหน้าที่นี้โดยเฉพาะ ซึ่งในปัจจุบันได้มีการสร้างวงจรระดับสัญญาณเพิ่มมาให้ในตัวไอซี และยังมีความเร็วในการทำงานที่เหมาะสม แต่สิ่งที่สำคัญในการใช้งาน ค่าเวลาการทำงานของไอซีมีผลกับการเกิดความเพี้ยนของสัญญาณหรือการทำงานของ MOSFET ได้

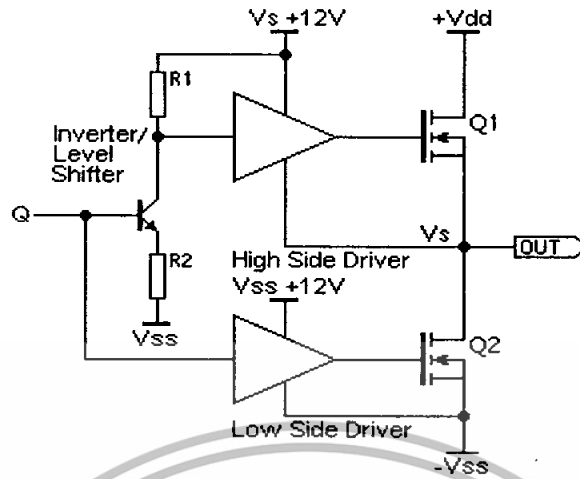


รูปที่ 2.7 วงจรขับขาคทแบบใช้หม้อแปลง



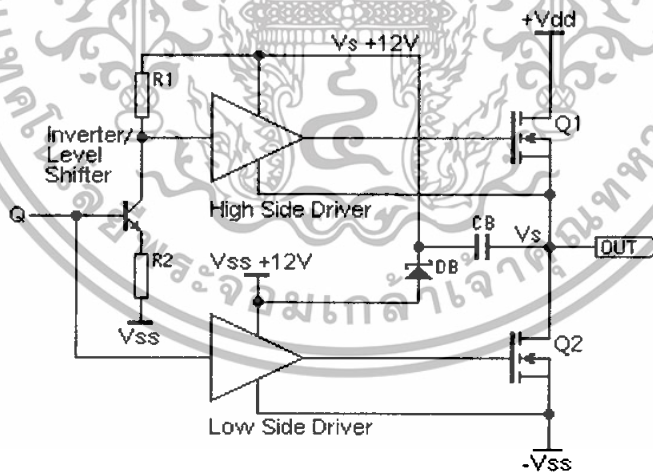
รูปที่ 2.8 วงจรขับขาคทแบบใช้ทรานซิสเตอร์

เอกสารนี้เป็นเอกสารที่สงวนไว้สำหรับการใช้งานเพื่อการศึกษาเท่านั้น ไม่อนุญาตให้นำไปใช้ประโยชน์ด้านการค้า ไม่ว่าจะกรณีใดๆทั้งสิ้น อีกทั้งห้ามมิให้ตัดแปลงเนื้อหา และต้องอ้างอิงถึงเจ้าของเอกสารทุกครั้งที่มีการนำไปใช้



รูปที่ 2.9 วงจรขับขาเกทแบบใช้ Gate driver IC

แต่ปัญหาอย่างหนึ่งในการขับขาเกทก็ยังมีอยู่ โดยที่แรงดัน 12V เหนือ Vs เราสามารถที่จะเพิ่มแหล่งจ่ายไฟซึ่งมาจากแหล่งจ่ายไฟหลักของวงจรได้ โดยการใช้เทคนิคที่เรียกว่าวงจรBootstrap ซึ่งเทคนิคนี้ จะใช้การสร้างการอัดประจุ (Charge Pump) ด้วยไดโอดความเร็วสูง และตัวเก็บประจุเอาต์พุตของวงจรขยายจะผลิตสัญญาณพัลส์ที่จำเป็นให้แก่ตัวเก็บประจุเพื่อสะสมประจุ



รูปที่ 2.10 แสดงวงจรการขับขาเกทของ MOSFET โดยใช้หลักการ Bootstrap

### 2.3.2 วงจรกรองความถี่

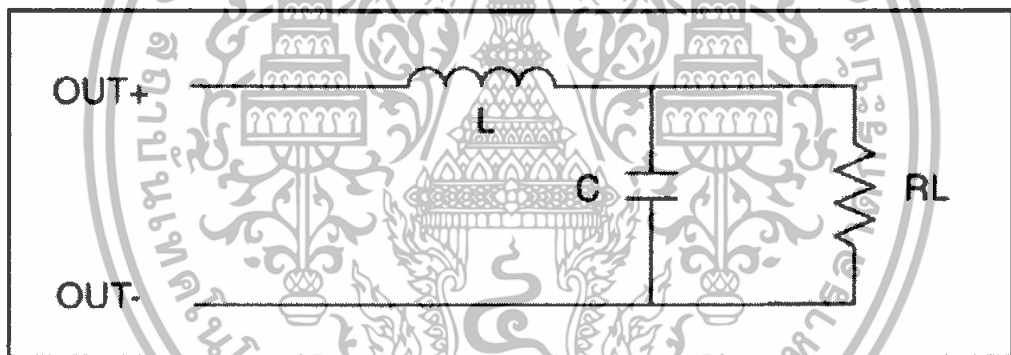
การกรองความถี่เอาต์พุตเป็นส่วนสำคัญมากอย่างหนึ่งของวงจร ไม่ว่าจะเป็นประสิทธิภาพโดยรวม ระบบเสียงก็ขึ้นอยู่กับส่วนนี้ ซึ่งวงจรจะออกแบบโดยใช้ LC Filter ตามหลักการแล้ววงจร

LC Filter จะมีการสูญเสียเล็กน้อยและมีความชันที่ความถี่ Cut-Off อยู่ที่ -40dB/decade

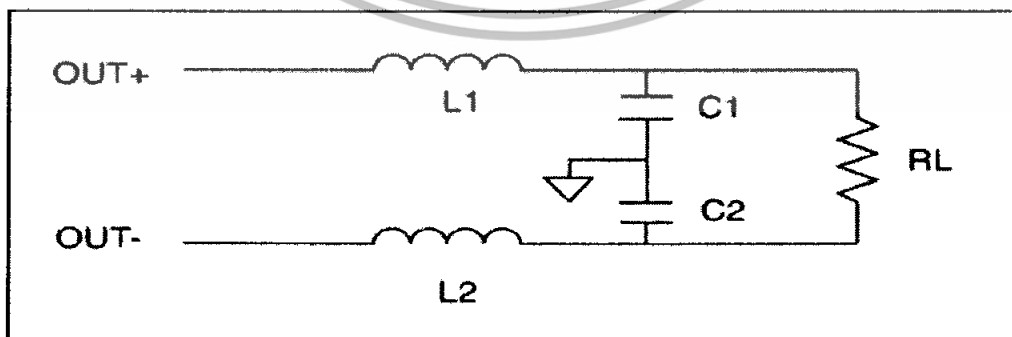
เอกสารนี้เป็นเอกสารที่สงวนไว้สำหรับการใช้งานเพื่อการศึกษาเท่านั้น ไม่อนุญาตให้นำไปใช้ประโยชน์ด้านการค้า ไม่ว่าจะกรณีใดๆทั้งสิ้น อีกทั้งห้ามมิให้ดัดแปลงเนื้อหา และต้องอ้างอิงถึงเจ้าของเอกสารทุกครั้งที่มีการนำไปใช้

สิ่งแรกที่ต้องคำนึงถึงในการออกแบบก็คือ Transfer Function สำหรับการฟิลเตอร์ โดยมากมักจะใช้แบบ Butterworth หรืออาจจะเลือกแบบที่มีการตอบสนองความถี่ที่คล้ายกันมาใช้ ด้วยความถี่คutoffที่อยู่เหนือช่วงความถี่เสียงเล็กน้อยประมาณ 30-60 กิโลเฮิร์ตซ์ อย่างไรก็ตามค่าของพารามิเตอร์ซึ่งใช้ในการออกแบบจะกำหนดสิ้นสุดอยู่ที่ค่าอิมพีแดนซ์ของโหลดโดยปกติก็จะมีค่าประมาณ 4 หรือ 8 โอห์ม แต่นั่นจะเป็นการสร้างความเปลี่ยนแปลงในการควบคุมการตอบสนองความถี่ในลำโพงที่ต่างกันออกไป กรณีนี้ต้องถูกชดเชยโดยการใช้วิธีการออกแบบวงจร Feedback Network ที่สมบูรณ์

อย่างไรก็ดี ส่วนที่น่าสนใจส่วนหนึ่งก็คือสายลำโพงซึ่งสามารถจะกลายเป็นสายอากาศและมีผลกับอุปกรณ์อื่นๆได้ อันที่จริงถึงแม้ว่าแรงดันเฉลี่ยของรีปเปิ้ล (Ripple) จะดูว่าต่ำเพียงพอที่จะทำให้ลำโพงทำงานอย่างปลอดภัย EMI (Electro Magnetic Interference) ก็ยังเป็นที่น่ากังวลเพราะระดับของพายุยังคงมีอยู่ แต่จะดีกว่าถ้าเพิ่มอันดับของการกรองความถี่ให้มากขึ้น

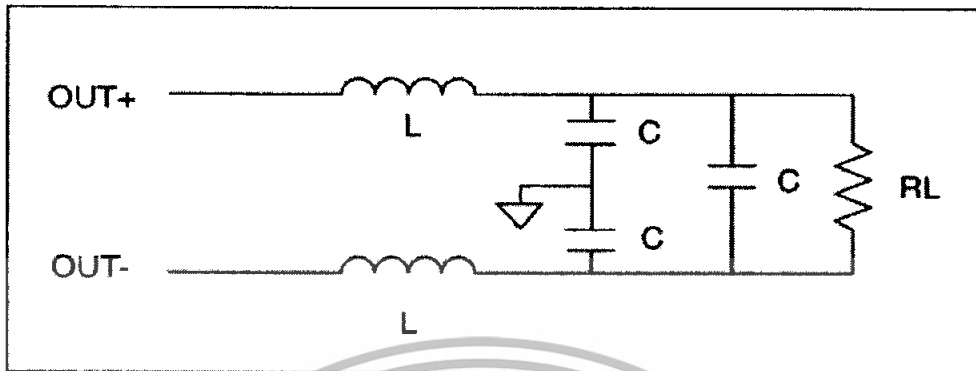


รูปที่ 2.11 วงจร Single-Ended 2-Pole LC Filter



รูปที่ 2.12 วงจร A Balanced 2-Pole Filter

เอกสารนี้เป็นเอกสารที่สงวนไว้สำหรับการใช้งานเพื่อการศึกษาเท่านั้น ไม่อนุญาตให้นำไปใช้ประโยชน์ด้านการค้าไม่ว่ากรณีใดๆทั้งสิ้น อีกทั้งห้ามมิให้ตัดแปลงเนื้อหา และต้องอ้างอิงถึงเจ้าของเอกสารทุกครั้งที่มีการนำไปใช้



รูปที่ 2.13 วงจร Different-Mode 2-Pole Filter

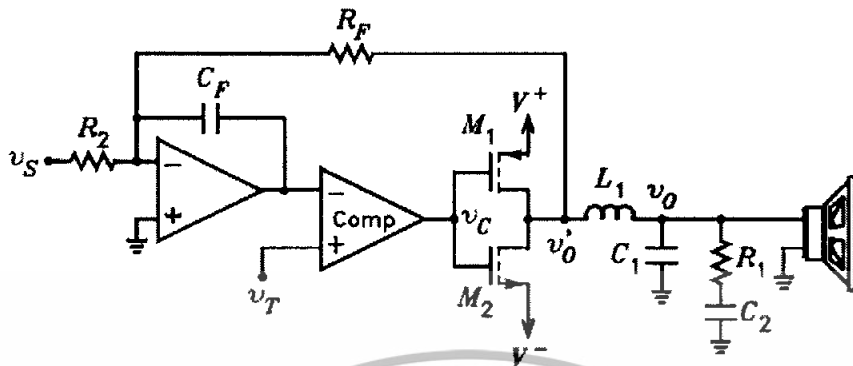
การออกแบบวงจรขยาย Class D ที่ดีจะมีอันดับการฟิลเตอร์ที่สูงเพื่อหลีกเลี่ยงปัญหาของ EMI การตอบสนองจะขึ้นอยู่กับโหลด และแท้จริงแล้วโหลดก็เป็นส่วนหนึ่งของวงจร Filter ด้วยเช่นกัน

ส่วนประกอบของวงจรกรองความถี่ ตัวเหนี่ยวนำต้องทนทานกับกระแสโหลดและรวมไปถึงตัวเก็บประจุด้วย ตัวเหนี่ยวนำในอุดมคติเป็นแกนอากาศแต่ด้วยขนาดและจำนวนรอบของมันไม่มีประสิทธิภาพดีพอเมื่อนำมาใช้งานจริง ดังนั้นแกนที่มักจะถูกเลือกนำมาใช้มักจะเป็นแกนที่ใช้จำนวนรอบที่น้อยลงและมีการจำกัดผลของสนามแม่เหล็กเพื่อที่จะลดการแผ่รังสีของ EMI ลงได้ แกน IMHO, Toroids มักจะถูกเลือกใช้งานมากกว่าเพราะว่าคุณสมบัติของทั้งสองแบบจะปิดกั้นการแผ่รังสีของสนามแม่เหล็กเพื่อควบคุมผลของ EMI อีกทั้งยังง่ายและประหยัดจำนวนรอบในการพัน

### 2.3.3 การป้อนกลับ

ตามที่ได้กล่าวมา ความผิดพลาดของเวลาในการทำงานสามารถเป็นเหตุให้เกิดเสียงรบกวนและความผิดเพี้ยนได้ สิ่งนี้ไม่สามารถละเลยได้ การออกแบบที่ดีควรจะทำให้ละเอียด

อย่างแน่นอน วงจรขยาย Class D แบบ Open-Loop ไม่ค่อยเป็นที่น่าพอใจนัก ดังนั้นวงจรเกือบทั้งหมดจะอยู่ในแบบวงจรป้อนกลับแบบลบซึ่งมีทางเลือกปฏิบัติอยู่หลายวิธี โดยส่วนมากและทั่วไปจะนำส่วนย่อยของสัญญาณสวิดซิ่ง ซึ่งทำได้จากวงจร Passive RC Low-Pass Filter แล้วป้อนสัญญาณนั้นกลับไปสู่วงจรขยายความผิดพลาด



รูปที่ 2.14 วงจรขยายที่มีการป้อนกลับแบบลบ

หลักการง่ายๆ วงจรขยายความคิดพลาดจะเป็น Op-Amp ที่อยู่ในภาคของสัญญาณ ซึ่งจะทำการรวมสัญญาณอินพุตด้วยสัญญาณป้อนกลับเพื่อสร้าง Error signal ซึ่งวงจขยายจะทำหน้าที่ในการลดทอนสัญญาณลงโดยอัตโนมัติ

### 2.3.4 โครงสร้างในรูปแบบอื่นๆ

การใช้หลักการ PWM ไม่ใช่เป็นหนทางเดียวในการสร้างวงจขยายแบบ Class D ยังมีโครงสร้างอื่นๆหลายรูปแบบที่เกิดขึ้น โดยมากมีพื้นฐานอยู่ที่ Auto-oscillation โดยที่ใช้ค่า hysteresis ในตัวคอมพาราเตอร์ และค่า ดีเลย์ ระหว่างคอมพาราเตอร์ และภาคกำลัง สามารถถูกนำมาคิดเพื่อออกแบบระบบซึ่ง oscillate โดยตัวมันเองและเราสามารถควบคุมมันได้

การออกแบบ Self oscillating ก็มีปัญหาคือยากพอสมควร เช่น ในบางวงจก็ต้องการแรงที่มากกระทำจึงจะเกิดการ oscillate ในทางกลับกันก็อาจต้องการเหตุที่ทำให้หยุดเช่นกัน และอาจลงท้ายด้วย MOSFET ทุกตัวทำงานตลอด และดังนั้นจะทำให้มีไฟฟ้ากระแสตรงจำนวนมากปรากฏที่ลำโพง จากนั้นลำโพงจะเสียหายในทันที เป็นที่แน่นอนว่าปัญหานี้สามารถแก้ไขได้โดยออกแบบวงจให้สมบูรณ์ที่สุด

เพื่อความเพี้ยนของสัญญาณเอาท์พุทที่ต่ำในวงจขยายแบบ PWM จึงต้องการสัญญาณสามเหลี่ยมที่เป็นเชิงเส้นสมบูรณ์มากที่สุด รวมไปถึงคอมพาราเตอร์ที่ทำงานเร็ว การทำงานที่ความถี่สูงต้องการภาวะที่ดีที่สุดในการทำงานทั้งหมด op-amp ที่ใช้ต้องมี Band width ที่กว้างมาก มีอัตราสุ่ว (Slew Rate) ที่สูงมากและเป็นเชิงเส้น

มีวงจรขยาย PWM ซึ่งก้าวเข้าสู่หลักการที่เป็นดิจิทัลอย่างแท้จริงโดยการใช้เทคโนโลยีที่เรียกว่า One-Bit หรือการสร้างสัญญาณ PWM โดยตรงจากข้อมูลแบบ PCM stream แม้ว่าการใช้แนวทางการสร้างแบบนี้จะให้ความละเอียดสัญญาณที่ดีกว่าแบบอื่นๆ แต่ในการสร้างภาคป้อนกลับสัญญาณในสัญญาณที่เป็นแบบดิจิทัลเป็นสิ่งที่ยากมาก และก็เป็นไปไม่ได้ที่จะไม่ใช้การประมวลผลสัญญาณดิจิทัล (Digital Signal Processing, DSP) หรือการหันไปพึ่งระบบการป้อนกลับแบบอะนาล็อก รวมไปถึงการเพิ่มเติม ADCs (Analog to Digital) และ DACs (Digital to Analog) ทำให้ส่วนนี้วงจรขยายแบบนี้ไม่ได้ดีกว่าวงจรแบบอะนาล็อกสักเท่าใดนัก



เอกสารนี้เป็นเอกสารที่สงวนไว้สำหรับการใช้งานเพื่อการศึกษาเท่านั้น ไม่อนุญาตให้นำไปใช้ประโยชน์ด้านการค้า ไม่ว่าจะกรณีใดๆทั้งสิ้น อีกทั้งห้ามมิให้ตัดแปลงเนื้อหา และต้องอ้างอิงถึงเจ้าของเอกสารทุกครั้งที่มีการนำไปใช้

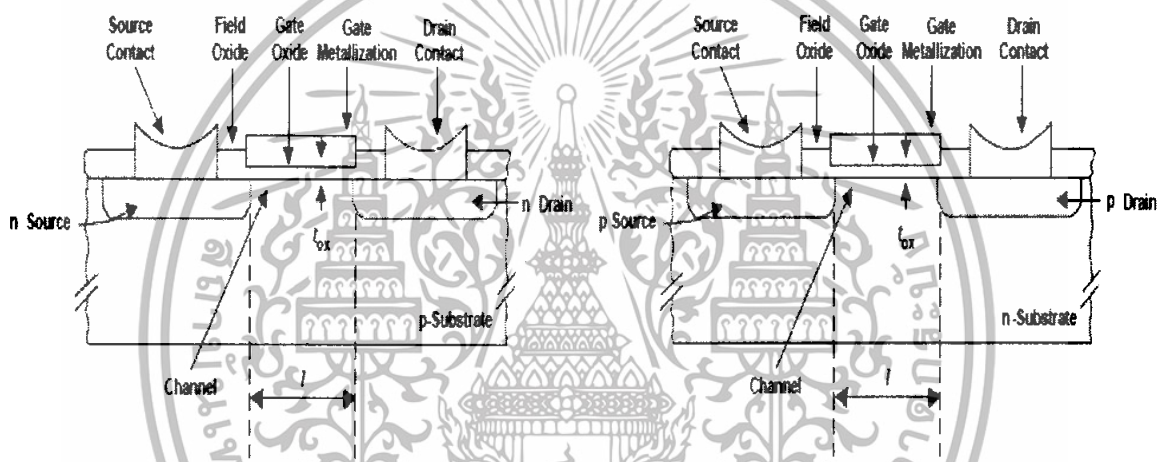
# สำนักหอสมุดกลาง พระจอมเกล้าลาดกระบัง

## บทที่ 3

### Power MOSFET

#### 3.1 ประเภทของ MOSFET

MOSFET เป็นอุปกรณ์ที่มี 3 ขั้ว คือ ขั้วซอร์ส (Source ;S), เคน (Drain ; D), และเกต (Gate ; G) แบ่งออกเป็น 2 ประเภทคือ MOSFET แบบดีพลีชัน (Depletion MOSFET) และ MOSFET แบบเอนฮานซ์เมนต์ (Enhancement MOSFET) แต่ละประเภทยังแบ่งออกเป็น 2 แบบคือ แชนแนล n (n-Channel) และแชนแนล p (p-Channel)



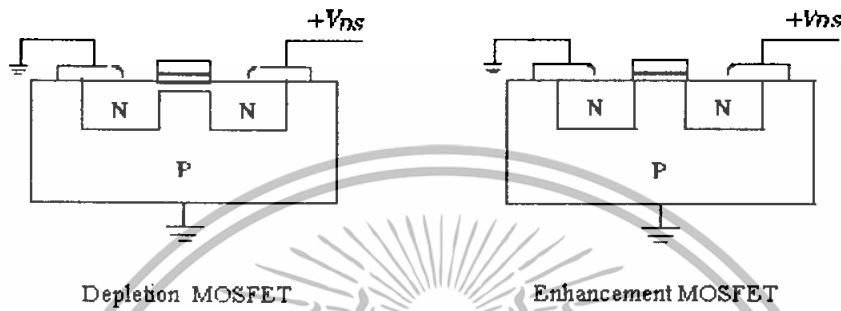
รูปที่ 3.1 MOSFET แบบ n-Channel และ p-Channel

โครงสร้างของ MOSFET ดีพลีชันแบบแชนแนล n ในรูป 3.2 ประกอบด้วยสารกึ่งตัวนำชนิด p ซึ่งสร้างจากซิลิคอนและเรียกว่าแผ่นผลึกฐาน p (p-type Substrate) โดยขั้ว D และขั้ว S ต่อกับบริเวณที่มีการกระตุ้นหรือการโด๊ปให้เป็นบริเวณสารกึ่งตัวนำ n (n-doped Region;  $n^+$ ) บริเวณสารกึ่งตัวนำ n ทั้งสองส่วนนี้ต่อกับวัสดุนอกที่เป็นโลหะ (Metal) โดยมีซิลิคอนไดออกไซด์ ( $\text{SiO}_2$ ) กั้นระหว่างแชนแนล n กับขั้ว G (ซิลิคอนไดออกไซด์เป็นฉนวนประเภทไดอิเล็กทริก)

ถ้าแรงดันเกต-ซอร์ส ( $V_{GS}$ ) มีค่าเป็นลบอิเล็กตรอนบางส่วนในแชนแนล n สร้างบริเวณปลอดพาหะ (Depletion Region) ภายใต้ออกไซด์ ทำให้แชนแนลแคบลง ความต้านทานจากขั้ว เคนไปซอร์ส ( $R_{DS}$ ) เริ่มมีค่าสูง เมื่อ  $V_{GS}$  มีค่าเป็นลบเพียงพอแชนแนลจะหายไป  $R_{DS}$  จึงมีค่าสูง และไม่มีกระแสไหลจากขั้วเคนไปซอร์สนั้นคือ  $I_{DS} = 0$  ระดับ  $V_{GS}$  นี้เรียกว่า แรงดันพินช์ออฟ (Pinch-off Voltage ;  $V_p$ )

ในทางตรงข้ามถ้า  $V_{GS}$  เป็นบวก แชนแนลจะกว้างขึ้นเป็นผลให้  $I_{DS}$  มีค่าเพิ่มขึ้น อันเนื่องมาจาก  $R_{DS}$  มีค่าลดลง

หลักการที่กล่าวมานี้ ใช้ได้กับ MOSFET ดิพลีชัน แบบ แชนแนล p โดยข้อของ  $V_{DS}$ ,  $I_{DS}$  และ  $V_{GS}$  เปลี่ยนเป็นข้อตรงข้ามกับกรณี MOSFET ดิพลีชันแบบแชนแนล n



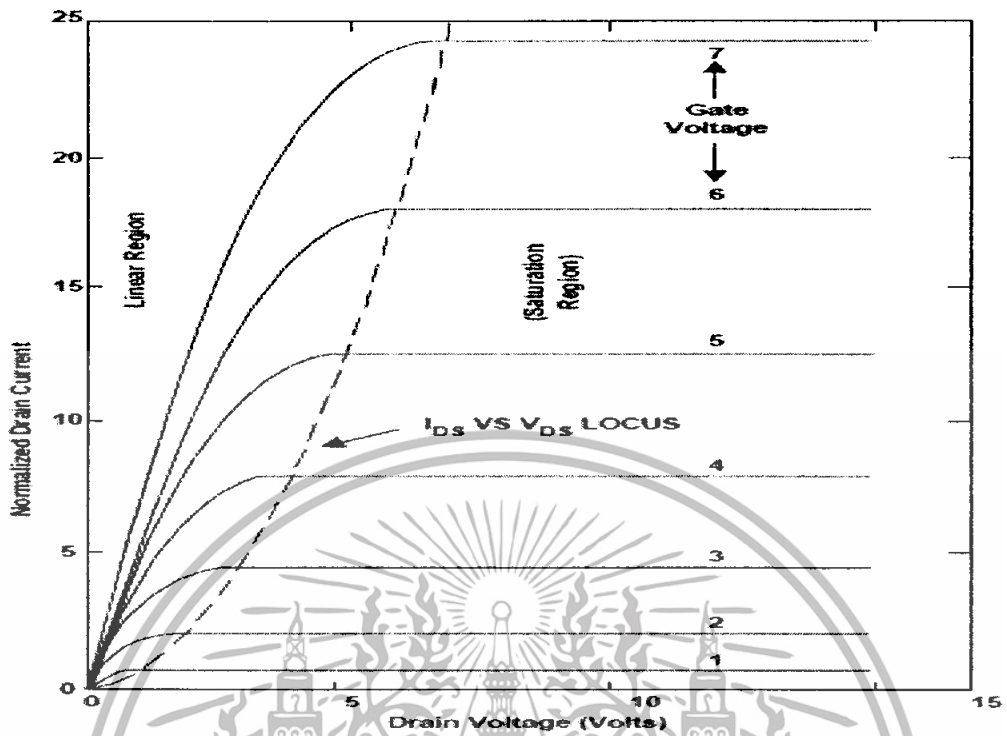
รูปที่ 3.2 แสดงโครงสร้าง MOSFET

MOSFET เอนฮานซ์เมนต์ แบบแชนแนล n นั้นไม่มีแชนแนล ดังรูป 3.2 ถ้า  $V_{GS}$  เป็นบวก แรงดันเหนี่ยวนำจะดึงคู่อิเล็กตรอนจากแผ่นผลึกฐาน p และรวบรวมไว้ที่ผิวภายในชั้นออกไซด์ ถ้า  $V_{GS}$  มากกว่า หรือเท่ากับค่าแรงดันเรตไฮลด์ (Threshold Voltage;  $V_T$ ) จึงไม่มีกระแสไหลจากเดรนไปซอร์ส ( $I_{DS}$ )

หลักการที่กล่าวมานี้ ใช้ได้กับ MOSFET แบบดิพลีชันแบบแชนแนล p โดยข้อของ  $V_{DS}$ ,  $I_{DS}$  และ  $V_{GS}$  เปลี่ยนเป็นข้อตรงข้ามกับกรณี MOSFET เอนฮานซ์เมนต์ แบบแชนแนล n

### 3.2 คุณสมบัติของ MOSFET

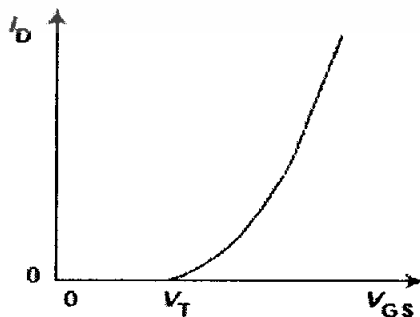
MOSFET เป็นอุปกรณ์ประเภทใช้แรงดันในการควบคุมและมีอิมพีแดนซ์อินพุตสูง ขั้วเกตจะดึงกระแสรั่วไหลต่ำมากแค่้านาโนแอมป์ และเราทราบว่าทรานส์คอนดักแตนซ์ (Transconductance ; gm) ซึ่งเป็นอัตราส่วนของ  $I_D$  ต่อแรงดันเกต ( $V_G$ ) เป็นตัวกำหนดคุณลักษณะการถ่ายโอนของ MOSFET



รูปที่ 3.3 กราฟแสดงความสัมพันธ์ของกระแสกับแรงดันของ MOSFET

คุณลักษณะในการถ่ายโอนของ MOSFET เอนฮานซ์เมนต์ แบบแซนแนล n และแบบแซนแนล p เป็นดังรูป 3.4 ส่วนรูป 3.3 แสดงคุณลักษณะเอาต์พุตของ MOSFET เอนฮานซ์เมนต์แบบแซนแนล n ซึ่งมีบริเวณการทำงาน 3 บริเวณ คือ

1. บริเวณคัทออฟ (Cutoff Region) เกิดขึ้นเมื่อ  $V_{GS} \leq V_T$
2. บริเวณพินชออฟหรือบริเวณอิ่มตัว (Pinch-off or Saturation Region) เกิดขึ้นเมื่อ  $V_{DS} \geq V_{GS} - V_T$
3. บริเวณที่เป็นเชิงเส้น (Linear Region) เกิดขึ้นเมื่อ  $V_{DS} \leq V_{GS} - V_T$



รูปที่ 3.4 แสดง MOSFET Transfer Characteristics

เอกสารนี้เป็นเอกสารที่สงวนไว้สำหรับการใช้งานเพื่อการศึกษาเท่านั้น ไม่อนุญาตให้นำไปใช้ประโยชน์ด้านการค้า ไม่ว่ากรณีใดๆทั้งสิ้น อีกทั้งห้ามมิให้ตัดแปลงเนื้อหา และต้องอ้างอิงถึงเจ้าของเอกสารทุกครั้งที่มีการนำไปใช้

ในบริเวณที่เป็นเชิงเส้น  $I_D$  จะเปลี่ยนแปลงตามสัดส่วนของ  $V_{DS}$  และเนื่องจาก  $I_D$  มีค่าสูง ขณะ  $V_D$  มีค่าต่ำ MOSFET เอนฮานซ์เมนต์ จึงใช้บริเวณที่เป็นเชิงเส้นนี้สำหรับแสดงปฏิกิริยาในการสวิตช์

สำหรับ MOSFET ดีฟิชั่น แรงดันเกต (หรือแรงดันอินพุท) อาจเป็นบวกหรือลบก็ได้แต่ มอสเฟทเอนฮานซ์เมนต์ ตอบสนองกับแรงดันบวกเพียงอย่างเดียว ตามปกติ MOSFET กำลังมักเป็นพวก MOSFET เอนฮานซ์เมนต์เท่านั้น

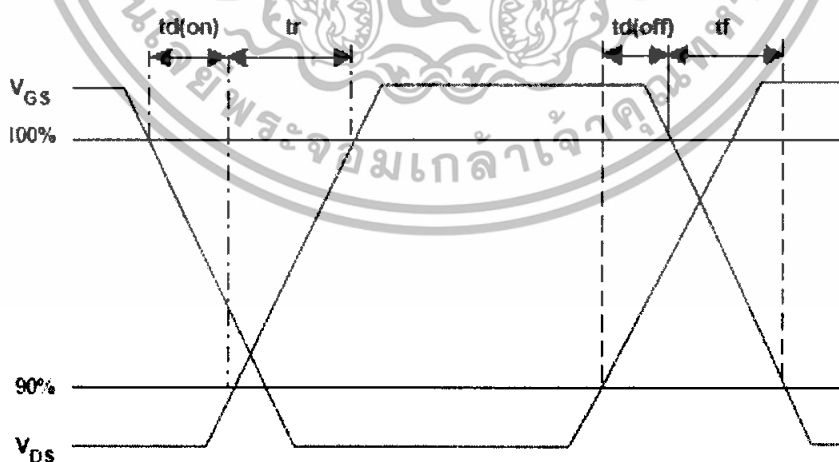
### 3.3 ประโยชน์และการใช้งานของ MOSFET กำลัง

เนื่องจาก MOSFET กำลัง มีความเร็วในการสวิตช์สูงมาก (เป็น nanosecond) จึงเหมาะกับการแปลงผันที่มีความถี่สูงและมีกำลังไฟฟ้าต่ำ

แต่อย่างไรก็ตาม MOSFET เอนฮานซ์เมนต์จะมีปัญหาในการคายประจุไฟฟ้าสถิตย์ (Electrostatic Discharge) ภายในตัวเองจึงต้องบำรุงรักษาเป็นพิเศษ นอกจากนี้การป้องกัน MOSFET ขณะเกิดฟอลต์ แบบลัดวงจร (Short circuit Fault) ยังทำได้ค่อนข้างยาก

#### 3.3.1 คุณลักษณะในการสวิตช์ (Switching Characteristics)

ผลกระทบที่เกิดจากคาปาซิเตอร์บริเวณรอยต่อของสารกึ่งตัวนำภายใน MOSFET เอนฮานซ์เมนต์ ทำให้เขียนรูปคลื่นในการสวิตช์ดังรูป

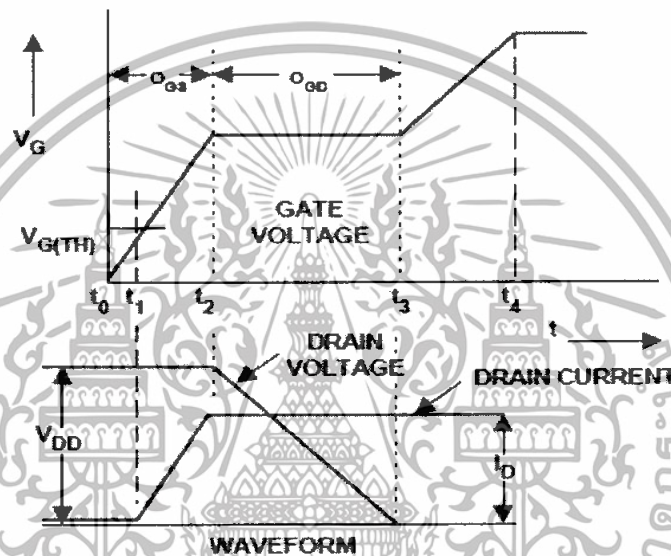


รูปที่ 3.5 แสดงรูปคลื่นการสวิตช์ของ MOSFET

เมื่อป้อนแรงดันเกตเพิ่มจากศูนย์ถึง  $V_T$  เวลาที่ใช้ในการอัดประจุคาปาซิเตอร์ (ภายในตัวของมอสเฟทเอนฮานซ์เมนต์) ให้มีค่าถึงระดับแรงดันธรสโสลต์ ( $V_T$ ) เราเรียกว่าช่วงเวลาเปิด เอกสารนี้เป็นเอกสารที่สงวนไว้สำหรับการใช้งานเพื่อการศึกษาเท่านั้น ไม่อนุญาตให้นำไปใช้ประโยชน์ด้านการค้า ไม่ว่ากรณีใดๆทั้งสิ้น อีกทั้งห้ามมิให้ตัดแปลงเนื้อหา และต้องอ้างอิงถึงเจ้าของเอกสารทุกครั้งที่มีการนำไปใช้

(Turn-on Delay Time ;  $t_{d(on)}$ ) และช่วงเวลาขาขึ้น ( $t_r$ ) เป็นเวลาอัดประจุจากระดับ  $V_T$  จนกระทั่งมีค่าถึงระดับแรงดันเกตเต็มที่ ( Full Gate Voltage ;  $V_{GSP}$  ) ซึ่งใช้ในการขับ MOSFET ไปสู่บริเวณเชิงเส้น

เวลาที่คาปาซิเตอร์ในการคายประจุจาก  $V_p$  ไปจนถึงบริเวณพินชออฟ เรียกว่าช่วงเวลาดีเลย์ในการปิด ( Turn-off Delay Time ;  $t_{d(off)}$  ) และช่วงเวลาลง ( $t_f$ ) เป็นเวลาที่คาปาซิเตอร์ใช้ในการคายประจุจากบริเวณพินชออฟจนถึง  $V_T$  ( ถ้า  $V_{GS} \leq V_T$  MOSFET จะปิด )



รูปที่ 3.6 แสดงผลของคาปาซิเตอร์แฝงใน MOSFET ที่มีต่อสัญญาณอินพุตและเอาต์พุต

### 3.4 การเลือก MOSFET สำหรับวงจรขยาย Class D

เนื่องจากวงจรขยาย Class D มีการทำงานในลักษณะสวิตช์ซึ่งตามสัญญาณ PWM ซึ่งมีความถี่ที่สูง มีวงจรขยายกำลัง และส่วนของ Low-pass Filter ซึ่งยังอาจมีประสิทธิภาพที่สูงมากกว่า 90 % โดยมี Total Harmonic Distortion (THD) ที่ต่ำกว่า 0.01% และยังมีสัญญาณ EMI ต่ำ

ส่วนหนึ่งที่สำคัญที่จะสามารถทำให้วงจรขยาย Class-D สามารถปฏิบัติงานได้คุณสมบัติที่ดีเช่นนั้นได้ส่วนหนึ่งมาจากการสวิตช์ในวงจร Bridge โดยกำลังงานสูญเสีย ค่าดีเลย์ของสัญญาณ และ Current transient spikes ควรจะถูกทำให้มีค่าต่ำสุดเท่าที่จะเป็นไปได้ เพราะฉะนั้นอุปกรณ์ที่ใช้ในการสวิตช์ควรมีคุณสมบัติที่มีแรงดันตกคร่อมที่ตัวสวิตช์น้อย มีความเร็วในการ ON-OFF สูง และมีค่าความเหนี่ยวนำแฝงที่น้อย

MOSFET มีคุณสมบัติที่เหมาะสมมากในการใช้งานเป็นอุปกรณ์สวิตช์เพราะมีความเร็วในการสวิตช์ที่ค่อนข้างเร็วกว่าอุปกรณ์อื่นๆ เช่น IGBT หรือ BJT

เอกสารนี้เป็นเอกสารที่สงวนไว้สำหรับการใช้งานเพื่อการศึกษาเท่านั้น ไม่อนุญาตให้นำไปใช้ประโยชน์ด้านการค้า ไม่ว่าจะกรณีใดๆทั้งสิ้น อีกทั้งห้ามมิให้ตัดแปลงเนื้อหา และต้องอ้างอิงถึงเจ้าของเอกสารทุกครั้งที่มีการนำไปใช้

### 3.5 จุดสำคัญในการเลือก MOSFET สำหรับวงจรขยาย Class-D

#### 1. Drain-Source Breakdown Voltage, $BV_{DSS}$

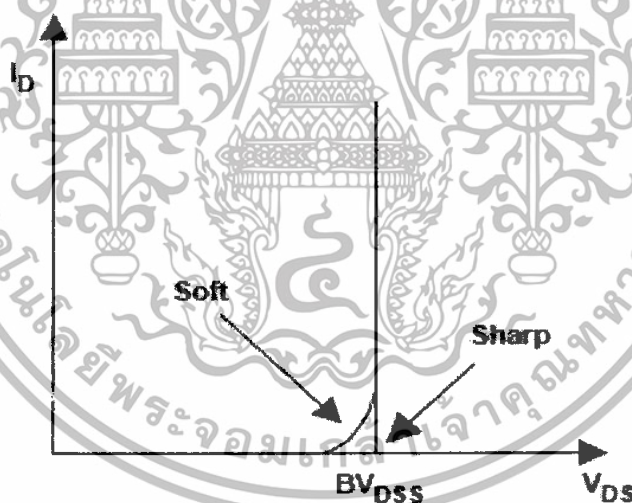
เป็นสิ่งแรกที่ต้องพิจารณาในการเลือก MOSFET โดยที่ค่า  $BV_{DSS}$  ที่น้อยที่สุดที่ต้องการขึ้นอยู่กับกำลังงานเอาต์พุต ความต้านทานโหลด โครงสร้างวงจร Bridge และค่าอื่นที่สัมพันธ์ที่จะทำให้เกิดปัญหาหรือ Safety Margin ตามสมการดังนี้

$$BV_{DSS \text{ min (Full-Bridge)}} = [\sqrt{(2 * P_{out} * R_{load})}] / M + \text{ค่าสัมพันธ์ที่จะทำให้เกิดปัญหา} \quad (3.1)$$

$$BV_{DSS \text{ min (half-Bridge)}} = 2 * [\sqrt{(2 * P_{out} * R_{load})}] / M + \text{ค่าสัมพันธ์ที่จะทำให้เกิดปัญหา} \quad (3.2)$$

ซึ่ง M เป็นค่า Modulation factor

ซึ่งโดยสรุปแล้ว ค่าอัตราแรงดันของ MOSFET ควรจะเลือกที่มีค่ามากเพียงพอที่หลีกเลี่ยงการเกิด Avalanche ขึ้นในการทำงาน



รูปที่ 3.7 แสดงคุณลักษณะ Breakdown Voltage ของ MOSFET

#### 2. Static Drain-to-Source On-Resistor, $R_{DS(on)}$

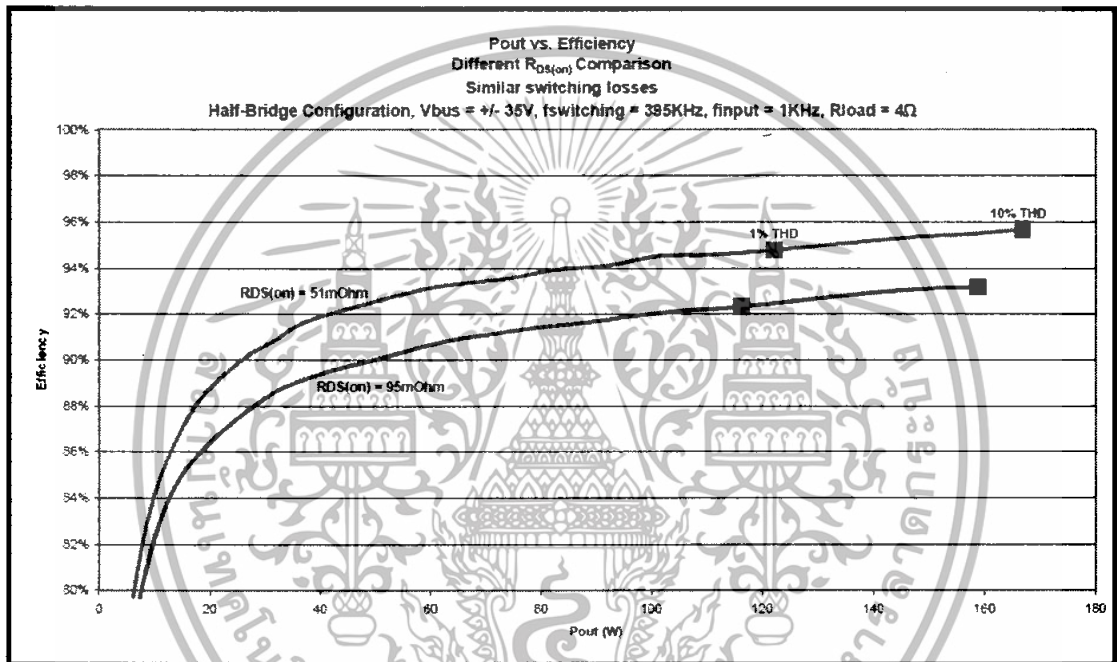
ประสิทธิภาพวงจรขยายมีส่วนสัมพันธ์กับกำลังงานสูญเสียทั้งหมดของ MOSFET กำลังงานสูญเสียนี้เกิดจากการทำงานของ MOSFET การสวิตช์และการสูญเสียจากประจุไฟฟ้าที่ขาทและมากกว่านั้น ก็เกิดจากอุณหภูมิที่รอยต่อภายใน MOSFET ( $T_j$ ) ทำให้ขนาดของแผ่นระบายความร้อน (Heatsink) ขึ้นอยู่กับการสูญเสียทางอุณหภูมิ

เอกสารนี้เป็นเอกสารที่สงวนไว้สำหรับการใช้งานเพื่อการศึกษาเท่านั้น ไม่อนุญาตให้นำไปใช้ประโยชน์ด้านการค้าไม่ว่ากรณีใดๆทั้งสิ้น อีกทั้งห้ามมิให้ดัดแปลงเนื้อหา และต้องอ้างอิงถึงเจ้าของเอกสารทุกครั้งที่มีการนำไปใช้

การสูญเสียในตัวของ MOSFET เป็นผลโดยตรงจาก  $R_{DS(on)}$  ซึ่ง  $R_{DS(on)}$  ก็คือความต้านทานจากขาเดรนถึงขาซอร์สในขณะทำงานซึ่งสามารถหาค่ากำลังงานการสูญเสียได้โดย

$$P_{losses} = (I_{D(RMS)})^2 * R_{DS(on)} \quad (3.3)$$

โดยค่า  $R_{DS(on)}$  ขึ้นอยู่กับอุณหภูมิโดยจะเพิ่มขึ้นตาม  $T_j$  มันเป็นความสำคัญยิ่งกว่าค่าของ  $T_j$  ที่มากที่สุดไม่ควรมากกว่าที่ระบุในคู่มือของ MOSFET แต่ละเบอร์ในขณะที่มันทำงาน เพราะฉะนั้นค่า  $R_{DS(on)}$  ที่น้อยก็จะลดค่ากำลังงานสูญเสียลงไปด้วยและช่วยเพิ่มประสิทธิภาพของวงจรขยับอีกด้วย



รูปที่ 3.8 กราฟประสิทธิภาพวงจรขยับที่มี  $R_{DS(on)}$  ของ MOSFET ที่ต่างกัน

### 3. Gate Charge, $Q_g$

การชาร์จประจุ  $Q_g$  ของ MOSFET จะเกิดขึ้นเมื่อช่วงเวลา Turn-on ซึ่งเป็นค่าที่สำคัญโดยตรงที่สัมพันธ์กับความเร็วของ MOSFET ค่า  $Q_g$  ที่น้อยทำให้มีความเร็วในการสวิตช์ที่มากกว่าและมีการสูญเสียที่เทคน้อยกว่า การสูญเสียในการสวิตช์ของ MOSFET สามารถหาได้โดย

$$P_{TOTAL SWITCHING} = P_{SWITCHING} + P_{GATE} \quad (3.4)$$

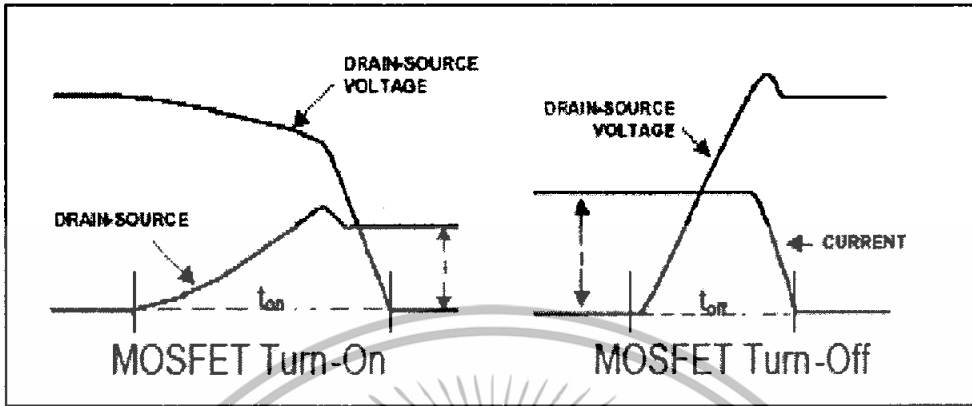
การสูญเสียในการสวิตช์เป็นผลของเวลา Turn-on และ Turn-off ของ MOSFET โดยคำนวณได้จากการคูณกันของพลังงานการสวิตช์  $E_{sw}$  กับความถี่ PWM  $f_{sw}$

$$P_{SWITCHING} = E_{sw} * f_{sw} \quad (3.5)$$

เอกสารนี้เป็นเอกสารที่สงวนไว้สำหรับการใช้งานเพื่อการศึกษาเท่านั้น ไม่อนุญาตให้นำไปใช้ประโยชน์ด้านการค้าไม่ว่ากรณีใดๆทั้งสิ้น อีกทั้งห้ามมิให้ตัดแปลงเนื้อหา และต้องอ้างอิงถึงเจ้าของเอกสารทุกครั้งที่มีการนำไปใช้

และพลังงานการสวิตช์  $E_{sw}$  หาได้โดย

$$E_{sw} = \int_0^t V_{DS}(t) * I_D(t) dt \quad ; t \text{ คือความยาวของ switching pulse} \quad (3.6)$$



รูปที่ 3.9 สัญญาณการ Turn-on และ Turn-off ของ MOSFET

ค่าการสูญเสียในการสวิตช์ที่สามารถยอมรับได้หาได้จากการใช้คุณลักษณะของวงจรรขยายและพารามิเตอร์ของ MOSFET ตามคู่มือ

$$P_{SWITCHING} = [0.5 * I_D * V_{bus} * (t_r + t_f) * f_{sw}] + [0.5 * C_{oss} * V_{bus}^2 * f_{sw}] + [K * 0.5 * Q_{rr} * V_{bus} * f_{sw}] \quad (3.7)$$

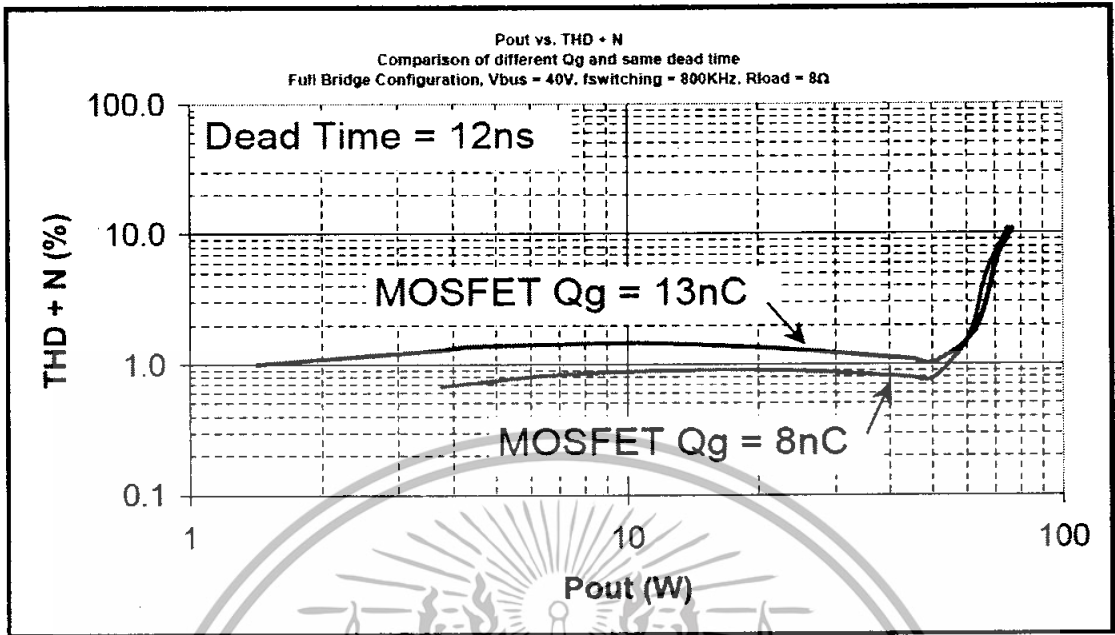
โดย  $V_{bus}$  เป็นแรงดันไฟเลี้ยงของวงจร,  $t_r$  และ  $t_f$  เป็น rise-time และ fall-time ของ MOSFET,  $C_{oss}$  คือค่าความจุทางเอาต์พุตของ MOSFET,  $Q_{rr}$  เป็นประจุพื้นที่ตัวกลับของไดโอดภายใน MOSFET และค่า  $K$  เป็นค่าตัวประกอบจาก  $T_j$ , ในส่วนของการสูญเสียที่เกกหาได้โดย

$$P_{GATE} = 2 * Q_g * V_{driver} * f_{sw} \quad ; V_{driver} \text{ คือแรงดันของตัวขับเกท} \quad (3.8)$$

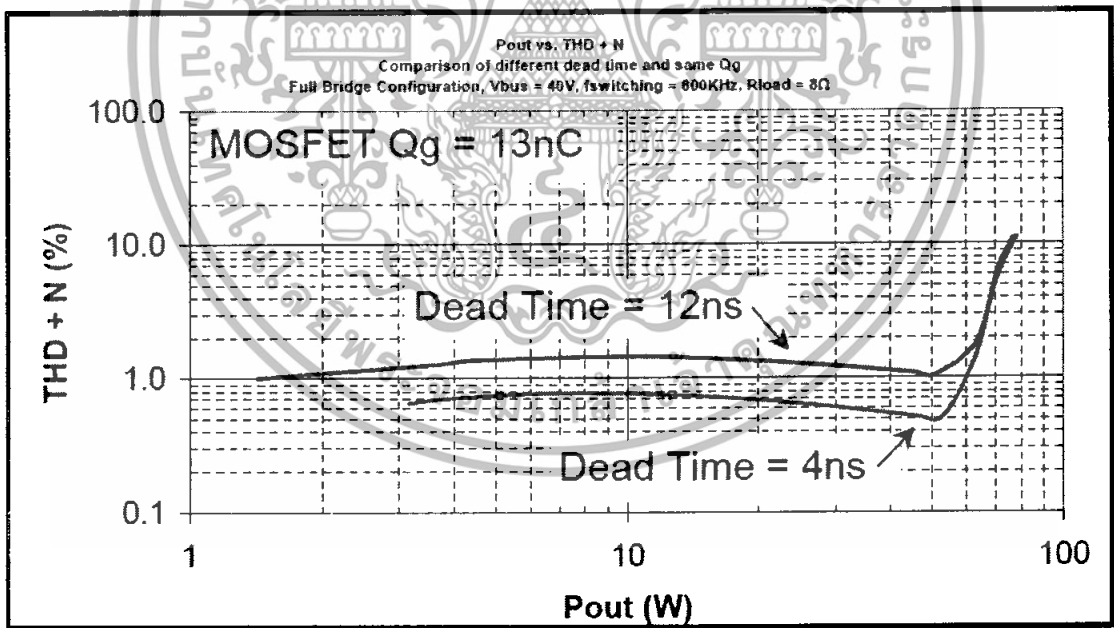
วงจรรขยายยังได้รับผลกระทบจากความผิดพลาดของเวลาการสวิตช์เช่น Turn-on และ Turn-off Delay ของ MOSFET และจากค่า  $Q_g$  ที่มาก อย่างไรก็ตามค่าเวลาของ MOSFET ไม่เป็นผลมากนักเมื่อเทียบกับ Dead time ซึ่งเราต้องเลือก MOSFET ให้เหมาะสมกับ Dead time

เพราะฉะนั้น  $Q_g$  มีความสัมพันธ์กับประสิทธิภาพและความเป็นเชิงเส้น  $Q_g$  ควรมีค่าน้อยเป็นหลักเพื่อลดการสูญเสียในการสวิตช์ให้น้อยและเพิ่มประสิทธิภาพให้มากขึ้น

เอกสารนี้เป็นเอกสารที่สงวนไว้สำหรับการใช้งานเพื่อการศึกษาเท่านั้น ไม่อนุญาตให้นำไปใช้ประโยชน์ด้านการค้าไม่ว่ากรณีใดๆทั้งสิ้น อีกทั้งห้ามมิให้ตัดแปลงเนื้อหา และต้องอ้างอิงถึงเจ้าของเอกสารทุกครั้งที่มีการนำไปใช้

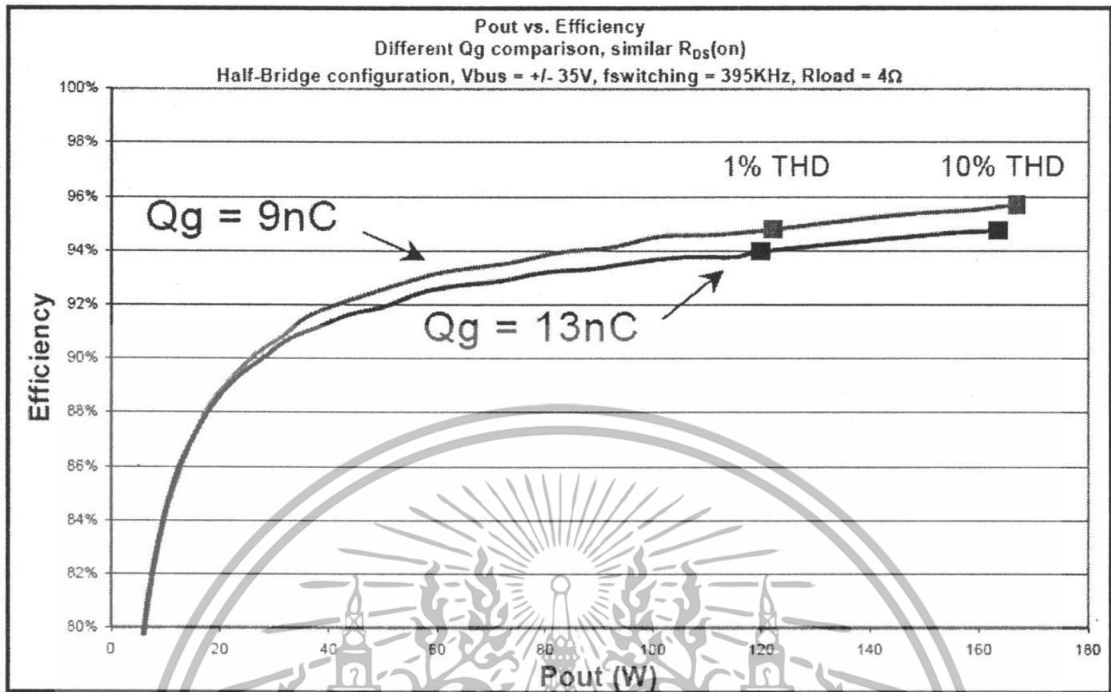


รูปที่ 3.10 กราฟแสดงค่า THD+N โดยที่ MOSFET มีค่า Qg ต่างกันแต่ Dead time เท่ากัน



รูปที่ 3.11 กราฟแสดงค่า THD+N โดยที่ MOSFET มีค่า Qg เท่ากันแต่ Dead time ต่างกัน

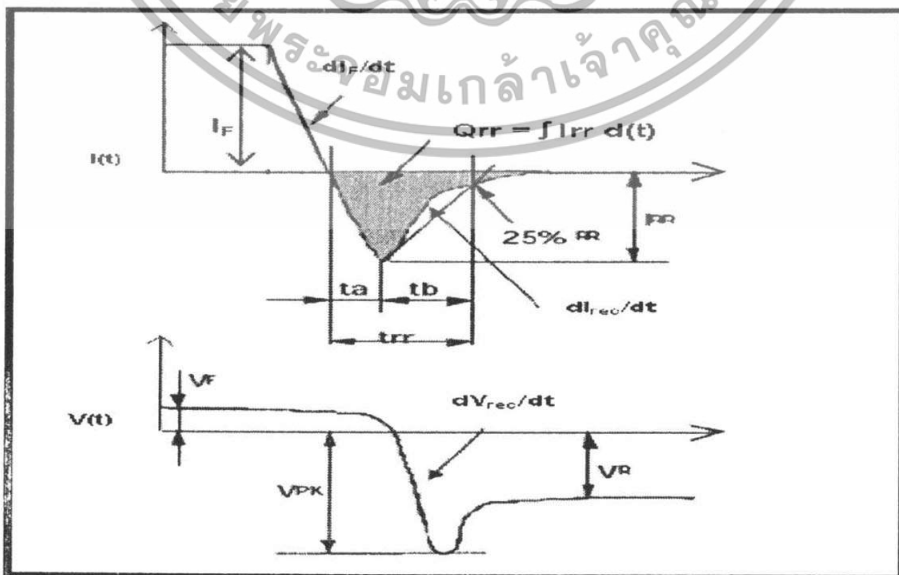
เอกสารนี้เป็นเอกสารที่สงวนไว้สำหรับการใช้งานเพื่อการศึกษาเท่านั้น ไม่อนุญาตให้นำไปใช้ประโยชน์ด้านการค้า ไม่ว่าจะกรณีใดๆทั้งสิ้น อีกทั้งห้ามมิให้ตัดแปลงเนื้อหา และต้องอ้างอิงถึงเจ้าของเอกสารทุกครั้งที่มีการนำไปใช้



รูปที่ 3.12 กราฟแสดงประสิทธิภาพวงจรรขยายซึ่ง MOSFET มีค่า  $Q_g$  ต่างกันแต่  $R_{DS(on)}$  เท่ากัน

#### 4. Body Diode Reverse Recovery Charge, $Q_{rr}$

โครงสร้างของ MOSFET ภายในจะมีไดโอดแฝงภายใน และคุณลักษณะพื้นตัวของมันก็มีผลกับการทำงานของวงจรรขยายอีกด้วย  $Q_{rr}$  ถูกกำหนดพื้นที่ภายใต้  $i_{rr}$  ในระหว่าง  $t_{rr}$  หาได้จาก  $I_F$  และ  $di_F/dt$  และมันก็ยิ่งเพิ่มขึ้นตามอุณหภูมิ



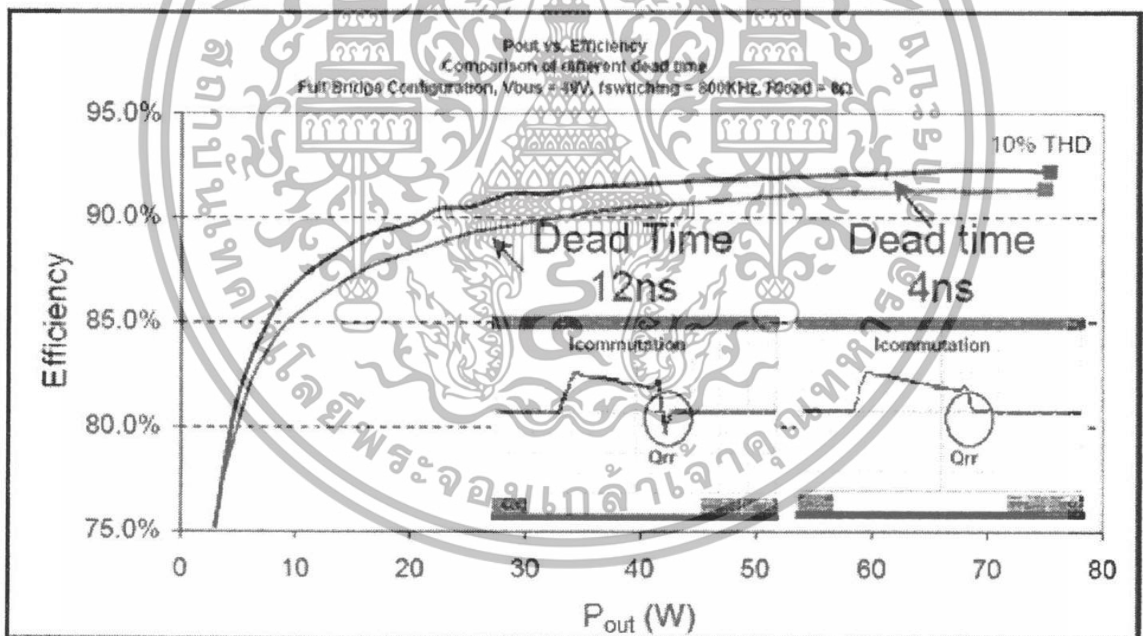
รูปที่ 3.13 แสดง Body diode reverse recovery waveforms

เอกสารนี้เป็นเอกสารที่สงวนไว้สำหรับการใช้งานเพื่อการศึกษาเท่านั้น ไม่อนุญาตให้นำไปใช้ประโยชน์ด้านการค้า ไม่ว่าจะกรณีใดๆทั้งสิ้น อีกทั้งห้ามมิให้ตัดแปลงเนื้อหา และต้องอ้างอิงถึงเจ้าของเอกสารทุกครั้งที่มีการนำไปใช้

$Q_{rr}$  มีผลกระทบต่อประสิทธิภาพของวงจรขยาย การเลือกเวลา dead time ที่ถูกต้องสามารถปรับปรุงประสิทธิภาพได้เนื่องจาก  $Q_{rr}$  จะลดลง การลด dead time ให้น้อยเป็นเหตุให้อาจเสี่ยงกับการเกิด shoot through ฉะนั้นการเลือก Dead time ที่เหมาะสมจะช่วยลด  $Q_{rr}$  และปรับปรุงประสิทธิภาพและความเป็นเชิงเส้นมากขึ้น

นอกจากนี้  $Q_{rr}$  ก็มีความสัมพันธ์กับ EMI อีกด้วย กระแสพื้นตัวกลับที่สูง  $dI_{rec}/dt$  สร้าง  $dV_{rec}/dt$  สูงและมีผลลัพท์ในกระแสความถี่สูงขนาดใหญ่และแรงดัน ringing transients ใน MOSFET เนื่องจาก ตัวเหนี่ยวนำและตัวเก็บประจุแฝงในวงจรขยาย การแผ่รังสีที่เพิ่มขึ้นและเหนี่ยวนำสัญญาณรบกวน EMI เพราะฉะนั้น การพื้นตัวที่น้อยกว่าและเบากว่าเป็นพื้นฐานที่จะหลีกเลี่ยง transients นี้ให้สร้าง EMI

ดังนั้นการพื้นตัวกลับที่นุ่มนวลและเล็กกว่าช่วยปรับปรุงประสิทธิภาพและลดผลของ EMI ได้ เนื่องจากลดการสูญเสียการสวิตช์ของ MOSFET และกระแสกับแรงดัน transient ringing

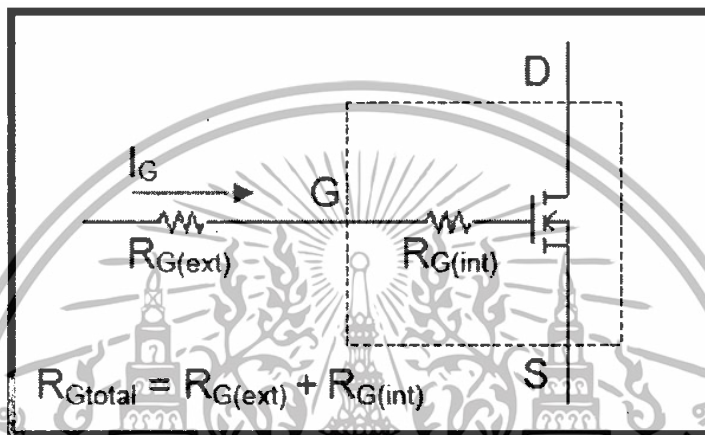


รูปที่ 3.14 แสดงประสิทธิภาพของวงจรขยายที่ Dead time ต่างกัน

เอกสารนี้เป็นเอกสารที่สงวนไว้สำหรับการใช้งานเพื่อการศึกษาเท่านั้น ไม่อนุญาตให้นำไปใช้ประโยชน์ด้านการค้า ไม่ว่าจะกรณีใดๆทั้งสิ้น อีกทั้งห้ามมิให้ดัดแปลงเนื้อหา และต้องอ้างอิงถึงเจ้าของเอกสารทุกครั้งที่มีการนำไปใช้

### 5. Internal Gate Resistance, $R_{G(int)}$

ค่าของ  $R_{G(int)}$  จะแปรผันตรงกับอุณหภูมิโดยจะเพิ่มขึ้นตามอุณหภูมิ ซึ่งค่าพารามิเตอร์นี้มีผลกับเวลาในการ ON-OFF ของ MOSFET,  $R_{G(int)}$  ที่สูงจะเพิ่มความต้านทานที่ขาเกต, ลดกระแสเกต, เพิ่มเวลาการสวิตช์ และทำให้เกิดการสูญเสียในการสวิตช์ มากกว่านั้นก็ยังมีผลกับการควบคุม dead time ถ้าค่า  $R_{G(int)}$  มีมากเกินไป เพราะฉะนั้นค่า  $R_{G(int)}$  ควรถูกนำมาพิจารณาเสมอ



รูปที่ 3.15 แสดงความต้านทานรวมที่ขาเกต

### 6. Maximum Junction Temperature, $T_j$

ค่าของ  $T_j$  นี้ไม่ได้มีผลโดยตรงกับการทำงานของวงจรขยาย แต่อย่างไรก็ดีก็ยังต้องนำมาพิจารณาเพราะว่ามันมีความหมายในการที่จะกำหนดขนาดของแผ่นระบายความร้อน MOSFET ที่มีค่าของ  $T_j$  ที่สูงจะผลให้เกิดกำลังงานสูญเสียมากกว่า และดังนั้น MOSFET ที่มี  $T_j$  ที่น้อยกว่าจะช่วยลดขนาดของแผ่นระบายความร้อนและขนาดวงจรและราคา

## บทที่ 4

### วงจรกรองความถี่ต่ำผ่าน

เป้าหมายหลักของวงจรกรองความถี่ต่ำผ่านนั่นก็คือ การลดทอนส่วนประกอบของความถี่สูงในสัญญาณสวิตชิ่งลงและรักษาสัญญาณเสียงที่เราต้องการเอาไว้ คุณลักษณะที่สำคัญของวงจรกรองความถี่ต่ำที่ดีคือจะต้องมีอัตราขยายที่คงที่ในแถบความถี่ที่ใช้งานและลดทอนลงในแถบความถี่ที่ไม่ต้องการ อันดับของวงจรกรองความถี่จะกำหนดจำนวนของ pole ซึ่งความถี่สวิตชิ่งของวงจรขยายแบบ Class-D มีผลกับการเลือกอันดับของการกรองความถี่ ในความถี่ที่สูงๆจะลดอันดับของการกรองความถี่ที่ต่ำลง ซึ่งก็ดูเหมือนว่ายิ่งใช้ความถี่ที่สูงมากๆก็ยิ่งดี แต่แท้ที่จริงแล้วถ้าเราใช้ความถี่สูงมากเกินไปผลที่ตามมาก็คือกำลังงานสูญเสียจะมีมากขึ้น มีการรบกวนจาก EMI มากขึ้นและยังลดประสิทธิภาพของวงจรลงอีกด้วย

#### 4.1 รูปแบบของวงจรกรองความถี่ต่ำผ่าน

วงจรกรองความถี่ต่ำผ่านมีการคิดค้นคุณลักษณะของวงจรออกมาหลากหลายแบบซึ่งแต่ละแบบก็มีคุณสมบัติที่แตกต่างกันออกไป

วงจรกรองความถี่แบบบัตเตอร์เวิร์ท (Butterworth Filter) มีคุณลักษณะการตอบสนองความถี่ที่เหมาะสมมาก ให้การตอบสนองความถี่ในแถบความถี่ที่ใช้งานค่อนข้างราบเรียบมีการเลื่อนเฟสสัญญาณน้อยมาก วงจรกรองความถี่แบบบัตเตอร์เวิร์ทอันดับ 4 จะมีความชันการคัทออฟสัญญาณอยู่ที่ 80 dB/decade

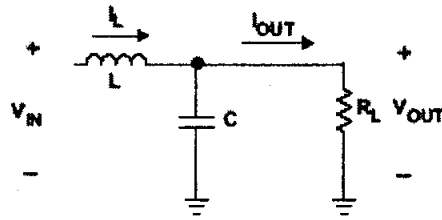
วงจรกรองความถี่แบบเชบายเชฟ (Chebychev Filter) จะมีความชันในการคัทออฟสัญญาณมากกว่าแบบบัตเตอร์เวิร์ทเล็กน้อย แต่ก็มี การเลื่อนเฟสสัญญาณที่สูงกว่าเล็กน้อยเช่นกัน

วงจรกรองความถี่แบบเบสเซล (Bessel Filter) เหมาะสมสำหรับการให้สัญญาณที่ไม่ต้องการการเลื่อนเฟสหรือการตอบสนองแบบสเต็ป (Step Respond) ที่ไม่มีโอเวอร์ชูต (Over Shoot) และการตอบสนองแบบอิมพัลส์ที่ไม่เกิดการออสซิลเลท แต่การตอบสนองความถี่ไม่ค่อยถูกเลือกใช้งานนักเมื่อเทียบกับแบบอื่นๆ เนื่องจากความชันกรองความถี่ค่อนข้างน้อยกว่าแบบอื่นๆ

#### 4.2 การตอบสนองความถี่ของวงจรกรองความถี่แบบ LC

วงจรกรองความถี่แบบ LC จะช่วยลดทอนความถี่สูงของสัญญาณสวิตชิ่งลง โดยตัวอย่างการใช้งานแสดงดังรูปที่ 4.1 ซึ่งเป็นวงจรกรองความถี่อันดับสองต่อกันในลักษณะที่เรียกว่า Single-ended operation

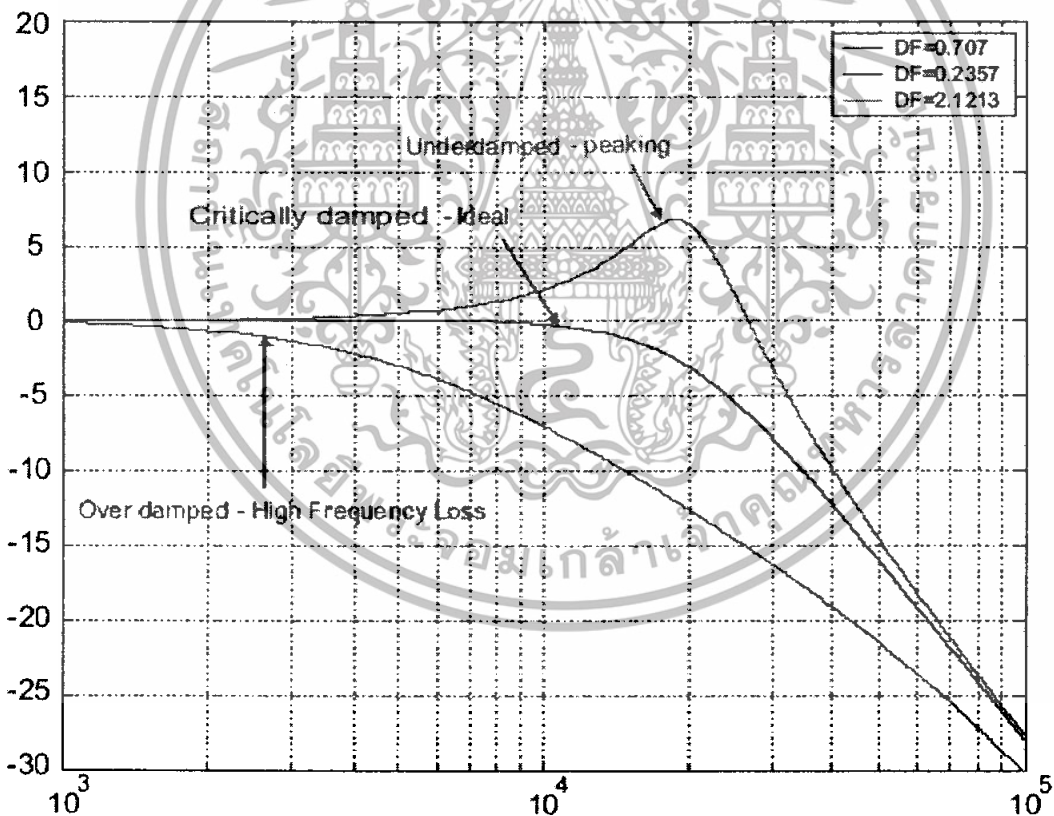
เอกสารนี้เป็นเอกสารที่สงวนไว้สำหรับการใช้งานเพื่อการศึกษาเท่านั้น ไม่อนุญาตให้นำไปใช้ประโยชน์ด้านการค้าไม่ว่ากรณีใดๆทั้งสิ้น อีกทั้งห้ามมิให้ตัดแปลงเนื้อหา และต้องอ้างอิงถึงเจ้าของเอกสารทุกครั้งที่มีการนำไปใช้



รูปที่ 4.1 วงจรกรองความถี่ต่ำผ่านแบบ LC Single-ended operation

อันดับแรกของการออกแบบคือการทำ Transfer Function ของวงจรโดยใช้หลักการของวงจรแบ่งแรงดัน โดยจากวงจรก็จะได้ Transfer Function ซึ่งจะถูกแปลงค่าของ L และ C ในรูปแบบของ S-Domain โดยการแทน  $L = sL$  และ  $C = 1/sC$  แล้วทำการหา Transfer Function จะได้

$$H(s) = V_o(s) / V_{in}(s) = (1/LC) / [s^2 + (1/RC)s + (1/LC)] \quad (4.1)$$



รูปที่ 4.2 กราฟแสดงผลของ Damping Factor บนการตอบสนองความถี่

จากรูปที่ 4.2 กราฟแสดงผลของ Damping Factor บนการตอบสนองความถี่เห็นชัดว่าเราไม่ควรที่จะเลือกการตอบสนองความถี่ในลักษณะ under damped เนื่องจากวงจรจะตอบสนอง

เอกสารนี้เป็นเอกสารที่สงวนไว้สำหรับการใช้งานเพื่อการศึกษาเท่านั้น ไม่อนุญาตให้นำไปใช้ประโยชน์ด้านการค้า ไม่ว่าจะกรณีใดๆทั้งสิ้น อีกทั้งห้ามมิให้ตัดแปลงเนื้อหา และต้องอ้างอิงถึงเจ้าของเอกสารทุกครั้งที่มีการนำไปใช้

ความถี่เสียงที่อยู่ในช่วงความถี่สูงได้ดีทำให้เสียงที่ออกมาดังแสบแก้วหูมนุษย์ และในลักษณะ over damped ก็เช่นกันจะมีการลดทอนในช่วงความถี่ที่เราใช้งานทำให้เกิดการสูญเสียขึ้น

วงจรที่เรานำมาใช้งานที่เหมาะสมจะแบบบัตเตอร์เวิร์ท อันดับ 2 เนื่องจากมีความราบเรียบที่ดีในช่วงแถบความถี่ที่ใช้งานและมีการตอบสนองทางเฟสที่ดี

จากสมการของการประมาณค่าแบบบัตเตอร์เวิร์ทในวงจรกรองความถี่ต่ำอันดับที่สองคือ

$$H(s) = 1 / [s^2 + \sqrt{2} s + 1] \quad (4.2)$$

ทำการแปลงสมการที่ 4.1 ให้เท่ากับสมการที่ 4.2 ทำการหาค่าของ L และ C จะได้

$$C = 1 / [\omega_0 \times R_L \times \sqrt{2}] \quad (4.3)$$

$$L = [R_L \times \sqrt{2}] / \omega_0 \quad (4.4)$$

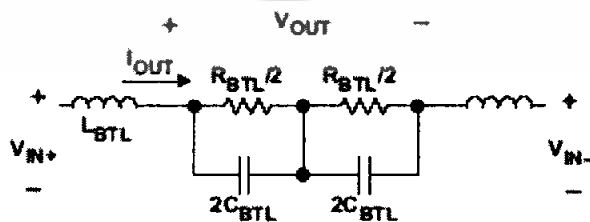
### 4.3 วงจรกรองความถี่แบบ LC สำหรับวงจรขยายแบบ Bridge-Tied Load

สำหรับวงจรขยายแบบ Bridge-Tied Load (วงจรขยายภาคเอาต์พุตที่เป็นแบบ Bridge, BTL) วงจรกรองความถี่จะถูกใช้สำหรับสัญญาณด้าน positive และ negative โดยวงจรแสดงดังรูป 4.3



รูปที่ 4.3 วงจรกรองความถี่ต่ำผ่านสำหรับวงจรแบบ Bridge

ในรูปแบบเดียวกัน วงจรจะเปรียบเสมือนมีวงจร Single-ended อยู่สองวงจрдังรูปที่ 4.4



รูปที่ 4.4 วงจรเสมือนของวงจรแบบ Bridge

เอกสารนี้เป็นเอกสารที่สงวนไว้สำหรับการใช้งานเพื่อการศึกษาเท่านั้น ไม่อนุญาตให้นำไปใช้ประโยชน์ด้านการค้า ไม่ว่าจะกรณีใดๆทั้งสิ้น อีกทั้งห้ามมิให้ตัดแปลงเนื้อหา และต้องอ้างอิงถึงเจ้าของเอกสารทุกครั้งที่มีการนำไปใช้

ดังนั้น การวิเคราะห์ทั้งหมดสำหรับวงจรแบบ Single-ended operation สามารถถูกดัดแปลงในรูปแบบ BTL ได้โดยขั้นตอนดังนี้

ขั้นแรก ใช้  $R_L = R_{BTL}/2$  คำนวณค่า C และ L ในรูปแบบวงจรแบบ Single-ended operation

ขั้นที่สอง คำนวณค่า  $C_{BTL}$  และ  $L_{BTL}$  จากสมการ

$$C_{BTL} = C/2 \tag{4.5}$$

$$L_{BTL} = L \tag{4.6}$$

เพื่อวงจรที่เหมาะสมควรจะมีการเพิ่ม C ในแต่ละข้างของ  $R_{BTL}$  กับกราวด์ เพื่อให้ bypass ความถี่สูงลงสู่กราวด์ ซึ่งค่าของตัว C นี้จะมีค่าประมาณ 10% ของ  $2 C_{BTL}$  และเรียกว่า  $C_g$  ซึ่งแสดงดังรูปที่ 4.5



รูปที่ 4.5 วงจรกรองความถี่ต่ำผ่านสำหรับวงจรแบบ BTL

การเลือกส่วนประกอบของวงจรกรองความถี่และความถี่คัทออฟจะควบคุมโดยการใช้วงจร RC Zobel network ต่อขนานกับ โหลด ซึ่งก็ขึ้นอยู่กับค่า Q ของวงจรซึ่งอาจจะเปลี่ยนแปลงได้เมื่อลำโพงที่มีค่ารีแอกติฟสูงถูกต่อเป็นโหลด

#### 4.4 ตัวอย่างการออกแบบ

ในการออกแบบวงจรกรองความถี่เราต้องกำหนดช่วงความถี่ที่เราต้องการก่อน ซึ่งความถี่เสียงนั้นมีแถบความถี่ในช่วง 20 ถึง 20 KHz และ ความถี่สวิตช์อยู่ที่ 250 KHz คัทออฟอยู่ที่ 40 dB มุมในการคัทออฟถูกตั้งให้หลีกเลี่ยงการลดทอนในช่วงความถี่เสียงโดยกำหนดความถี่คัทออฟอยู่ที่ 25 KHz กำหนดค่าความต้านทานของลำโพงที่ 4 โอห์ม ใช้วงจรแบบ LC อันดับ 2 จากนั้น

คำนวณหาค่าของอุปกรณ์ที่ใช้

เอกสารนี้เป็นเอกสารที่สงวนไว้สำหรับการใช้งานเพื่อการศึกษาเท่านั้น ไม่อนุญาตให้นำไปใช้ประโยชน์ด้านการค้า ไม่ว่าจะกรณีใดๆทั้งสิ้น อีกทั้งห้ามมิให้ดัดแปลงเนื้อหา และต้องอ้างอิงถึงเจ้าของเอกสารทุกครั้งที่มีการนำไปใช้

$$C = 1 / [2 \times \pi \times \sqrt{2} \times R_L \times f_c] = 1 / [2 \times \pi \times \sqrt{2} \times 4 \times 25 \text{ kHz}] = 1.1 \text{ uF}$$

$$L = [\sqrt{2} \times R_L] / [4 \times \pi \times f_c] = [\sqrt{2} \times 4] / [4 \times \pi \times 25 \text{ kHz}] = 18 \text{ uH}$$

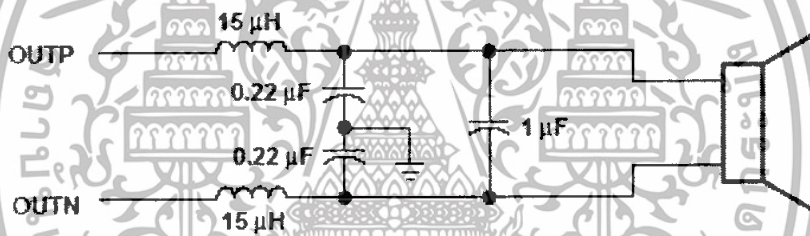
ค่าของ  $C_g$  จะประมาณเท่ากับ 10% ของ  $2 \times C$  ประมาณเท่ากับ 0.2 uF จากนั้นหาค่าอุปกรณ์ที่มีอยู่จริงตามท้องตลาดที่สามารถยอมรับค่าได้ก็จะได้อุปกรณ์คือ

$$C = 1 \text{ uF}$$

$$L = 15 \text{ uH}$$

$$C_g = 0.22 \text{ uF}$$

ก็จะวงจรกรองความถี่ต่ำสำหรับวงจรขยายที่มีเอาต์พุตแบบ BTL ซึ่งจากค่าอุปกรณ์ที่ใช้วงจรก็จะมีค่าที่ทอพออยู่ประมาณ 29 KHz โดยจะได้วงจรดังรูปที่ 4.6



รูปที่ 4.6 วงจรกรองความถี่ต่ำที่ออกแบบ

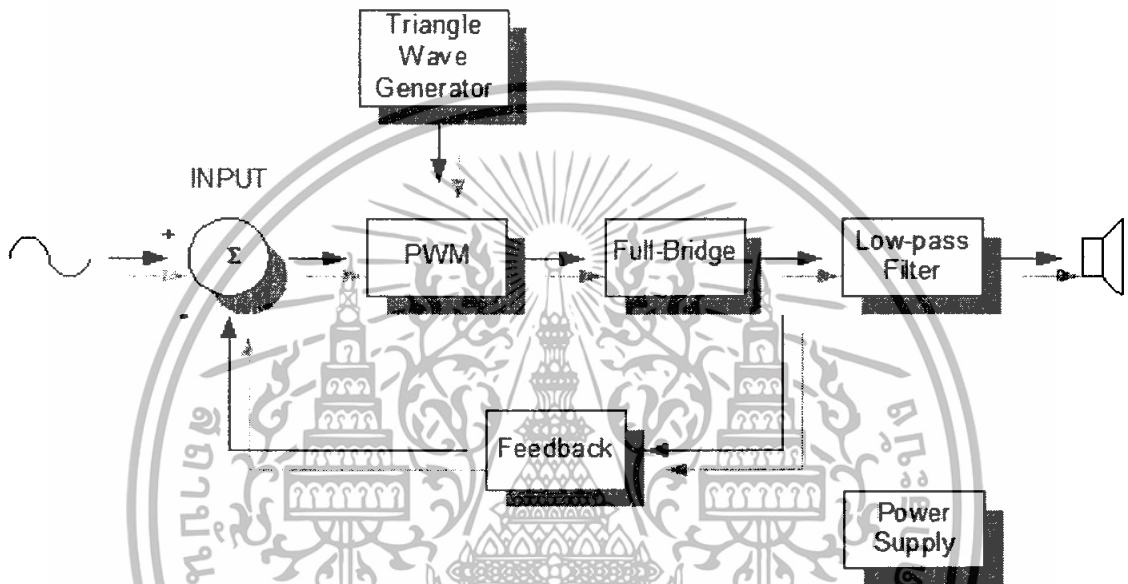
เอกสารนี้เป็นเอกสารที่สงวนไว้สำหรับการใช้งานเพื่อการศึกษาเท่านั้น ไม่อนุญาตให้นำไปใช้ประโยชน์ด้านการค้า ไม่ว่าจะกรณีใดๆทั้งสิ้น อีกทั้งห้ามมิให้ตัดแปลงเนื้อหา และต้องอ้างอิงถึงเจ้าของเอกสารทุกครั้งที่มีการนำไปใช้

## บทที่ 5

### การออกแบบวงจร

#### 5.1 การออกแบบวงจรขยาย Class-D

วงจรขยายแบบสวิตช์ซึ่งจะมีภาคการทำงานตาม Block diagram ดังรูปที่ 5.1



รูปที่ 5.1 Block Diagram ของวงจรขยาย Class-D แบบ Full-Bridge

##### 5.1.1 ภาค INPUT

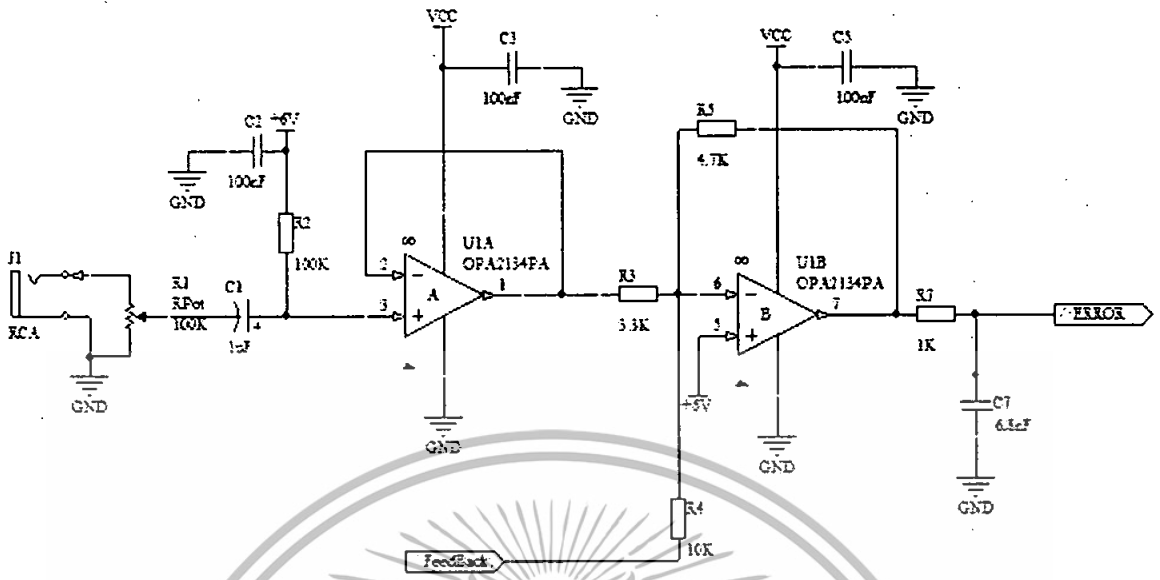
ภาค INPUT นี้จะทำหน้าที่ปรับขนาดสัญญาณอินพุตจากสัญญาณภายนอกโดยผ่าน VR1 และจะทำการปรับระดับสัญญาณให้มีระดับเท่ากับ  $V_{CC}/2$  โดยใช้วงจร Op-Amp ที่ต่อวงจรแบบ วงจร Buffer จากนั้นสัญญาณก็จะทำการรวมสัญญาณกับสัญญาณจากภาค Feedback เพื่อให้ สัญญาณมีการหักล้างกันเพื่อป้องกันการ Oscillate และทำการขยายไปพร้อมๆกันโดยใช้ Op-Amp ชุดที่ 2 จากนั้นก็จะได้สัญญาณ Error ที่มีการรวมสัญญาณระหว่างอินพุต และ Feedback ซึ่งอัตราการขยายสามารถคำนวณได้โดย

$$\text{อัตราการขยายวงจร Inverting Amp} = -R_f/R_{in} \quad (5.1)$$

$$\text{สัญญาณ Output ของวงจร Inverting Amp} = V_{in} [-R_f/R_{in}] \quad (5.2)$$

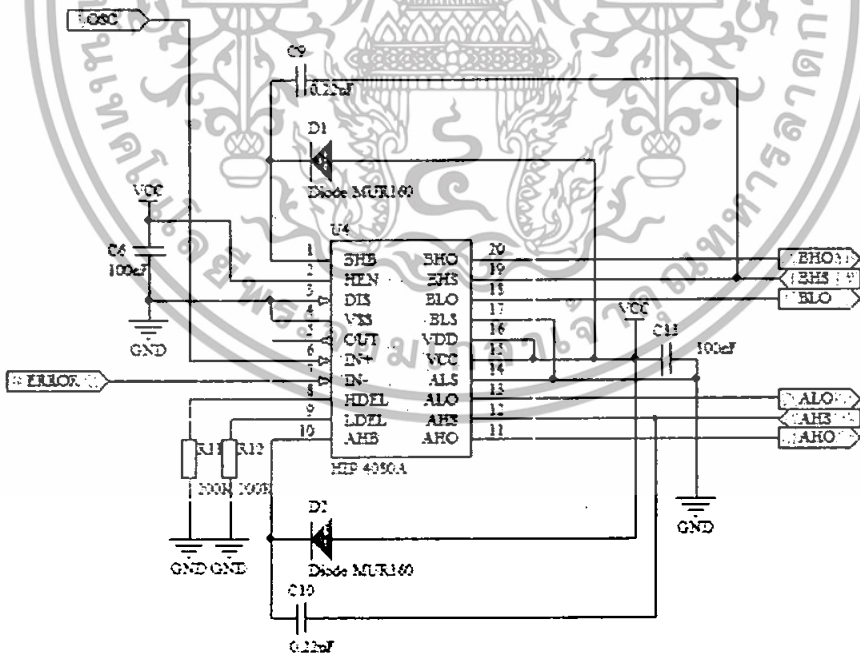
$$\text{จะได้ขนาดสัญญาณ} = [-R_f/R_{in1}] V_{in} + [-R_f/R_{in2}] V_{feedback} \quad (5.3)$$

เอกสารนี้เป็นเอกสารที่สงวนไว้สำหรับการใช้งานเพื่อการศึกษาเท่านั้น ไม่อนุญาตให้นำไปใช้ประโยชน์ด้านการค้า ไม่ว่ากรณีใดๆทั้งสิ้น อีกทั้งห้ามมิให้ตัดแปลงเนื้อหา และต้องอ้างอิงถึงเจ้าของเอกสารทุกครั้งที่มีการนำไปใช้



รูปที่ 5.2 วงจรในภาค INPUT

5.1.2 ภาคสร้างสัญญาณ PWM



รูปที่ 5.3 วงจรสร้างสัญญาณ PWM และ Gate Driver

เอกสารนี้เป็นเอกสารที่สงวนไว้สำหรับการใช้งานเพื่อการศึกษาเท่านั้น ไม่อนุญาตให้นำไปใช้ประโยชน์ด้านการค้า ไม่ว่าจะกรณีใดๆทั้งสิ้น อีกทั้งห้ามมิให้ดัดแปลงเนื้อหา และต้องอ้างอิงถึงเจ้าของเอกสารทุกครั้งที่มีการนำไปใช้

วงจรในส่วนนี้จะทำการสร้างสัญญาณ PWM โดยใช้ไอซี HIP 4080A

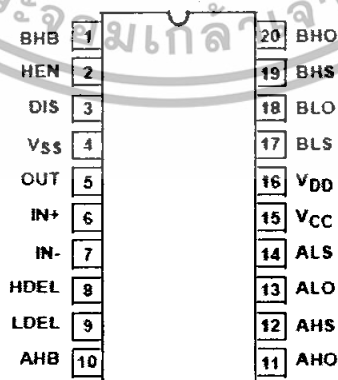
### 5.1.2.1 คุณสมบัติของไอซี HIP 4080A

-ช่วงของ Supply Voltage, VDD และ VCC สูงสุด	-0.3V ถึง 16V
-Logic I/O Voltages	-0.3V ถึง VDD +0.3V
-Phase Slew Rate	20V/ns
-แรงดันใช้งาน	+9.5V ถึง +15V
-แรงดันที่ขา ALS, BLS	-1.0V ถึง +1.0V
-แรงดันที่ขา AHB, BHB	$V_{AHS,BHS} +5V$ ถึง $V_{AHS,BHS} +15V$
-กระแสอินพุทที่ขา HDEL, LDEL	-500uA ถึง -50uA
-ช่วงอุณหภูมิที่ใช้งาน	-40 °C ถึง +85°C

ไอซี HIP 4080A เป็นไอซีความถี่สูงสำหรับขับวงจรมอสเฟต N-Channel แบบ Full-Bridge ซึ่งภายในประกอบด้วย คอมพาราเตอร์ และวิธีการของ PWM มันสามารถสวิตช์ความถี่ได้ถึง 1MHz ดังนั้นไอซี HIP 4080A จึงเหมาะกับการขับ Voice Coil Motors, สวิตซ์เชิงแอมป์ ในวงจรคลาสดีที่ใช้ความถี่สูงในการสวิตซ์ของการขยายเสียง และ เพาเวอร์ซัพพลาย

HIP 4080A สามารถขับ brush motors แรงดันปานกลาง ส่วน HIP 4080A สองตัวยังสามารถขับ Stepper motors ที่ความสามารถในการทำงานสูงได้ เพราะค่า on – time มีค่าต่ำ เหมาะสำหรับความสามารถในระดับ Micro-stepping

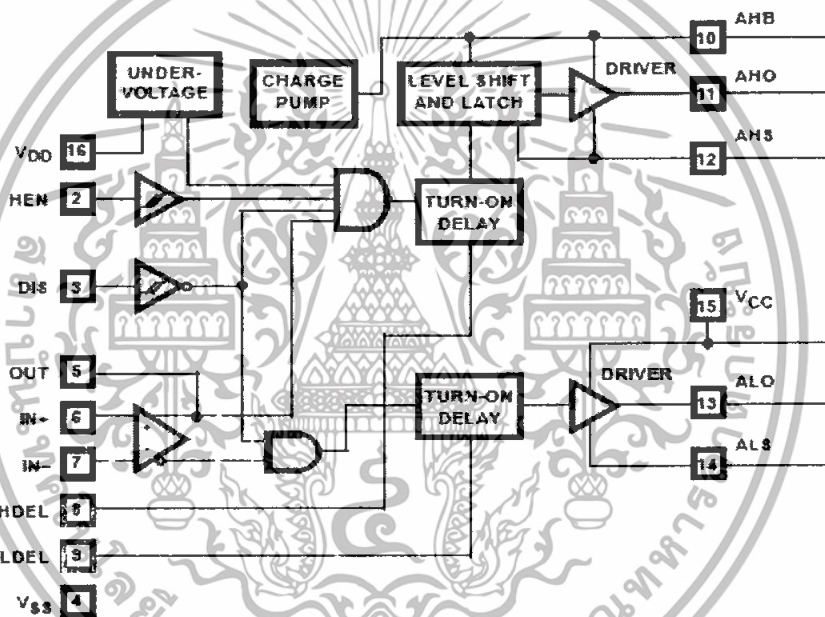
ค่า propagation delay อยู่ที่ประมาณ 55ns ส่วนค่า dead – time จะถูกปรับให้มีค่าเข้าใกล้ศูนย์เพื่อความผิดเพี้ยนต่ำที่สุด , ผลลัพธ์ของการขับ โหลดมีค่าแม่นยำ



รูป 5.4 จำลองด้านบนไอซี IC HIP 4080A

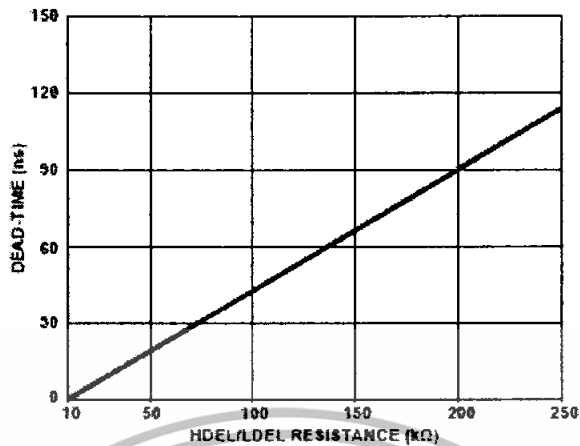
เอกสารนี้เป็นเอกสารที่สงวนไว้สำหรับการใช้งานเพื่อการศึกษาเท่านั้น ไม่อนุญาตให้นำไปใช้ประโยชน์ด้านการค้า ไม่ว่าจะกรณีใดๆทั้งสิ้น อีกทั้งห้ามมิให้ดัดแปลงเนื้อหา และต้องอ้างอิงถึงเจ้าของเอกสารทุกครั้งที่มีการนำไปใช้

โดยไอซีนี้จะรับสัญญาณ Error จากภาค INPUT มาทำการเปรียบเทียบกับสัญญาณสามเหลี่ยมจากภาค Triangle Wave Generator ซึ่งจะทำให้ได้สัญญาณที่มีการเปลี่ยนแปลงความกว้างของพัลส์ตามความขนาดและความถี่ของสัญญาณ input โดยจากรูปฟังก์ชันภายในของไอซี HIP 4080A เปรียบเทียบกับวงจรจะเห็นว่า IN+ และ IN- เป็นขาอินพุทของคอมพาราเตอร์ภายใน จะทำการเปรียบเทียบสัญญาณอินพุทเพื่อสร้างสัญญาณ PWM และส่งสัญญาณ PWM ที่ได้ไปยัง ส่วนของ MOSFET Gate Driver ภายในไอซี โดยจะผ่านส่วนที่เรียกว่า Turn-On Delay เพื่อ กำหนดค่า Delay Time ในการ ON-OFF ของ MOSFET ตัวบนและตัวล่างเพื่อป้องกันการเกิดเหตุการณ์ Shoot-Through



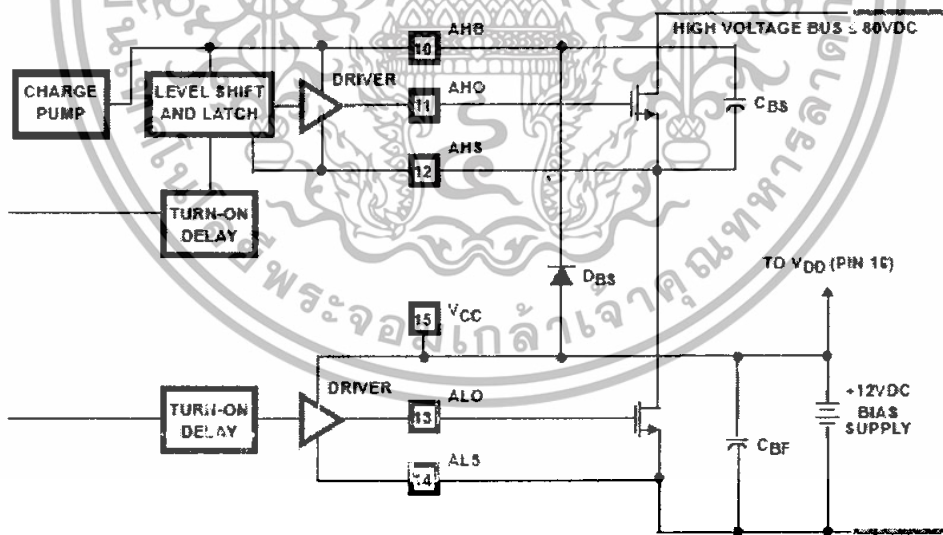
รูปที่ 5.5 ฟังก์ชันภายในไอซี HIP 4080A

ค่า Delay-Time หรือ DEAD-TIME สามารถกำหนดได้โดยการใส่ตัวต้านทานภายนอกที่ขา 8 และขา 9 ของไอซีโดยดูจากรูปที่ 5.3 โดยในส่วนของวงจรจะใส่ค่าตัวต้านทานที่ 200 K $\Omega$  ซึ่งจะมีค่าของ DEAD-TIME อยู่ที่ประมาณ 90 ns



รูปที่ 5.6 กราฟแสดงความสัมพันธ์ระหว่างค่าความต้านทานและ DEAD-TIME

ในส่วนของ Gate Driver ซึ่งเป็นส่วนที่ทำการขับขาเกทของวงจรในภาค Full-Bridge ซึ่งแบ่งการทำงานเป็นสองส่วนคือ ส่วน High Side และ Low Side โดยส่วน High Side จะได้รับสัญญาณ PWM ที่ผ่านวงจร Turn-On Delay และวงจร Level Shift and Latch ซึ่งภาคของ Level Shift and Latch จะทำการยกระดับอ้างอิงสัญญาณขึ้นให้มีค่าสูงขึ้นตามจุดที่ขา Source ของ MOSFET ตัวบนอยู่โดยใช้หลักการ Bootstrap ช่วยในการเพิ่มระดับสัญญาณ

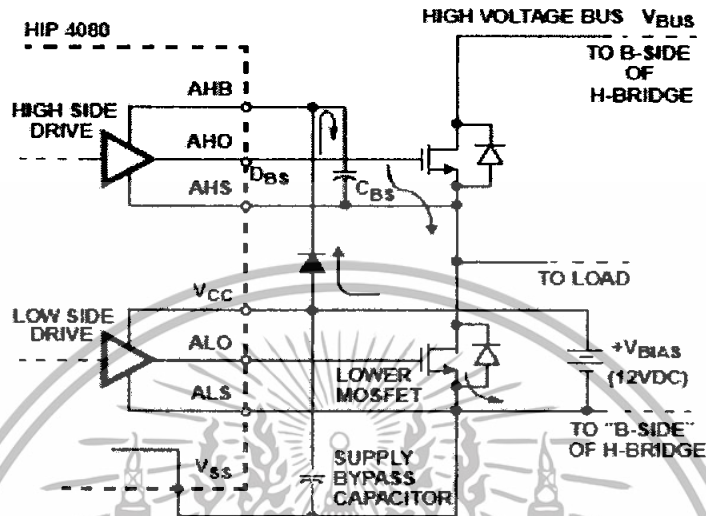


รูปที่ 5.7 การต่อวงจรโดยใช้หลักการ Bootstrap

หลักการ Bootstrap ก็คือเมื่อ MOSFET ตัวล่าง ON เป็นผลให้  $C_{BS}$  ถูกชาร์จประจุจาก VDD โดยผ่านทางไดโอด  $D_{BS}$  จนเต็มทำให้มีแรงดันตกคร่อม  $C_{BS}$  หลังจากนั้นเมื่อ MOSFET ตัวบนเริ่ม

เอกสารนี้เป็นเอกสารที่สงวนไว้สำหรับการใช้งานเพื่อการศึกษาเท่านั้น ไม่อนุญาตให้นำไปใช้ประโยชน์ด้านการค้า ไม่ว่าจะกรณีใดๆทั้งสิ้น อีกทั้งห้ามมิให้ดัดแปลงเนื้อหา และต้องอ้างอิงถึงเจ้าของเอกสารทุกครั้งที่มีการนำไปใช้

เข้าสู่สถานะ ON,  $C_{BS}$  จะทำการคายประจุผ่านทาง Gate driver เป็นผลให้ระดับสัญญาณที่ขั้วเกตตัวบนมีค่าสูงพอที่จะทำให้ MOSFET ตัวบน ON

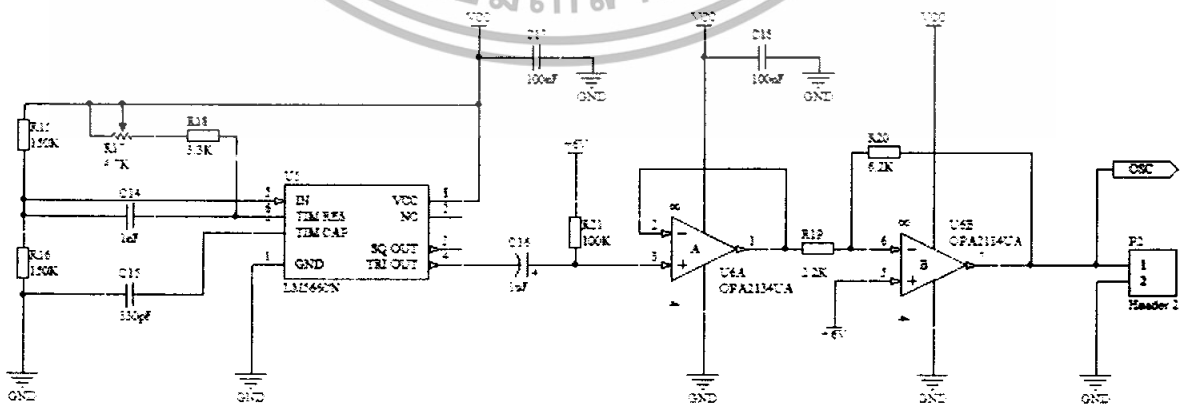


รูปที่ 5.8 แสดงการทำงานของเทคนิค Bootstrap ในการขับวงจร Full Bridge

ในการเลือกไดโอดที่ใช้สำหรับการชาร์จประจุของ  $C_{BS}$  ต้องใช้ไดโอดที่มีค่าเวลาฟื้นตัวเร็วมากและยอมให้กระแสไหลได้มากพอสมควรเพื่อสามารถทำงานได้ดีในความเร็วสูง

### 5.1.3 ภาค Triangle Wave Generator

ส่วนนี้จะทำการสร้างรูปคลื่นสามเหลี่ยมเพื่อใช้สำหรับสร้างสัญญาณ PWM โดยใช้ไอซี LM 566 เป็นตัวสร้างสัญญาณ ซึ่งมีคุณสมบัติคือ เป็นไอซี Voltage Control Oscillator สามารถสร้างความถี่ได้ถึง 1 MHz โดยวงจรจะสร้างสัญญาณสามเหลี่ยมความถี่ประมาณ 300 kHz



รูปที่ 5.9 แสดงวงจรภาค Triangle Wave Generator

เอกสารนี้เป็นเอกสารที่สงวนไว้สำหรับการใช้งานเพื่อการศึกษาเท่านั้น ไม่อนุญาตให้นำไปใช้ประโยชน์ด้านการค้า ไม่ว่าจะกรณีใดๆทั้งสิ้น อีกทั้งห้ามมิให้ดัดแปลงเนื้อหา และต้องอ้างอิงถึงเจ้าของเอกสารทุกครั้งที่มีการนำไปใช้

การหาความถี่ของคลื่นสามเหลี่ยมที่สร้างด้วยไอซี LM 566 สามารถหาได้จากสมการ

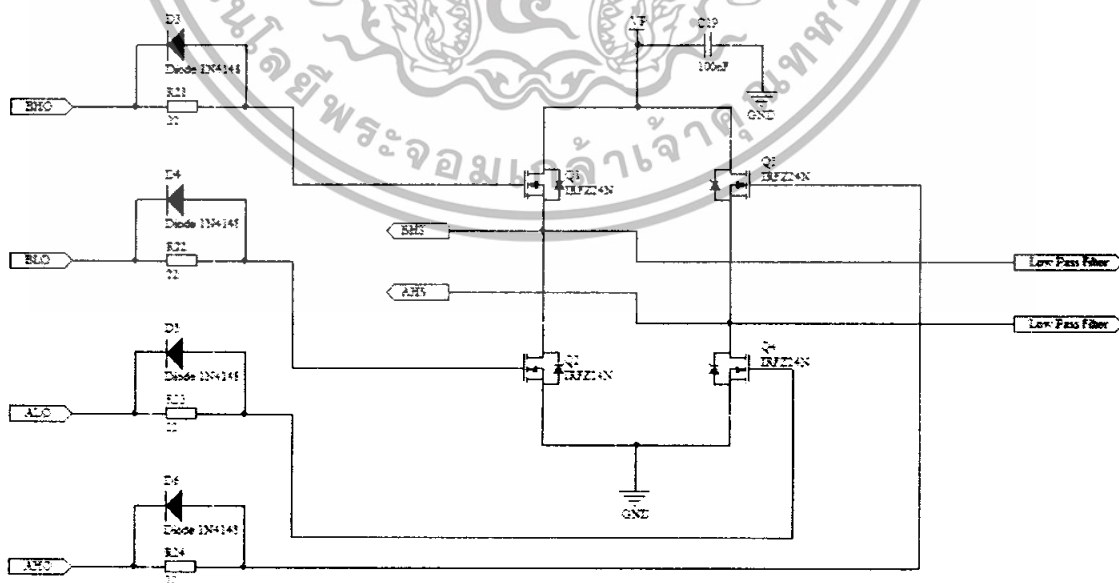
$$f_o = 2.4(V_{CC} - V_{pin5}) / (R_{\text{timing}} * C_{\text{timing}} * V_{CC}) \quad (5.4)$$

โดยที่  $R_{\text{timing}}$  คือ ตัวต้านทานที่ต่อกับขาที่ 6 ของไอซีกับ  $V_{CC}$ , และ  $C_{\text{timing}}$  คือ ตัวเก็บประจุที่ขา 7 ของไอซี

จากนั้นสัญญาณจะถูกขยายขนาดขึ้นพร้อมกับขั้วระดับสัญญาณอ้างอิงเพื่อนำไปสร้างสัญญาณ PWM ต่อไป

#### 5.1.4 ภาค Full-Bridge

จากภาค Gate driver สัญญาณ PWM จะถูกส่งผ่านมายังในส่วนของวงจร Full-Bridge ซึ่งเป็นส่วนสำคัญในการขยายกำลังงานของสัญญาณให้เพิ่มขึ้น โดยสัญญาณของ MOSFET ตัว Q1 จะมีเฟสเดียวกันกับเฟสสัญญาณของ MOSFET Q4 และสัญญาณของ MOSFET ตัว Q2 และ Q3 จะมีเฟสที่ตรงกันข้ามกับ Q1 และ Q4 จากเหตุนี้วงจรจะทำงานในลักษณะสวิตช์สลับคู่บนล่างกัน ทำให้ Output ของแต่ละด้านมีสัญญาณที่ต่างเฟสกัน และพัลส์ที่ได้ก็จะมีขนาดประมาณเท่ากับ  $V_P$  ซึ่ง  $V_P$  ที่ใช้มีค่า 40V และสัญญาณที่ตกคร่อมขา Gate กับ Source ของ MOSFET แต่ละตัวจะสวิง (Swing) อยู่เท่ากันที่ประมาณ  $V_{CC}$  ของไอซี Gate driver และที่ขา Drain กับ Source จะสวิงอยู่ที่ประมาณ 40V และสัญญาณพัลส์ที่ตกคร่อมระหว่าง Output ทั้งสองของวงจรจะมีขนาดเท่ากับ 2VP หรือ 80V

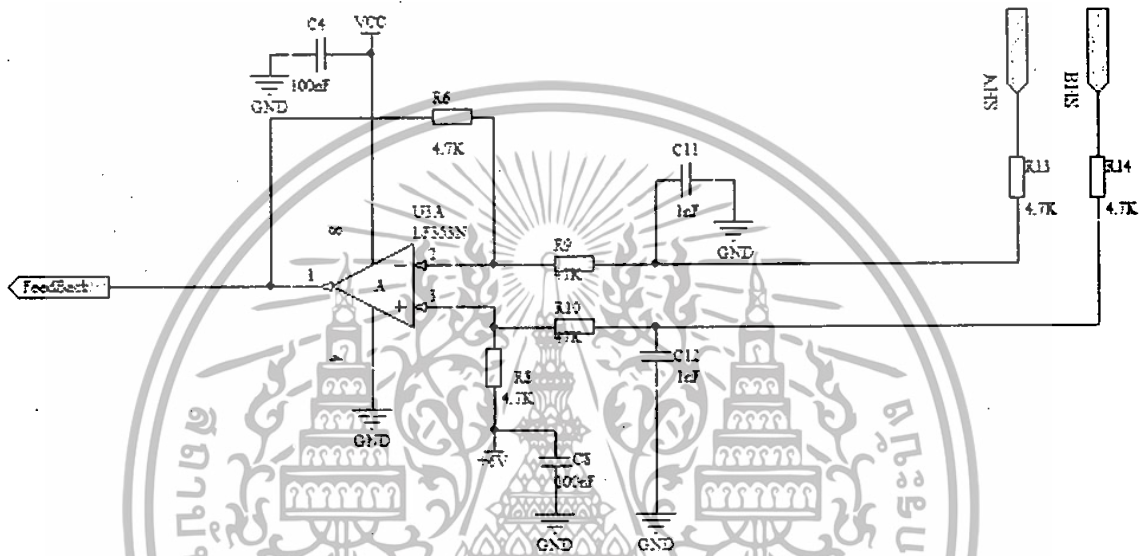


รูปที่ 5.10 วงจรในภาค Full-Bridge

เอกสารนี้เป็นเอกสารที่สงวนไว้สำหรับการใช้งานเพื่อการศึกษาเท่านั้น ไม่อนุญาตให้นำไปใช้ประโยชน์ด้านการค้า ไม่ว่าจะกรณีใดๆทั้งสิ้น อีกทั้งห้ามมิให้ดัดแปลงเนื้อหา และต้องอ้างอิงถึงเจ้าของเอกสารทุกครั้งที่มีการนำไปใช้

### 5.1.5 ภาค Feedback

วงจรในภาคนี้จะนำสัญญาณเอาต์พุตที่ได้จากวงจร Full-Bridge กลับมาเพื่อไปควบคุม อัตราการขยายของระบบ ซึ่งสัญญาณในแต่ละซีกจะผ่านวงจร RC Low-pass Filter เพื่อเปลี่ยน สัญญาณที่เป็น PWM ให้กลับมาเป็นสัญญาณเสียงอินพุตเพื่อนำเข้าไปสู่อินพุตของวงจร Op-Amp ที่ต่อกันเป็นวงจรคิฟเฟอร์เรนเซียล แอมป์ป्लीฟาย์



รูปที่ 5.11 วงจรในส่วนของ Feedback

วงจร RC Low-pass filter สามารถคำนวณค่าความถี่คัทออฟได้โดย

$$f_c = 1/(2\pi * R * C) \quad (5.5)$$

อินพุตทั้งสองของวงจรขยายความต่างจะมีเฟสสัญญาณที่ตรงข้ามกันและจะถูกนำมา หักล้างกันเป็นผลให้สัญญาณรบกวนลดลงและเอาต์พุตของวงจรจะกลับเฟสกับสัญญาณอินพุต ของระบบ เพื่อที่จะนำสัญญาณที่ได้ไปหักล้างกับอินพุตเพื่อควบคุมอัตราการขยาย

### 5.1.6 วงจรฟิลเตอร์

วงจรขยายคลาสดีแตกต่างจากวงจรขยายแบบเชิงเส้น โดยทั่วไปในเรื่องที่ว่าวงจรแบบ สวิตชิ่งนั้นต้องการการกรองสัญญาณที่เอาต์พุตเพื่อกำจัดพาหะความถี่สูงออกจากองค์ประกอบของ สัญญาณ PWM องค์ประกอบของความถี่สวิตชิ่งจะทำการแผ่รังสี EMI ออกมาจากสายเข้าสู่ลำโพง ในกรณีที่ลำโพงถูกต่อร่วมกับวงจรขยาย จำเป็นต้องมีการกรองสัญญาณโดยอาจจะใช้วิธีง่ายๆหรือ ใช้เทคนิคอื่นๆในการป้องกันที่เหมาะสม

เอกสารนี้เป็นเอกสารที่สงวนไว้สำหรับการใช้งานเพื่อการศึกษาเท่านั้น ไม่อนุญาตให้นำไปใช้ประโยชน์ด้านการค้า ไม่ว่ากรณีใดๆทั้งสิ้น อีกทั้งห้ามมิให้ตัดแปลงเนื้อหา และต้องอ้างอิงถึงเจ้าของเอกสารทุกครั้งที่มีการนำไปใช้

โครงการนี้ได้ออกแบบโดยใช้ 4 Pole Butterworth Filter โดยใช้การออกแบบจากตารางมาตรฐานการประมาณค่าของ Butterworth โดยกำหนดค่าความต้านทานโหลด 8 โอห์ม เลือกความถี่คัทออฟที่ 30 kHz การเลือกความถี่คัทออฟที่สูงกว่า 20 kHz เนื่องจากป้องกันการลดทอนสัญญาณในช่วงความถี่ที่ต้องการซึ่งอยู่ในช่วง 0 – 20 kHz และสมมติว่าความต้านทานของวงจร Full-Bridge มีค่าเท่ากับ 0.1 โอห์ม

ตัวอย่างของการคำนวณค่าอุปกรณ์ของวงจรกรองความถี่แบบบัตเตอร์เวิร์ทตามมาตรฐาน โดยใช้ค่าอุปกรณ์บนพื้นฐานความถี่คัทออฟที่ 30 kHz และโหลด 8 โอห์ม ตามลำดับ สำหรับความถี่คัทออฟและความต้านทานโหลดตามสมการที่ 5.2 และ 5.3 ที่แสดงซึ่งแปลงมาจากค่าพื้นฐานสู่ค่าที่ต้องการสำหรับฟิลเตอร์ ความถี่คัทออฟมีหน่วยเป็น เรเดียน/วินาที ได้คำนวณจากการใช้ความถี่คัทออฟในหน่วยเฮิรตซ์ตามสมการ 5.5

จากตารางฟิลเตอร์ ค่าพื้นฐานที่ได้คือ

$$L1n = 1.5307 \quad L3n = 1.0824 \quad C2n = 1.5772 \quad C4n = 0.3827 \quad (5.6)$$



รูปที่ 5.12 วงจร Low-pass Filter 4 Order

ค่าปกติพื้นฐานต้องถูกแปลงเพื่อให้ได้ค่าตัวเหนี่ยวนำและตัวเก็บประจุที่ต้องการที่ความถี่คัทออฟและความต้านทาน โหลดโดยใช้การแปลงแบบปกติคือ สำหรับตัวเหนี่ยวนำ

$$L1 = L1n \times Rn / (\omega_{3dB}) \quad (5.7)$$

$$L3 = L3n \times Rn / (\omega_{3dB})$$

และสำหรับค่าของตัวเก็บประจุ

$$C2 = C2n / (Rn \times \omega_{3dB}) \quad (5.8)$$

$$C4 = C4n / (Rn \times \omega_{3dB})$$

โดยที่  $\omega_{3dB}$  เป็นความถี่คัทออฟ และ  $Rn$  เป็นความต้านทานโหลด เพราะฉะนั้น;

$$\omega_{3dB} = 2 \times \pi \times 30 \text{ kHz} \quad (5.9)$$

เอกสารนี้เป็นเอกสารที่สงวนไว้สำหรับการใช้งานเพื่อการศึกษาเท่านั้น ไม่อนุญาตให้นำไปใช้ประโยชน์ด้านการค้า ไม่ว่ากรณีใดๆทั้งสิ้น อีกทั้งห้ามมิให้ตัดแปลงเนื้อหา และต้องอ้างอิงถึงเจ้าของเอกสารทุกครั้งที่มีการนำไปใช้

$$\omega_{3dB} = 188495.559215 \text{ เรเดียน/วินาที}$$

และที่ความต้านทานเป็น 8 โอห์ม เมื่อทำการแปลงพารามิเตอร์ต่างๆแล้วผลลัพธ์ที่ได้จะมีค่าเท่ากับ

$$L1 = 64.964 \text{ uH}$$

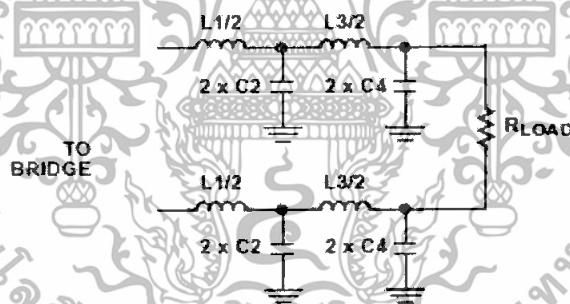
$$L3 = 45.938 \text{ uH}$$

$$C2 = 1.016 \text{ uF}$$

$$C4 = 0.254 \text{ uF}$$

สังเกตจากส่วนประกอบของสมการการแปลงหาค่าอุปกรณ์ฟิลเตอร์ข้างบน ซึ่งแท้จริงแล้วค่าอุปกรณ์ฟิลเตอร์ที่ได้ขึ้นอยู่กับความถี่คัทออฟและความต้านทานโหลด ทั้งค่าความเหนี่ยวนำและค่าความเก็บประจุ เปลี่ยนแปลงผกผันกับความถี่ แต่ทว่าค่าความเหนี่ยวนำแปรผันตรงกับความต้านทานโหลดและความเก็บประจุแปรผกผันกับความต้านทานโหลด

จากที่ได้ออกแบบให้วงจรฟิลเตอร์ใช้แบบ Balanced 4-Pole Filter ทำให้ค่าความเหนี่ยวนำถูกแบ่งครึ่งและค่าความเก็บประจุเพิ่มขึ้นเป็นสองเท่า



รูปที่ 5.13 วงจร Low-pass Filter ที่ออกแบบ

เพราะฉะนั้น ค่าของความเหนี่ยวนำและความเก็บประจุที่หาได้คือ

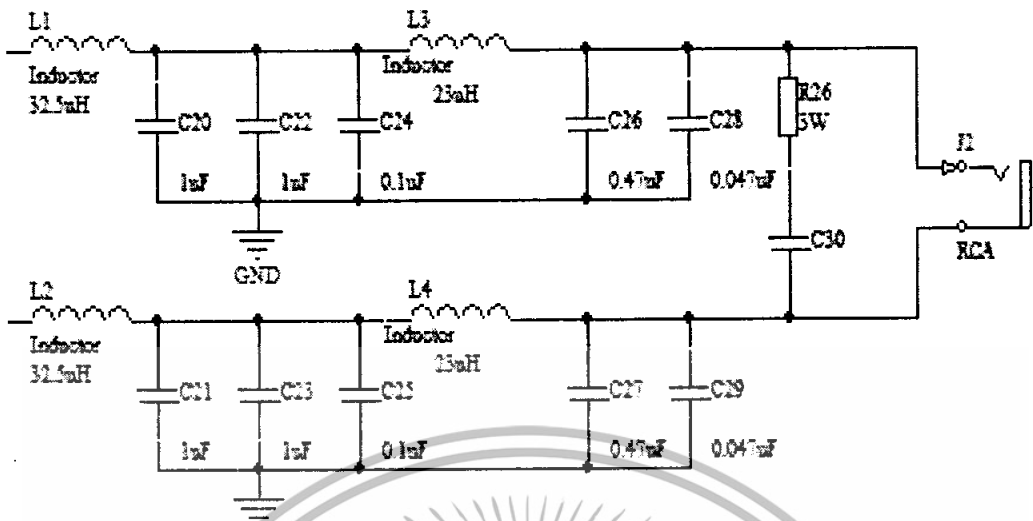
$$L1 = 32.482 \text{ uH}$$

$$L3 = 22.969 \text{ uH}$$

$$C2 = 2.092 \text{ uF}$$

$$C3 = 0.508 \text{ uH}$$

เอกสารนี้เป็นเอกสารที่สงวนไว้สำหรับการใช้งานเพื่อการศึกษาเท่านั้น ไม่อนุญาตให้นำไปใช้ประโยชน์ด้านการค้าไม่ว่ากรณีใดๆทั้งสิ้น อีกทั้งห้ามมิให้ตัดแปลงเนื้อหา และต้องอ้างอิงถึงเจ้าของเอกสารทุกครั้งที่มีการนำไปใช้



รูปที่ 5.14 วงจรกรองความถี่ต่ำที่ออกแบบได้

### 5.1.7 Zobel Filter

ในการเพิ่มเติมส่วนที่จะใช้ในการแยกสัญญาณ PWM ออกก่อนที่จะเข้าสู่ส่วนของลำโพง Zobel Filter ถูกนำมาใช้เพื่อทำให้ลำโพงดูเหมือนเป็นความต้านทานบริสุทธิ์ ด้วยวงจรขยายแบบเชิงเส้น การล้าหลังของเฟสสัญญาณระหว่างกระแสไฟฟ้าและแรงดันไฟฟ้าในสัญญาณเอาต์พุตจะเป็นผลลัพธ์อย่างปกติธรรมดาในเพาเวอร์แฟกเตอร์ (Power Factor) ที่ลดลงและการลดลงของประสิทธิภาพแน่นอนว่าประสิทธิภาพจะแย่ลงไปแน่นอน

ตารางการออกแบบวงจรกรองความถี่ตามปกติได้สมมติว่าความต้านทานโหลดเป็นความต้านทานบริสุทธิ์ การเบี่ยงเบนจากค่าความต้านทานโหลดที่เป็นเหตุให้เกิดการเลื่อนของ Filter pole และความคลาดเคลื่อนจากคุณลักษณะการทำงานของวงจรกรองความถี่

อย่างไรก็ดี การออกแบบ Zobel filter ก็ไม่ใช่เรื่องยากอะไรนัก ด้วยองค์ประกอบพื้นฐานของวงจรอนุกรม RC ซึ่งจะวางอยู่ที่ขั้วขาโดยตรงกับโหลด โดยการสมมติให้เป็นเหนือกว่าวงจรอนุกรม RC โดยกำหนดให้ ตัวเก็บประจุ Zobel มีค่าเท่ากับค่าความเหนี่ยวนำของโหลดหารด้วยกำลังสองของความต้านทานโหลด

$$C_{Zobel} = L_{Load} / R_{Load}^2 \quad (5.10)$$

วงจร Zobel Network, ตัวต้านทานที่ใช้ในการอนุกรมกับ  $C_{Zobel}$  จะกำหนดให้ค่าเท่ากับ ความต้านทานโหลดหรือลำโพง

## บทที่ 6

### ผลการทดลอง

จากการสร้างวงจรขยายแบบสวิตชิงและได้ทำการทดสอบวงจรในแต่ละส่วนการทำงานสามารถแบ่งออกเป็นส่วนๆคือ

#### 6.1 ภาค Triangle Wave Generator

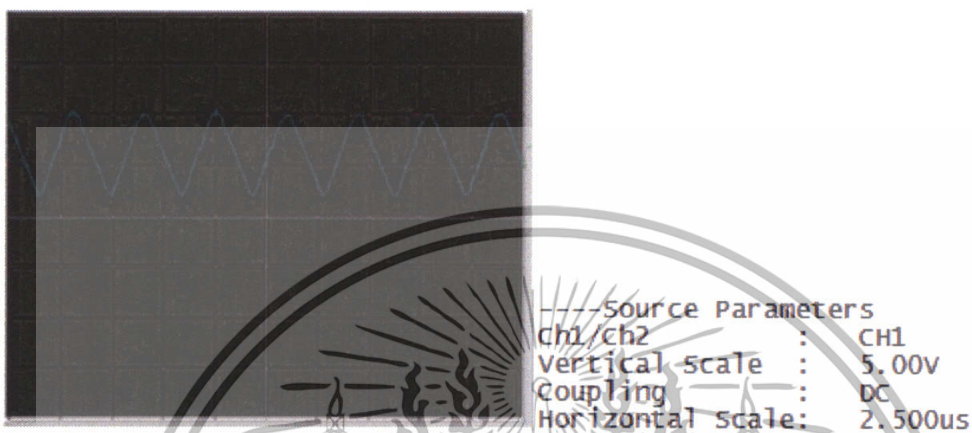
สัญญาณที่ได้จากรังจรนี้เป็นสัญญาณคลื่นสามเหลี่ยมความถี่สูงจากขา 4 ของไอซี LM 566 เพื่อทดสอบความถี่ที่สร้างจากไอซี LM 566 โดยกำหนดความถี่ไว้ที่ 300 kHz



รูปที่ 6.1 สัญญาณสามเหลี่ยมจากไอซี LM 566

เอกสารนี้เป็นเอกสารที่สงวนไว้สำหรับการใช้งานเพื่อการศึกษาเท่านั้น ไม่อนุญาตให้นำไปใช้ประโยชน์ด้านการค้า ไม่ว่าจะกรณีใดๆทั้งสิ้น อีกทั้งห้ามมิให้ดัดแปลงเนื้อหา และต้องอ้างอิงถึงเจ้าของเอกสารทุกครั้งที่มีการนำไปใช้

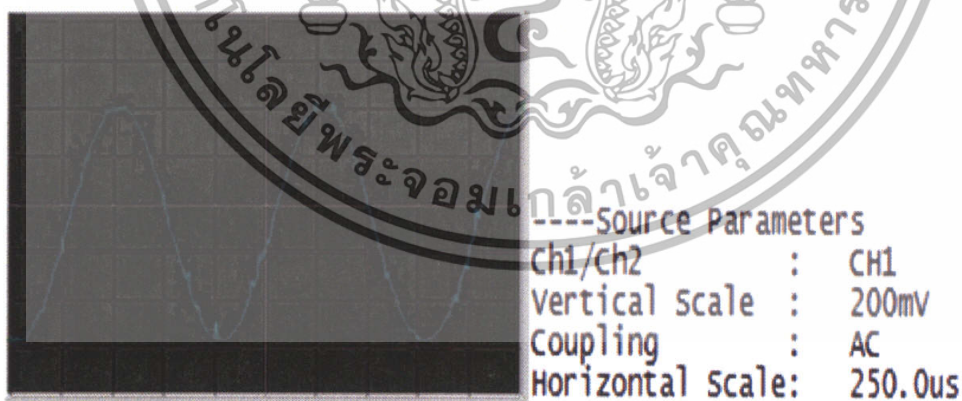
จากนั้นนำสัญญาณที่ได้จาก LM 566 ไปผ่านวงจรขยายเพื่อเพิ่มขนาดของสัญญาณให้สูงขึ้นโดยใช้ วงจรขยายแบบ Inverting Amp



รูปที่ 6.2 สัญญาณสามเหลี่ยมที่ผ่านวงจรขยาย

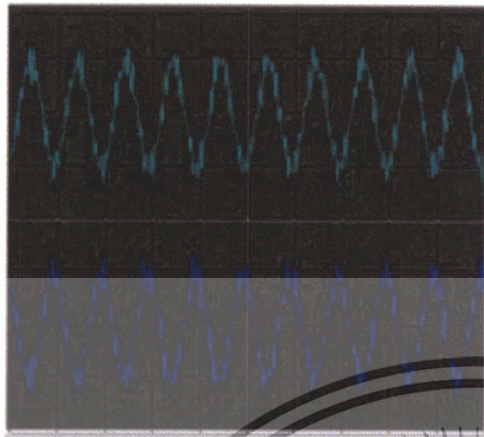
## 6.2 ภาคขยายและป้อนกลับ

ส่วนนี้ได้ทำการทดสอบโดยการป้อนสัญญาณทางอินพุตที่มีความถี่ 1 KHz ขนาด 1 Vp-p



รูปที่ 6.3 สัญญาณอินพุตขนาด 1Vp-p ความถี่ 1 kHz

เอกสารนี้เป็นเอกสารที่สงวนไว้สำหรับการใช้งานเพื่อการศึกษาเท่านั้น ไม่อนุญาตให้นำไปใช้ประโยชน์ด้านการค้าไม่ว่ากรณีใดๆทั้งสิ้น อีกทั้งห้ามมิให้ตัดแปลงเนื้อหา และต้องอ้างอิงถึงเจ้าของเอกสารทุกครั้งที่มีการนำไปใช้



```

----Source Parameters
Ch1/Ch2      : CH1
Vertical scale : 2.00V
Coupling      : AC
Horizontal scale: 1.000ms
  
```

```

----Source Parameters
Ch1/Ch2      : CH2
Vertical scale : 2.00V
Coupling      : AC
Horizontal scale: 1.000ms
  
```

รูปที่ 6.4 สัญญาณที่ได้จากวงจร Feedback โดยเปรียบเทียบระหว่างขาบวก (ch1) กับขาลบ (ch2)

### 6.3 ภาควงจร PWM และการขับเกท

ในส่วนของการขับขาเกทและสร้างสัญญาณ PWM ได้ใช้ไอซี HIP 4080A ในการขับขา เกทของ วงจรในส่วนภาคกำลังที่ต่อวงจรแบบ Full-Bridge โดย MOSFET ตัวที่อยู่ด้านบนจะได้รับ สัญญาณจาก ขา BHO และ AHO ส่วน MOSFET ตัวล่างจะได้รับจากขา BLO และ ALO ของไอซี HIP 4080A ซึ่ง สัญญาณที่ได้จะเป็น PWM ที่มีการปรับ Dead time ที่เหมาะสม



```

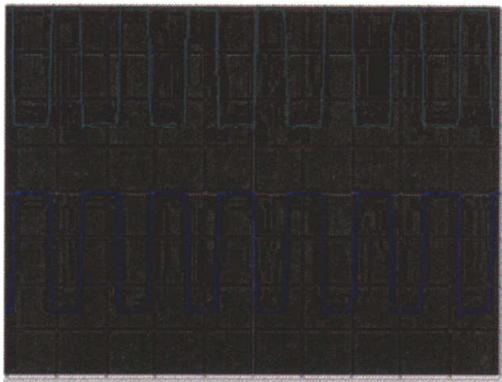
----Source Parameters
Ch1/Ch2      : CH1
Vertical scale : 500mv
Coupling      : DC
Horizontal scale: 2.500us
  
```

```

----Source Parameters
Ch1/Ch2      : CH2
Vertical scale : 500mv
Coupling      : DC
Horizontal scale: 2.500us
  
```

รูปที่ 6.5 แสดงสัญญาณจากขา ALO (ch1) เปรียบเทียบกับขา BLO (ch2) ของไอซี HIP 4080A

เอกสารนี้เป็นเอกสารที่สงวนไว้สำหรับการใช้งานเพื่อการศึกษาเท่านั้น ไม่อนุญาตให้นำไปใช้ประโยชน์ด้านการค้า ไม่ว่ากรณีใดๆทั้งสิ้น อีกทั้งห้ามมิให้ตัดแปลงเนื้อหา และต้องอ้างอิงถึงเจ้าของเอกสารทุกครั้งที่มีการนำไปใช้



----Source Parameters  
 Ch1/Ch2 : CH1  
 Vertical scale : 2.00V  
 Coupling : DC  
 Horizontal Scale: 2.500us

----Source Parameters  
 Ch1/Ch2 : CH2  
 Vertical scale : 2.00V  
 Coupling : DC  
 Horizontal scale: 2.500us

รูปที่ 6.6 แสดงสัญญาณจากขา AHO (ch1) เปรียบเทียบกับขา BHO (ch2)ของ ไอซี HIP 4080A

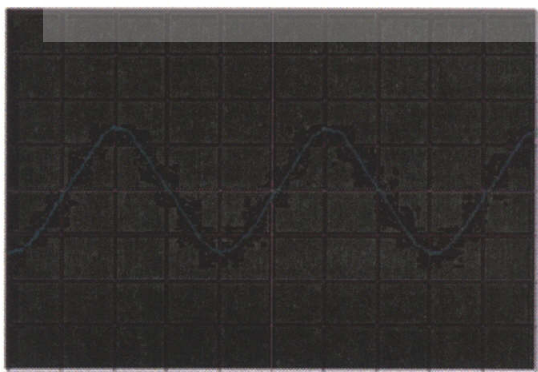
#### 6.4 ภาคขยายกำลัง

วัดสัญญาณเอาต์พุต



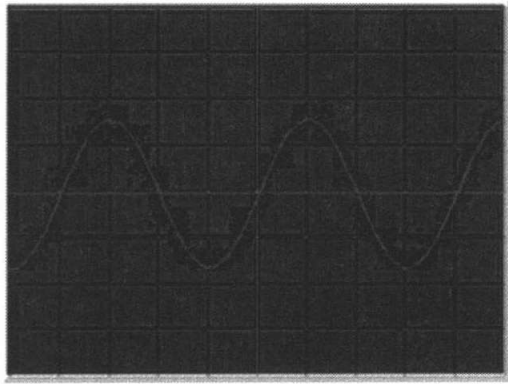
----Source Parameters  
 Ch1/Ch2 : CH1  
 Vertical Scale : 5.00V  
 Coupling : AC  
 Horizontal Scale: 250.0us

รูปที่ 6.6 แสดงสัญญาณทางเอาต์พุตขณะไม่ต่อโหลด 8 โอห์ม



----Source Parameters  
 Ch1/Ch2 : CH1  
 Vertical scale : 20.0V  
 Coupling : AC  
 Horizontal scale: 500.0us

เอกสารนี้เป็นเอกสารที่สงวนไว้สำหรับการใช้งานเพื่อการศึกษาเท่านั้น ไม่อนุญาตให้นำไปใช้ประโยชน์ด้านการค้า  
 รูปที่ 6.7 แสดงสัญญาณทางเอาต์พุตขณะต่อโหลด 8 โอห์ม



----Source Parameters  
 ch1/ch2 : CH1  
 Vertical scale : 2.00v  
 Coupling : AC  
 Horizontal Scale: 500.0us

รูปที่ 6.8 สัญญาณอินพุตที่เอาต์พุตสูงสุด มีขนาดเท่ากับ 6.5 V ความถี่ 500 Hz

ทำการวัดการตอบสนองความถี่ของวงจรโดยการป้อนสัญญาณที่อินพุตขนาด 1 Vp-p โดยมีโหลดที่เอาต์พุต 8 โอห์ม โดยเปลี่ยนความถี่ต่างๆกัน

ตารางที่ 6.1 แสดงผลการตอบสนองความถี่ของวงจรที่อิมพีแดนซ์โหลด 8 โอห์ม สัญญาณอินพุต 1 Vp-p

ความถี่ (Hz)	Vout (Vp-p)	Av (V/V)	Gain (dB)
10	7.2	7.2	17.15
20	7.2	7.2	17.15
30	7.5	7.5	17.50
40	7.5	7.5	17.50
50	7.5	7.5	17.50
60	7.5	7.5	17.50
70	7.5	7.5	17.50
80	7.5	7.5	17.50
90	7.6	7.6	17.61
100	7.6	7.6	17.61
200	7.7	7.7	17.73
300	7.7	7.7	17.73
400	7.8	7.8	17.84
500	7.8	7.8	17.84
600	8	8	18.06
700	8	8	18.06
800	8	8	18.06
900	8	8	18.06
1k	8	8	18.06
2k	8.5	8.5	18.58
3k	8.5	8.5	18.58

เอกสารนี้เป็นเอกสารที่สงวนไว้สำหรับกรใช้งานเพื่อการศึกษาเท่านั้น ไม่อนุญาตให้นำไปเผยแพร่โดยไม่ขออนุญาต  
 ไม่ว่ากรณีใดก็ตาม หากมีข้อผิดพลาดประการนี้ขอสงวนโทษไว้ และต้องอ้างถึงเจ้าของเอกสารทุกครั้งในการนำไปใช้

ความถี่(Hz)	Vout (V)	Av (V/V)	Gain (dB)
4k	8.5	8.5	18.58
5k	9	9	19.08
6k	9	9	19.08
7k	7k	9	9 19.08
8k	9	9	19.08
9k	9	9	19.08
10k	9	9	19.08
13k	8	8	18.06
15k	7.5	7.5	17.50

### 6.6 ประสิทธิภาพของวงจร

การหาค่าประสิทธิภาพของวงจรสามารถหาได้โดยใช้สมการ

$$\% \text{ Efficiency} = [P_{out} / P_s] \times 100 \quad (6.1)$$

$P_{out}$  คือกำลังงานทางเอาต์พุตซึ่งเป็นวงจรขยายกำลังแบบ Full-Bridge มีค่าเท่ากับ

$$V_{OUT\ p-p}^2 / 8R_L \quad (6.2)$$

;  $V_{OUT\ p-p}$  คือแรงดันเอาต์พุต

;  $R_L$  คือความต้านทานของโหลด

$P_s$  คือกำลังงานของแหล่งจ่ายไฟของวงจร Full-Bridge มีค่าเท่ากับ

$$V_{pw} \times I_{pw} \quad (6.3)$$

โดย  $V_{pw}$  คือแรงดันที่จ่ายให้กับวงจร Full-Bridge มีค่าเท่ากับ 40 V

$I_{pw}$  คือกระแสที่ไหลผ่านวงจร Full-Bridge

เอกสารนี้เป็นเอกสารที่สงวนไว้สำหรับการใช้งานเพื่อการศึกษาเท่านั้น ไม่อนุญาตให้นำไปใช้ประโยชน์ด้านการค้า ไม่ว่าจะกรณีใดๆทั้งสิ้น อีกทั้งห้ามมิให้ดัดแปลงเนื้อหา และต้องอ้างอิงถึงเจ้าของเอกสารทุกครั้งที่มีการนำไปใช้

## บทที่ 7

### สรุปและวิจารณ์

#### สรุปผลการทดลอง

จากการทดสอบการทำงานของวงจรขยายแบบสวิตซ์ซึ่งพบว่าสามารถขยายกำลังงานสูงสุดที่ทำได้มีค่า 50.4 W แต่ในส่วนการตอบสนองความถี่ของวงจรขณะที่ต่อกับโหลดขนาด 8 โอห์ม พบว่าการตอบสนองความถี่มีความถี่คัทออฟ อยู่ที่ประมาณ 20 KHz เพียงพอสำหรับการใช้งานย่านความถี่เสียง สัญญาณที่ได้จากเอาต์พุตมีสัญญาณความถี่สูงปะปนอยู่เล็กน้อย

#### วิจารณ์ผลการทดลอง

จากการทดลองวงจรขยายยังเกิดสัญญาณรบกวนเล็กน้อย เกิดจากการออกแบบ PCB ยังไม่ดีเท่าที่ควรและเกิดจากค่าผิดพลาดของอุปกรณ์



เอกสารนี้เป็นเอกสารที่สงวนไว้สำหรับการใช้งานเพื่อการศึกษาเท่านั้น ไม่อนุญาตให้นำไปใช้ประโยชน์ด้านการค้า ไม่ว่าจะกรณีใดๆทั้งสิ้น อีกทั้งห้ามมิให้ดัดแปลงเนื้อหา และต้องอ้างอิงถึงเจ้าของเอกสารทุกครั้งที่มีการนำไปใช้

## บรรณานุกรม

1. ประภากร สุวรรณะ, “Electronics Engineering 1”, คณะวิศวกรรมศาสตร์
2. ประภากร สุวรรณะ, “Electronics Engineering 2”, คณะวิศวกรรมศาสตร์
3. George E. Danz, “Class-D Audio 2 Evaluation Board (HIP4080AEVAL2)”, Intersil Application note 9525.2, 1996
4. George E. Danz, “HIP4080, 80V High Frequency H-Bridge Driver”, Intersil Application note 9324.3, 1996
5. Jorge Cerezo, “Class D Audio Amplifier Performance Relationship to MOSFET Parameters”, International Rectifier Application note 1070
6. Jun Honda and Jorge Cerezo, “Class D Audio Amplifier Design”, International Rectifier, 2003
7. Sergio Sanchez Moreno, “Class D Audio Amplifier: Theory and Design”, ColdAmp, 2005
8. Vrej Barkhordarian, “Power MOSFET Basics”, International Rectifier Application note 1084
9. “Class D Audio Amplifier Output Filter Optimization”, Application Note 624, Maxim Integrated products and Dallas semiconductor, 2002

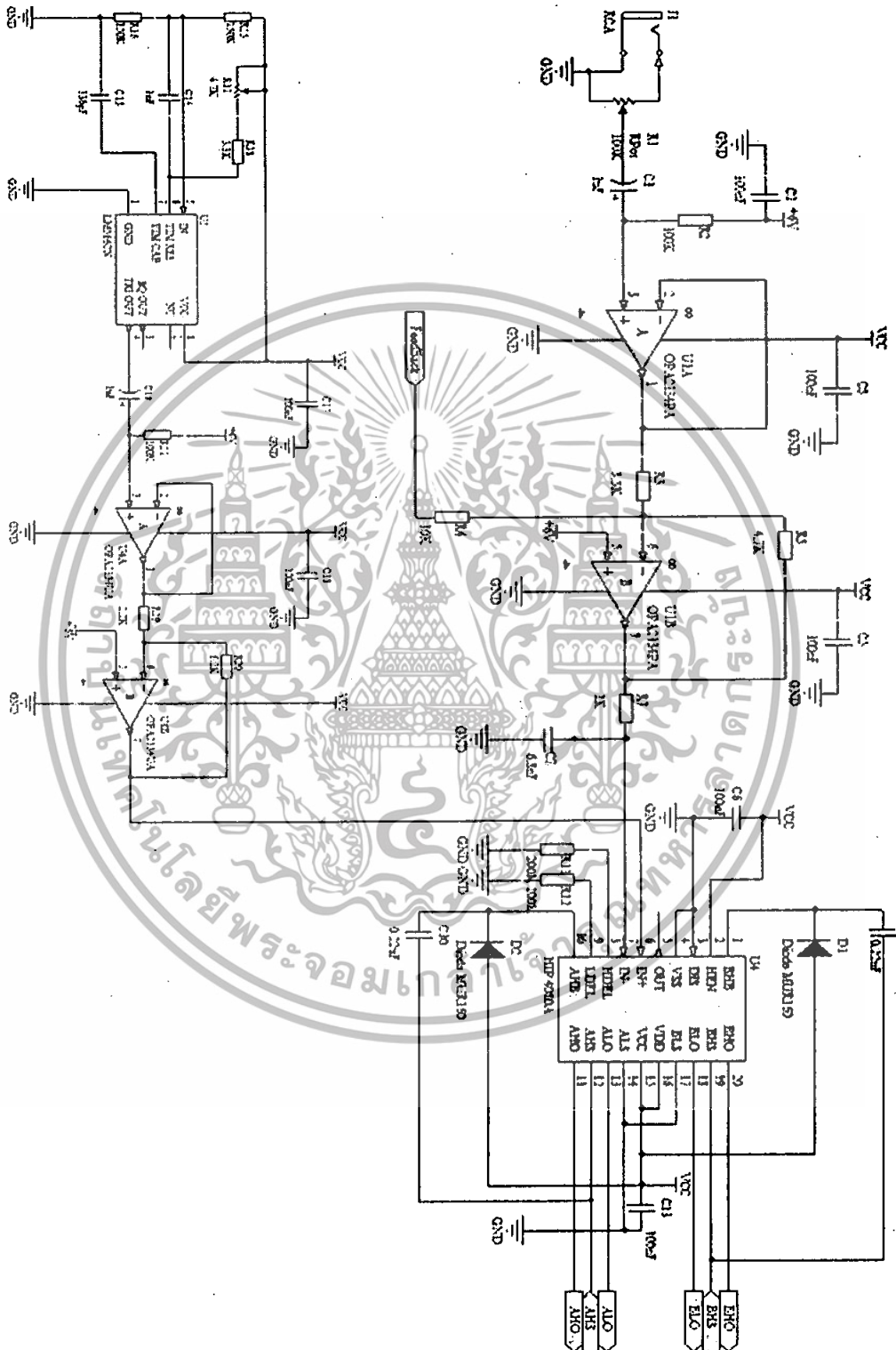
เอกสารนี้เป็นเอกสารที่สงวนไว้สำหรับการใช้งานเพื่อการศึกษาเท่านั้น ไม่อนุญาตให้นำไปใช้ประโยชน์ด้านการค้า  
ไม่ว่ากรณีใดๆทั้งสิ้น อีกทั้งห้ามมิให้ดัดแปลงเนื้อหา และต้องอ้างอิงถึงเจ้าของเอกสารทุกครั้งที่มีการนำไปใช้



ภาคผนวก

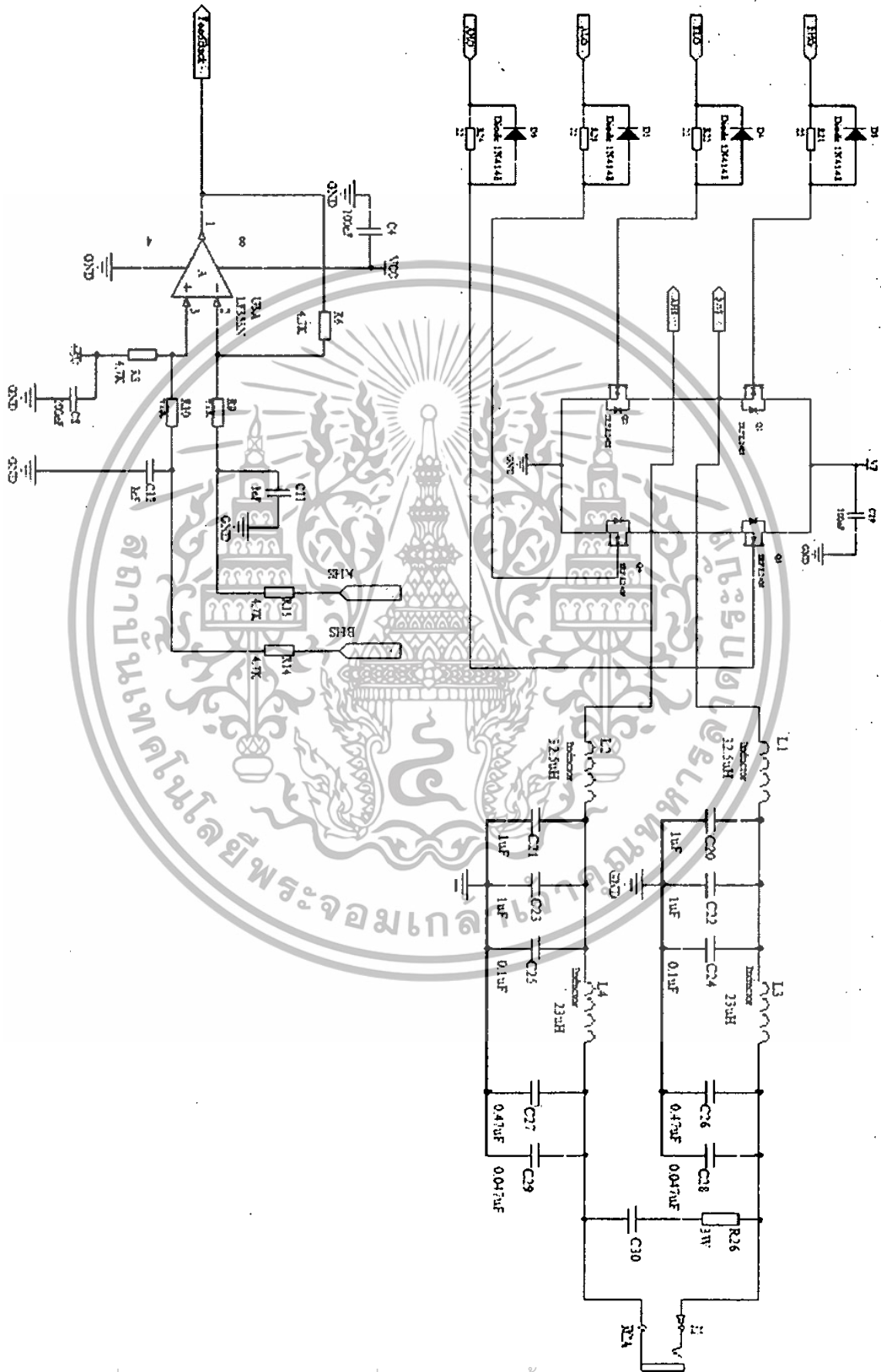
เอกสารนี้เป็นเอกสารที่สงวนไว้สำหรับการใช้งานเพื่อการศึกษาเท่านั้น ไม่อนุญาตให้นำไปใช้ประโยชน์ด้านการค้า  
ไม่ว่ากรณีใดๆทั้งสิ้น อีกทั้งห้ามมิให้ดัดแปลงเนื้อหา และต้องอ้างอิงถึงเจ้าของเอกสารทุกครั้งที่มีการนำไปใช้

รูปร่างรวมของภาค INPUT, PWM, Triangle wave generator



เอกสารนี้เป็นเอกสารที่สงวนไว้สำหรับการใช้งานเพื่อการศึกษาเท่านั้น ไม่อนุญาตให้นำไปใช้ประโยชน์ด้านการค้า  
ไม่ว่ากรณีใดๆทั้งสิ้น อีกทั้งห้ามมิให้ดัดแปลงเนื้อหา และต้องอ้างอิงถึงเจ้าของเอกสารทุกครั้งที่มีการนำไปใช้

รูปร่างรวมของภาค Full Bridge, Feedback, Low-pass Filter



เอกสารนี้เป็นเอกสารที่สงวนไว้สำหรับการใช้งานเพื่อการศึกษาเท่านั้น ไม่อนุญาตให้นำไปใช้ประโยชน์ด้านการค้า  
ไม่ว่ากรณีใดๆทั้งสิ้น อีกทั้งห้ามมิให้ดัดแปลงเนื้อหา และต้องอ้างอิงถึงเจ้าของเอกสารทุกครั้งที่มีการนำไปใช้

**80V/2.5A Peak, High Frequency Full Bridge FET Driver**

The HIP4080A is a high frequency, medium voltage Full Bridge N-Channel FET driver IC, available in 20 lead plastic SOIC and DIP packages. The HIP4080A includes an input comparator, used to facilitate the "hysteresis" and PWM modes of operation. Its HEN (high enable) lead can force current to freewheel in the bottom two external power MOSFETs, maintaining the upper power MOSFETs off. Since it can switch at frequencies up to 1MHz, the HIP4080A is well suited for driving Voice Coil Motors, switching power amplifiers and power supplies.

HIP4080A can also drive medium voltage brush motors, and two HIP4080As can be used to drive high performance stepper motors, since the short minimum "on-time" can provide fine micro-stepping capability.

Short propagation delays of approximately 55ns maximize control loop crossover frequencies and dead-times which can be adjusted to near zero to minimize distortion, resulting in precise control of the driven load.

The similar HIP4081A IC allows independent control of all 4 FETs in a Full Bridge configuration.

The Application Note for the HIP4080A is AN9404.

**Ordering Information**

PART NUMBER	TEMPERATURE RANGE (°C)	PACKAGE	PKG DWG. #
HIP4080AIPZ (Note 1)	-40 to +85	20 Ld PDIP (Pb-Free)	E20.3
HIP4080AIP	-40 to +85	20 Ld PDIP	E20.3
HIP4080AIB	-40 to +85	20 Ld SOIC	M20.3
HIP4080AIBZ (Note 1)	-40 to +85	20 Ld SOIC (Pb-Free)	M20.3

**NOTES:**

1. Intersil Pb-Free products employ special Pb-free material sets; molding compounds/die attach materials and 100% matte tin plate termination finish, which is compatible with both SnPb and Pb-free soldering operations. Intersil Pb-Free products are MSL classified at Pb-free peak reflow temperatures that meet or exceed the Pb-free requirements of IPC/JEDEC J-Std-020B.
2. Add "T" suffix for Tape and Reel packing option. HIP4080AIP not available in Tape and Reel.

**Features**

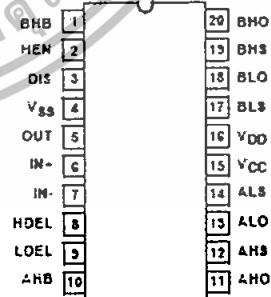
- Drives N-Channel FET Full Bridge including High Side Chop Capability
- Bootstrap Supply Max Voltage to 95VDC
- Drives 1000pF Load at 1MHz in Free Air at +50°C with Rise and Fall Times of Typically 10ns
- User-Programmable Dead Time
- Charge-Pump and Bootstrap Maintain Upper Bias Supplies
- DIS (Disable) Pin Pulls Gates Low
- Input Logic Thresholds Compatible with 5V to 15V Logic Levels
- Very Low Power Consumption
- Undervoltage Protection
- Pb-Free Available as an Option

**Applications**

- Medium/Large Voice Coil Motors
- Full Bridge Power Supplies
- Switching Power Amplifiers
- High Performance Motor Controls
- Noise Cancellation Systems
- Battery Powered Vehicles
- Peripherals
- U.P.S.

**Pinout**

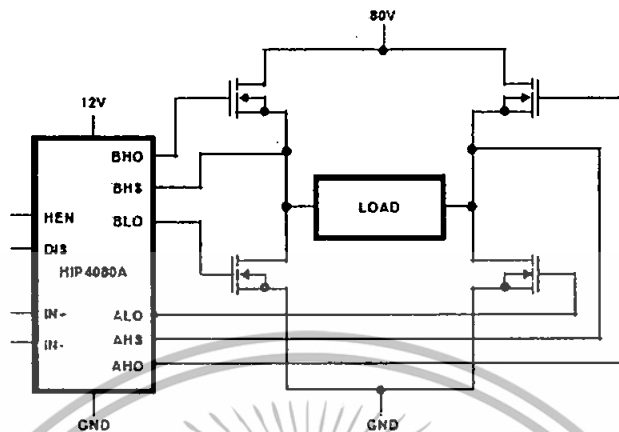
HIP4080A (PDIP, SOIC) TOP VIEW



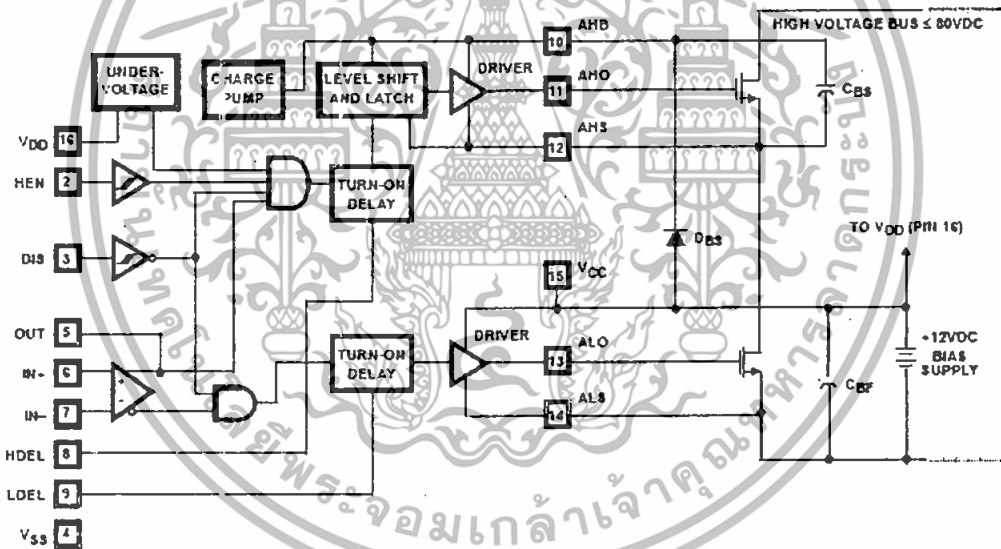
เอกสารนี้เป็นเอกสารที่สงวนไว้สำหรับการใช้งานเพื่อการศึกษาเท่านั้น ไม่อนุญาตให้นำไปใช้ประโยชน์ด้านการค้า ไม่ว่าจะกรณีใดๆทั้งสิ้น อีกทั้งห้ามมิให้ดัดแปลงเนื้อหา และต้องอ้างอิงถึงเจ้าของเอกสารทุกครั้งที่มีการนำไปใช้

# HIP4080A

## Application Block Diagram

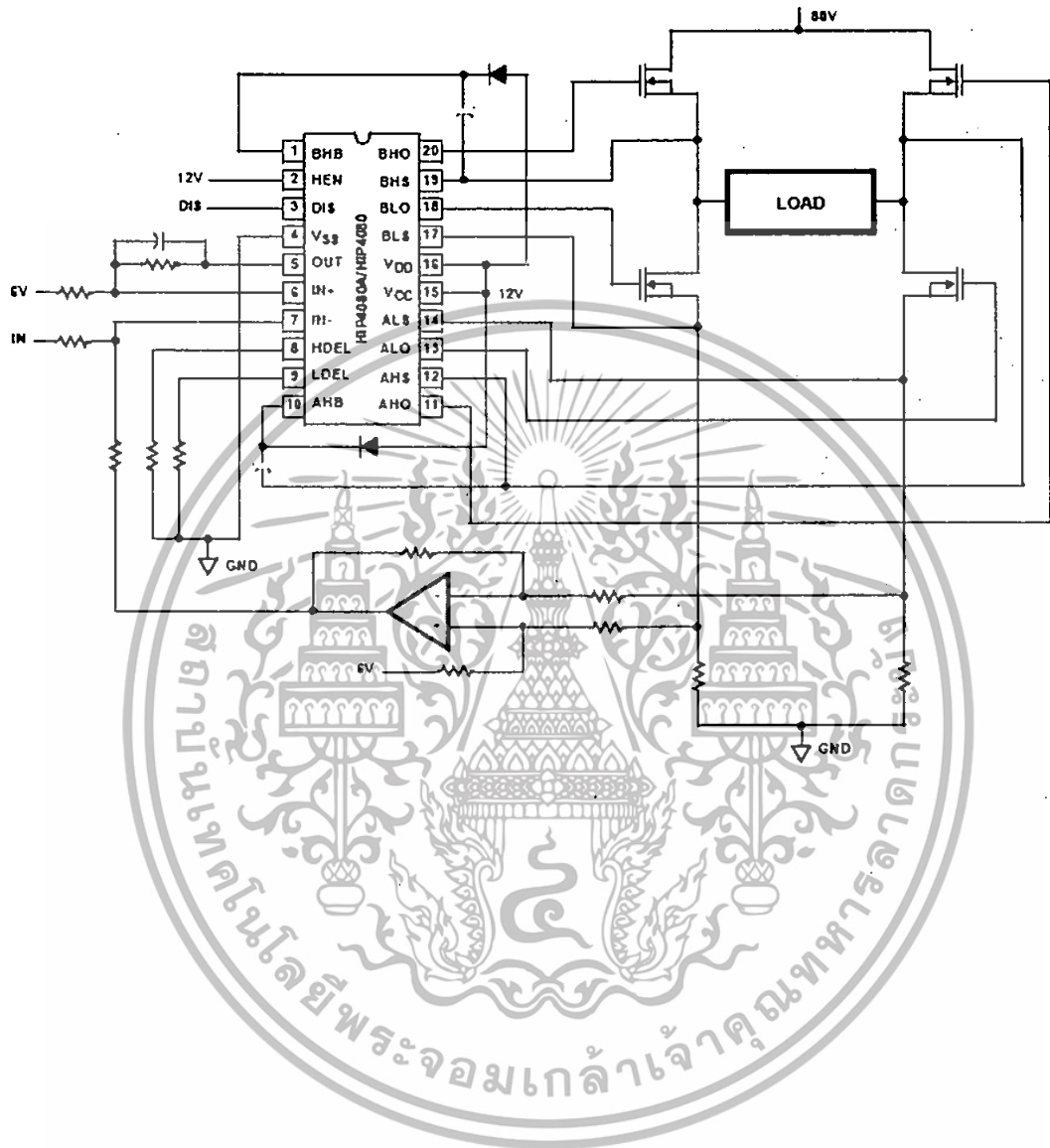


## Functional Block Diagram (1/2 HIP4080A)



เอกสารนี้เป็นเอกสารที่สงวนไว้สำหรับการใช้งานเพื่อการศึกษาเท่านั้น ไม่อนุญาตให้นำไปใช้ประโยชน์ด้านการค้า  
ไม่ว่ากรณีใดๆทั้งสิ้น อีกทั้งห้ามมิให้ดัดแปลงเนื้อหา และต้องอ้างอิงถึงเจ้าของเอกสารทุกครั้งที่มีการนำไปใช้

Typical Application (Hysteresis Mode Switching)



เอกสารนี้เป็นเอกสารที่สงวนไว้สำหรับการใช้งานเพื่อการศึกษาเท่านั้น ไม่อนุญาตให้นำไปใช้ประโยชน์ด้านการค้า  
ไม่ว่ากรณีใดๆทั้งสิ้น อีกทั้งห้ามมิให้ดัดแปลงเนื้อหา และต้องอ้างอิงถึงเจ้าของเอกสารทุกครั้งที่มีการนำไปใช้

# HIP4080A

## Absolute Maximum Ratings

Supply Voltage, $V_{DD}$ and $V_{CC}$	-0.3V to 16V
Logic I/O Voltages	-0.3V to $V_{DD} + 0.3V$
Voltage on AHS, BHS	-0.0V (Transient) to 80V (25°C to 125°C)
Voltage on AHS, BHS	-0.0V (Transient) to 70V (-55°C to 125°C)
Voltage on ALS, BLS	-2.0V (Transient) to +2.0V (Transient)
Voltage on AHB, BHB	$V_{AHS}$ , BHS -0.3V to $V_{AHS}$ , BHS + $V_{DD}$
Voltage on ALO, BLO	$V_{ALS}$ , BLS -0.3V to $V_{CC} + 0.3V$
Voltage on AHO, BHO	$V_{AHS}$ , BHS -0.3V to $V_{AHB}$ , BHB +0.3V
Input Current, HDEL and LDEL	-5mA to 0mA
Phase Slew Rate	20V/ns

All Voltages relative to  $V_{SS}$ , unless otherwise specified.

## Thermal Information

Thermal Resistance (Typical, Note 3)	$\theta_{JA}$ (°C/W)
SOIC Package	85
PDIP Package	75
Maximum Power Dissipation at +85°C	
SOIC Package	470mW
PDIP Package	530mW
Storage Temperature Range	-65°C to +150°C
Operating Max. Junction Temperature	+125°C
Lead Temperature (Soldering 10s)	+300°C (For SOIC - Lead Tips Only)

## Operating Conditions

Supply Voltage, $V_{DD}$ and $V_{CC}$	+9.5V to +15V
Voltage on ALS, BLS	-1.0V to +1.0V
Voltage on AHB, BHB	$V_{AHS}$ , BHS +5V to $V_{AHS}$ , BHS +15V
Input Current, HDEL and LDEL	-500µA to -50µA
Operating Ambient Temperature Range	-40°C to +65°C

CAUTION: Stresses above those listed in "Absolute Maximum Ratings" may cause permanent damage to the device. This is a stress only rating and operation of the device at these or any other conditions above those indicated in the operational sections of this specification is not implied.

### NOTE:

- $\theta_{JA}$  is measured with the component mounted on a low effective thermal conductivity test board in free air. See Tech Brief TB379 for details.

## Electrical Specifications

$V_{DD} = V_{CC} = V_{AHS} = V_{BHS} = 12V$ ,  $V_{SS} = V_{ALS} = V_{BLS} = V_{AHS} = V_{BHS} = 0V$ ,  $R_{HDEL} = R_{LDEL} = 100K$ , and  $T_A = +25^\circ C$ , Unless Otherwise Specified

PARAMETERS	SYMBOL	TEST CONDITIONS	$T_J = +25^\circ C$			$T_J = -40^\circ C$ $T_O = +125^\circ C$		UNITS
			MIN	TYP	MAX	MIN	MAX	
<b>SUPPLY CURRENTS AND CHARGE PUMPS</b>								
$V_{DD}$ Quiescent Current	$I_{DD}$	$I_{IN} = 2.5V$ , Other Inputs = 0V	8	11	14	7	14	mA
$V_{DD}$ Operating Current	$I_{DDO}$	Outputs switching $f = 500kHz$ , No Load	9	12	15	8	15	mA
$V_{CC}$ Quiescent Current	$I_{CC}$	$I_{IN} = 2.5V$ , Other Inputs = 0V, $I_{ALO} = I_{BLO} = 0$	-	25	80	-	100	µA
$V_{CC}$ Operating Current	$I_{CCO}$	$f = 500kHz$ , No Load	1	1.25	2.0	0.8	3	mA
AHB, BHB Quiescent Current - Opump Output Current	$I_{AHB}$ , $I_{BHB}$	$I_{IN} = 2.5V$ , Other Inputs = 0V, $I_{ALO} = I_{BLO} = 0$ , $V_{DD} = V_{CC} = V_{AHS} = V_{BHS} = 10V$	-50	-25	-11	-80	-10	µA
AHB, BHB Operating Current	$I_{AHBO}$ , $I_{BHBO}$	$f = 500kHz$ , No Load	0.82	1.2	1.5	0.5	1.0	mA
AHS, BHS, AHB, BHB Leakage Current	$I_{HLK}$	$V_{BHS} = V_{AHS} = 80V$ , $V_{AHB} = V_{BHB} = 93V$	-	0.02	1.0	-	10	µA
AHB-AHS, BHB-BHS Opump Output Voltage	$V_{AHB}$ , $V_{AHS}$ , $V_{BHB}$ , $V_{BHS}$	$I_{AHB} = I_{AHS} = 0$ , No Load	11.5	12.6	14.0	10.5	14.5	V
<b>INPUT COMPARATOR PINS: <math>I_{IN+}</math>, <math>I_{IN-}</math>, OUT</b>								
Offset Voltage	$V_{OS}$	Over Common Mode Voltage Range	-10	0	+10	-15	+15	mV
Input Bias Current	$I_{IB}$		0	0.5	2	0	4	µA
Input Offset Current	$I_{OS}$		-1	0	+1	-2	+2	µA
Input Common Mode Voltage Range	CMVR		1	-	$V_{DD} - 1.5$	1	$V_{DD} - 1.5$	V

เอกสารนี้เป็นเอกสารที่สงวนไว้สำหรับการใช้งานเพื่อการศึกษาเท่านั้น ไม่อนุญาตให้นำไปใช้ประโยชน์ด้านการค้า  
ไม่ว่ากรณีใดๆทั้งสิ้น อีกทั้งห้ามมิให้ดัดแปลงเนื้อหา และต้องอ้างอิงถึงเจ้าของเอกสารทุกครั้งที่มีการนำไปใช้

## HIP4080A

**Electrical Specifications**  $V_{DD} = V_{CC} = V_{AHE} = V_{BHE} = 12V$ ,  $V_{SS} = V_{ALS} = V_{BLS} = V_{AHS} = V_{BHS} = 0V$ ,  $R_{HDEL} = R_{LDEL} = 100K$ , and  $T_A = +25^{\circ}C$ . Unless Otherwise Specified (Continued)

PARAMETERS	SYMBOL	TEST CONDITIONS	$T_J = +25^{\circ}C$			$T_J = -40^{\circ}C$ TO $+125^{\circ}C$		UNITS
			MIN	TYP	MAX	MIN	MAX	
Voltage Gain	AVOL		10	25	-	10	-	V/mV
OUT High Level Output Voltage	VOH	$I_{N+} > I_{N-}$ , $I_{OH} = -250\mu A$	$V_{DD} - 0.4$	-	-	$V_{DD} - 0.5$	-	V
OUT Low Level Output Voltage	VOL	$I_{N+} < I_{N-}$ , $I_{OL} = +250\mu A$	-	-	0.4	-	0.5	V
Low Level Output Current	IO <sub>L</sub>	$V_{OUT} = 0V$	6.5	14	19	6	20	mA
High Level Output Current	IO <sub>H</sub>	$V_{OUT} = 0V$	-17	-10	-3	-20	-2.5	mA
<b>INPUT PINS: DIS</b>								
Low Level Input Voltage	V <sub>IL</sub>	Full Operating Conditions	-	-	1.0	-	0.8	V
High Level Input Voltage	V <sub>IH</sub>	Full Operating Conditions	2.5	-	-	2.7	-	V
Input Voltage Hysteresis			-	35	-	-	-	mV
Low Level Input Current	I <sub>IL</sub>	$V_{IN} = 0V$ , Full Operating Conditions	-130	-100	-75	-135	-65	$\mu A$
High Level Input Current	I <sub>IH</sub>	$V_{IN} = 5V$ , Full Operating Conditions	-1	-	+1	-10	+10	$\mu A$
<b>INPUT PINS: HEN</b>								
Low Level Input Voltage	V <sub>IL</sub>	Full Operating Conditions	-	-	1.0	-	0.8	V
High Level Input Voltage	V <sub>IH</sub>	Full Operating Conditions	2.5	-	-	2.7	-	V
Input Voltage Hysteresis			-	35	-	-	-	mV
Low Level Input Current	I <sub>IL</sub>	$V_{IN} = 0V$ , Full Operating Conditions	-200	-200	-150	-270	-130	$\mu A$
High Level Input Current	I <sub>IH</sub>	$V_{IN} = 5V$ , Full Operating Conditions	-1	-	+1	-10	+10	$\mu A$
<b>TURN-ON DELAY PINS: LDEL AND HDEL</b>								
LDEL, HDEL Voltage	V <sub>HDEL</sub> , V <sub>LDEL</sub>	$I_{HDEL} = I_{LDEL} = -100\mu A$	4.9	5.1	5.3	4.8	5.4	V
<b>GATE DRIVER OUTPUT PINS: ALO, BLO, AHO, AND BHO</b>								
Low Level Output Voltage	V <sub>OL</sub>	$I_{OUT} = 100mA$	0.7	0.85	1.0	0.5	1.1	V
High Level Output Voltage	$V_{CC} - V_{OH}$	$I_{OUT} = -100mA$	0.8	0.95	1.1	0.5	1.2	V
Peak Pullup Current	IO <sub>+</sub>	$V_{OUT} = 0V$	1.7	2.0	3.8	1.4	4.1	A
Peak Pulldown Current	IO <sub>-</sub>	$V_{OUT} = 12V$	1.7	2.4	3.3	1.3	3.6	A
Under Voltage, Rising Threshold	UV <sub>+</sub>		8.1	8.8	9.4	8.0	9.5	V
Under Voltage, Falling Threshold	UV <sub>-</sub>		7.6	8.3	8.9	7.5	9.0	V
Under Voltage, Hysteresis	HYS		0.25	0.4	0.65	0.2	0.7	V

เอกสารนี้เป็นเอกสารที่สงวนไว้สำหรับการใช้งานเพื่อการศึกษาเท่านั้น ไม่อนุญาตให้นำไปใช้ประโยชน์ด้านการค้า  
ไม่ว่ากรณีใดๆทั้งสิ้น อีกทั้งห้ามมิให้ดัดแปลงเนื้อหา และต้องอ้างอิงถึงเจ้าของเอกสารทุกครั้งที่มีการนำไปใช้

## HIP4080A

**Switching Specifications**  $V_{DO} = V_{CC} = V_{AHE} = V_{BHE} = 12V$ ,  $V_{SS} = V_{ALS} = V_{BLS} = V_{AHS} = V_{BHS} = 0V$ ,  $R_{HDEL} = R_{LDEL} = 10K$ ,  $C_L = 1000pF$ , and  $T_A = +25^\circ C$ . Unless Otherwise Specified

PARAMETERS	SYMBOL	TEST CONDITIONS	$T_J = +25^\circ C$			$T_J = -40^\circ C$ TO $+125^\circ C$		UNITS
			MIN	TYP	MAX	MIN	MAX	
Lower Turn-off Propagation Delay (IN+/IN- to ALO/BLO)	$T_{LPHL}$		-	40	70	-	90	ns
Upper Turn-off Propagation Delay (IN+/IN- to AHO/BHO)	$T_{HPHL}$		-	50	80	-	110	ns
Lower Turn-on Propagation Delay (IN+/IN- to ALO/BLO)	$T_{LPLH}$		-	40	70	-	90	ns
Upper Turn-on Propagation Delay (IN+/IN- to AHO/BHO)	$T_{HPLH}$		-	70	110	-	140	ns
Rise Time	$T_R$		-	10	25	-	35	ns
Fall Time	$T_F$		-	10	25	-	35	ns
Turn-on Input Pulse Width	$T_{PWIN-ON}$		50	-	-	50	-	ns
Turn-off Input Pulse Width	$T_{PWIN-OFF}$		40	-	-	40	-	ns
Disable Turn-off Propagation Delay (DIS - Lower Outputs)	$T_{DISLOW}$		-	45	75	-	95	ns
Disable Turn-off Propagation Delay (DIS - Upper Outputs)	$T_{DISHIGH}$		-	55	85	-	105	ns
Disable to Lower Turn-on Propagation Delay (DIS - ALO and BLO)	$T_{DOLPH}$		-	45	70	-	90	ns
Refresh Pulse Width (ALO and BLO)	$T_{REF-PW}$		240	360	500	200	600	ns
Disable to Upper Enable (DIS - AHO and BHO)	$T_{DUEH}$		-	490	630	-	750	ns
HEN-AHO, BHO Turn-off, Propagation Delay	$T_{HEN-PHL}$	$R_{HDEL} = R_{LDEL} = 10K$	-	40	70	-	90	ns
HEN-AHO, BHO Turn-on, Propagation Delay	$T_{HEN-PLH}$	$R_{HDEL} = R_{LDEL} = 10K$	-	60	90	-	110	ns

### TRUTH TABLE

INPUT			OUTPUT				
IN+ > IN-	HEN	UV	DIS	ALO	AHO	BLO	BHO
X	X	X	1	0	0	0	0
0	0	0	0	1	0	0	0
1	1	0	0	0	1	1	0
0	1	0	0	1	0	0	1
1	0	0	0	0	0	1	0
X	X	1	X	0	0	0	0

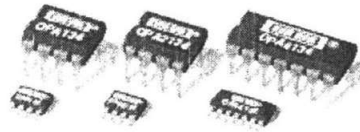
เอกสารนี้เป็นเอกสารที่สงวนไว้สำหรับการใช้งานเพื่อการศึกษาเท่านั้น ไม่อนุญาตให้นำไปใช้ประโยชน์ด้านการค้า  
ไม่ว่ากรณีใดๆทั้งสิ้น อีกทั้งห้ามมิให้ดัดแปลงเนื้อหา และต้องอ้างอิงถึงเจ้าของเอกสารทุกครั้งที่มีการนำไปใช้

## HIP4080A

### Pin Descriptions

PIN NUMBER	SYMBOL	DESCRIPTION
1	BHB	B High-side Bootstrap supply. External bootstrap diode and capacitor are required. Connect cathode of bootstrap diode and positive side of bootstrap capacitor to this pin. Internal charge pump supplies 30 $\mu$ A out of this pin to maintain bootstrap supply. Internal circuitry clamps the bootstrap supply to approximately 12.8V.
2	HEN	High-side Enable input. Logic level input that when low overrides IN+/IN- (Pins 6 and 7) to put AHO and BHO drivers (Pins 11 and 20) in low output state. When HEN is high AHO and BHO are controlled by IN+/IN- inputs. The pin can be driven by signal levels of 0V to 15V (no greater than V <sub>DD</sub> ).
3	DIS	DISable input. Logic level input that when taken high sets all four outputs low. DIS high overrides all other inputs. When DIS is taken low the outputs are controlled by the other inputs. The pin can be driven by signal levels of 0V to 15V (no greater than V <sub>DD</sub> ).
4	V <sub>SS</sub>	Chip negative supply, generally will be ground.
5	OUT	OUTput of the input control comparator. This output can be used for feedback and hysteresis.
6	IN+	Noninverting input of control comparator. If IN+ is greater than IN- (Pin 7) then ALO and BHO are low level outputs and BLO and AHO are high level outputs. If IN+ is less than IN- then ALO and BHO are high level outputs and BLO and AHO are low level outputs. DIS (Pin 3) high level will override IN+/IN- control for all outputs. HEN (Pin 2) low level will override IN+/IN- control of AHO and BHO. When switching in four quadrant mode, dead time in a half bridge leg is controlled by HDEL and LDEL (Pins 8 and 9).
7	IN-	Inverting input of control comparator. See IN+ (Pin 6) description.
8	HDEL	High-side turn-on DELay. Connect resistor from this pin to V <sub>SS</sub> to set timing current that defines the turn-on delay of both high-side drivers. The low-side drivers turn-off with no adjustable delay, so the HDEL resistor guarantees no shoot-through by delaying the turn-on of the high-side drivers. HDEL reference voltage is approximately 5.1V.
9	LDEL	Low-side turn-on DELay. Connect resistor from this pin to V <sub>SS</sub> to set timing current that defines the turn-on delay of both low-side drivers. The high-side drivers turn-off with no adjustable delay, so the LDEL resistor guarantees no shoot-through by delaying the turn-on of the low-side drivers. LDEL reference voltage is approximately 5.1V.
10	AHB	A High-side Bootstrap supply. External bootstrap diode and capacitor are required. Connect cathode of bootstrap diode and positive side of bootstrap capacitor to this pin. Internal charge pump supplies 30 $\mu$ A out of this pin to maintain bootstrap supply. Internal circuitry clamps the bootstrap supply to approximately 12.8V.
11	AHO	A High-side Output. Connect to gate of A High-side power MOSFET.
12	AHS	A High-side Source connection. Connect to source of A High-side power MOSFET. Connect negative side of bootstrap capacitor to this pin.
13	ALO	A Low-side Output. Connect to gate of A Low-side power MOSFET.
14	ALS	A Low-side Source connection. Connect to source of A Low-side power MOSFET.
15	V <sub>CC</sub>	Positive supply to gate drivers. Must be same potential as V <sub>DD</sub> (Pin 16). Connect to anodes of two bootstrap diodes.
16	V <sub>DD</sub>	Positive supply to lower gate drivers. Must be same potential as V <sub>CC</sub> (Pin 15). De-couple this pin to V <sub>SS</sub> (Pin 4).
17	BLS	B Low-side Source connection. Connect to source of B Low-side power MOSFET.
18	BLO	B Low-side Output. Connect to gate of B Low-side power MOSFET.
19	BHS	B High-side Source connection. Connect to source of B High-side power MOSFET. Connect negative side of bootstrap capacitor to this pin.
20	BHO	B High-side Output. Connect to gate of B High-side power MOSFET.

เอกสารนี้เป็นเอกสารที่สงวนไว้สำหรับการใช้งานเพื่อการศึกษาเท่านั้น ไม่อนุญาตให้นำไปใช้ประโยชน์ด้านการค้า  
ไม่ว่ากรณีใดๆทั้งสิ้น อีกทั้งห้ามมิให้ดัดแปลงเนื้อหา และต้องอ้างอิงถึงเจ้าของเอกสารทุกครั้งที่มีการนำไปใช้



**OPA134  
OPA2134  
OPA4134**

*SoundPlus* High Performance  
**AUDIO OPERATIONAL AMPLIFIERS**

**FEATURES**

- SUPERIOR SOUND QUALITY
- ULTRA LOW DISTORTION: 0.00008%
- LOW NOISE: 8nV/√Hz
- TRUE FET-INPUT:  $I_b = 5pA$
- HIGH SPEED:  
SLEW RATE: 20V/μs  
BANDWIDTH: 8MHz
- HIGH OPEN-LOOP GAIN: 120dB (50C12)
- WIDE SUPPLY RANGE: ±2.5V to ±18V
- SINGLE, DUAL, AND QUAD VERSIONS

**APPLICATIONS**

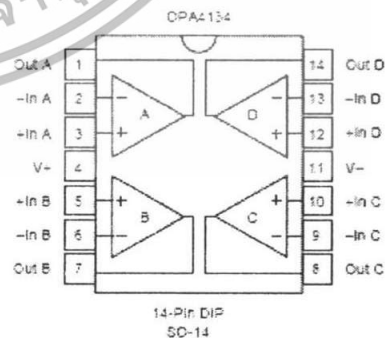
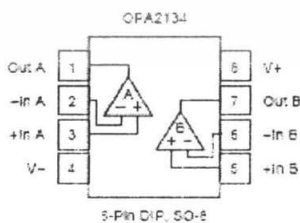
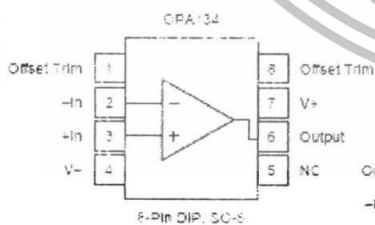
- PROFESSIONAL AUDIO AND MUSIC
- LINE DRIVERS
- LINE RECEIVERS
- MULTIMEDIA AUDIO
- ACTIVE FILTERS
- PREAMPLIFIERS
- INTEGRATORS
- CROSSOVER NETWORKS

**DESCRIPTION**

The OPA134 series are ultra-low distortion, low noise operational amplifiers fully specified for audio applications. A true FET input stage was incorporated to provide superior sound quality and speed for exceptional audio performance. This in combination with high output drive capability and excellent dc performance allows use in a wide variety of demanding applications. In addition, the OPA134's wide output swing, to within 1V of the rails, allows increased headroom making it ideal for use in any audio circuit.

OPA134 op amps are easy to use and free from phase inversion and overload problems often found in common FET-input op amps. They can be operated from ±2.5V to ±18V power supplies. Input cascode circuitry provides excellent common-mode rejection and maintains low input bias current over its wide input voltage range, minimizing distortion. OPA134 series op amps are unity-gain stable and provide excellent dynamic behavior over a wide range of load conditions, including high load capacitance. The dual and quad versions feature completely independent circuitry for lowest crosstalk and freedom from interaction, even when overdriven or overloaded.

Single and dual versions are available in 8-pin DIP and SO-8 surface-mount packages in standard configurations. The quad is available in 14-pin DIP and SO-14 surface mount packages. All are specified for -40°C to +85°C operation. A SPICE macromodel is available for design analysis.



International Airport Industrial Park • Mailing Address: PO Box 11400, Tucson, AZ 85734 • Street Address: 6730 S. Tucson Blvd., Tucson, AZ 85706 • Tel: (520) 746-1111 • Twx: 910-952-1111  
Internet: <http://www.burr-brown.com/> • FAX: (520) 548-6133 (U.S./Canada Only) • Cable: BURRCORP • Telex: 066-6431 • FAX: (520) 839-1516 • Immediate Product Info: (800) 548-6132

เอกสารนี้เป็นเอกสารที่สงวนไว้สำหรับการใช้งานเพื่อการศึกษาเท่านั้น ไม่อนุญาตให้นำไปใช้ประโยชน์ด้านการค้า  
ไม่ว่ากรณีใดๆทั้งสิ้น อีกทั้งห้ามมิให้ดัดแปลงเนื้อหา และต้องอ้างอิงถึงเจ้าของเอกสารทุกครั้งที่มีการนำไปใช้

# SPECIFICATIONS

All  $T_A = +25^\circ\text{C}$ ,  $V_S = \pm 5\text{V}$ , unless otherwise noted.

PARAMETER	CONDITION	OPA134PA, UA OPA2134PA, UA OPA4134PA, UA			UNITS
		MIN	TYP	MAX	
<b>AUDIO PERFORMANCE</b>					
Total Harmonic Distortion + Noise	$G = 1, f = 1\text{kHz}, V_O = 3\text{Vrms}$ $R_L = 2\text{k}\Omega$ $R_s = 600\Omega$		0.00008 0.00015		% %
Intermodulation Distortion Headroom <sup>(1)</sup>	$G = 1, f = 1\text{kHz}, V_O = 1\text{Vp-p}$ THD = 0.01%, $R_L = 2\text{k}\Omega, V_S = \pm 15\text{V}$		-98 23.6		dB dBu
<b>FREQUENCY RESPONSE</b>					
Gain-Bandwidth Product		$\pm 15$	8		MHz
Slew Rate <sup>(2)</sup>			$\pm 20$		V/ $\mu\text{s}$
Full Power Bandwidth			1.3		MHz
Settling Time 0.1%	$G = 1, 10\text{V Step}, C_L = 100\text{pF}$		0.7		$\mu\text{s}$
0.01%	$G = 1, 10\text{V Step}, C_L = 100\text{pF}$		1		$\mu\text{s}$
Overload Recovery Time	$(V_{OL}) = (\text{Gain}) \cdot V_S$		0.5		$\mu\text{s}$
<b>NOISE</b>					
Input Voltage Noise			1.2		$\mu\text{Vrms}$
Noise Voltage, $f = 20\text{Hz}$ to $20\text{kHz}$			8		nV/ $\sqrt{\text{Hz}}$
Noise Density, $f = 1\text{kHz}$			3		nV/ $\sqrt{\text{Hz}}$
Current Noise Density, $f = 1\text{kHz}$					pA/ $\sqrt{\text{Hz}}$
<b>OFFSET VOLTAGE</b>					
Input Offset Voltage			$\pm 0.5$	$\pm 2$	mV
vs Temperature	$T_A = -40^\circ\text{C}$ to $+85^\circ\text{C}$		$\pm 1$	$\pm 1$ <sup>(3)</sup>	mV/ $^\circ\text{C}$
vs Power Supply (PSRR)	$T_A = -40^\circ\text{C}$ to $+85^\circ\text{C}$ $V_S = \pm 2.5\text{V}$ to $\pm 18\text{V}$	90	106		dB
Channel Separation (Dual, Quad)	$\rho_c, R_L = 2\text{k}\Omega$ $f = 20\text{kHz}, R_s = 2\text{k}\Omega$		135 130		dB dB
<b>INPUT BIAS CURRENT</b>					
Input Bias Current <sup>(4)</sup>	$V_{CM} = 0\text{V}$		-5	$\pm 100$	pA
vs Temperature <sup>(5)</sup>			See Typical Curve	$\pm 5$	nA
Input Offset Current <sup>(4)</sup>	$V_{CM} = 0\text{V}$		$\pm 2$	$\pm 50$	pA
<b>INPUT VOLTAGE RANGE</b>					
Common-Mode Voltage Range	$V_{CM} = -12.5\text{V}$ to $+12.5\text{V}$	$(V^-) + 2.5$	$\pm 13$	$(V^+) - 2.5$	V
Common-Mode Rejection	$T_A = -40^\circ\text{C}$ to $+85^\circ\text{C}$	86	100		dB
<b>INPUT IMPEDANCE</b>					
Differential			$10^4 \parallel 2$		$\Omega \parallel \text{pF}$
Common-Mode	$V_{CM} = -12.5\text{V}$ to $+12.5\text{V}$		$10^4 \parallel 5$		$\Omega \parallel \text{pF}$
<b>OPEN-LOOP GAIN</b>					
Open-Loop Voltage Gain	$R_L = 10\text{k}\Omega, V_O = -14.5\text{V}$ to $+13.8\text{V}$	104	120		dB
	$R_L = 2\text{k}\Omega, V_O = -13.8\text{V}$ to $+13.5\text{V}$	104	120		dB
	$R_s = 600\Omega, V_O = -12.8\text{V}$ to $+12.5\text{V}$	104	120		dB
<b>OUTPUT</b>					
Voltage Output	$R_L = 10\text{k}\Omega$	$(V^-) + 0.5$		$(V^+) - 1.2$	V
	$R_L = 2\text{k}\Omega$	$(V^-) + 1.2$		$(V^+) - 1.5$	V
	$R_L = 600\Omega$	$(V^-) + 2.2$		$(V^+) - 3.5$	V
Output Current			$\pm 35$		mA
Output Impedance, Closed-Loop <sup>(6)</sup>	$f = 10\text{kHz}$		0.01		$\Omega$
Open-Loop	$f = 10\text{kHz}$		10		$\Omega$
Short-Circuit Current			$\pm 40$		mA
Capacitive Load Drive (Stable Operation)			See Typical Curve		
<b>POWER SUPPLY</b>					
Specified Operating Voltage		$\pm 2.5$	$\pm 15$	$\pm 18$	V
Operating Voltage Range				5	V
Quiescent Current (per amplifier)	$I_Q = 0$		4		mA
<b>TEMPERATURE RANGE</b>					
Specified Range		-40		+85	$^\circ\text{C}$
Operating Range		-55		+125	$^\circ\text{C}$
Storage		-55		+125	$^\circ\text{C}$
Thermal Resistance, $\theta_{JA}$					$^\circ\text{C}/\text{W}$
8-Pin DIP			100		$^\circ\text{C}/\text{W}$
30-8 Surface-Mount			150		$^\circ\text{C}/\text{W}$
14-Pin DIP			60		$^\circ\text{C}/\text{W}$
SO-14 Surface-Mount			110		$^\circ\text{C}/\text{W}$

NOTES: (1)  $0\text{dBu} = 20 \log (V_{rms}/0.7746)$  where  $V_{rms}$  is the maximum output voltage for which THD+Noise is less than 0.01%. See THD+Noise (ext). (2) Guaranteed by design. (3) Guaranteed by water-level test to 95% confidence level. (4) High-speed test at  $T_A = 25^\circ\text{C}$ . (5) See "Closed-Loop Output Impedance vs Frequency" typical curve.



OPA134/2134/4134

เอกสารนี้เป็นเอกสารที่สงวนไว้สำหรับการใช้งานเพื่อการศึกษาเท่านั้น ไม่อนุญาตให้นำไปใช้ประโยชน์ด้านการค้า  
ไม่ว่ากรณีใดๆทั้งสิ้น อีกทั้งห้ามมิให้ดัดแปลงเนื้อหา และต้องอ้างอิงถึงเจ้าของเอกสารทุกครั้งที่มีการนำไปใช้

### ABSOLUTE MAXIMUM RATINGS<sup>(1)</sup>

Supply Voltage, $V_+$ to $V_-$	±36V
Input Voltage	( $V_-$ ) -0.7V to ( $V_+$ ) +0.7V
Output Short-Circuit <sup>(2)</sup>	Continuous
Operating Temperature	-40°C to +125°C
Storage Temperature	-55°C to +125°C
Junction Temperature	150°C
Lead Temperature (soldering, 10s)	300°C

NOTES: (1) Stresses above these ratings may cause permanent damage.  
 (2) Short-circuit to ground, one amplifier per package.

### PACKAGE/ORDERING INFORMATION

PRODUCT	PACKAGE	PACKAGE DRAWING NUMBER <sup>(1)</sup>	TEMPERATURE RANGE
Single OPA134PA OPA134UA	8-Pin Plastic DIP SO-8 Surface-Mount	006 132	-40°C to +85°C -40°C to +85°C
Dual OPA2134PA OPA2134UA	8-Pin Plastic DIP SO-8 Surface-Mount	006 132	-40°C to +85°C -40°C to +85°C
Quad OPA4134PA OPA4134UA	14-Pin Plastic DIP SO-14 Surface-Mount	010 235	-40°C to +85°C -40°C to +85°C

NOTE: (1) For detailed drawing and dimension table, please see end of data sheet, or Appendix C of Burr-Brown IC Data Book.



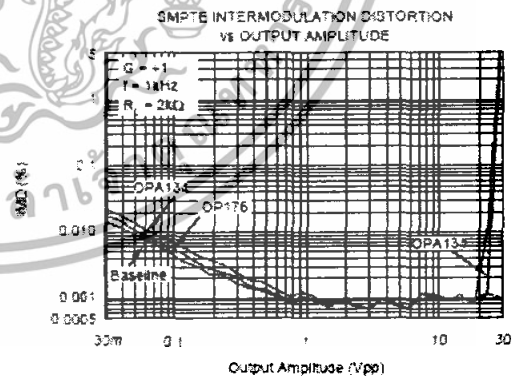
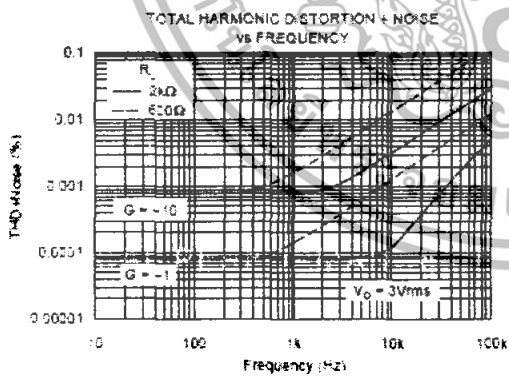
### ELECTROSTATIC DISCHARGE SENSITIVITY

This integrated circuit can be damaged by ESD. Burr-Brown recommends that all integrated circuits be handled with appropriate precautions. Failure to observe proper handling and installation procedures can cause damage.

ESD damage can range from subtle performance degradation to complete device failure. Precision integrated circuits may be more susceptible to damage because very small parametric changes could cause the device not to meet its published specifications.

### TYPICAL PERFORMANCE CURVES

At  $T_A = +25^\circ\text{C}$ ,  $V_D = \pm 15\text{V}$ ,  $R_L = 2\text{k}\Omega$ , unless otherwise noted.



The information provided herein is believed to be reliable; however, BURR-BROWN assumes no responsibility for inaccuracies or omissions. BURR-BROWN assumes no responsibility for the use of this information, and all use of such information shall be entirely at the user's own risk. Prices and specifications are subject to change without notice. No patent rights or licenses to any of the circuits described herein are implied or granted to any third party. BURR-BROWN does not authorize or warrant any BURR-BROWN product for use in the support of life and/or systems.



เอกสารนี้เป็นเอกสารที่สงวนไว้สำหรับการใช้งานเพื่อการศึกษาเท่านั้น ไม่อนุญาตให้นำไปใช้ประโยชน์ด้านการค้า  
 ไม่ว่ากรณีใดๆทั้งสิ้น อีกทั้งห้ามมิให้ดัดแปลงเนื้อหา และต้องอ้างอิงถึงเจ้าของเอกสารทุกครั้งที่มีการนำไปใช้

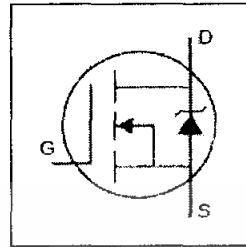
# International Rectifier

HEXFET® Power MOSFET

PD - 91354A

## IRFZ24N

- Advanced Process Technology
- Dynamic dv/dt Rating
- 175°C Operating Temperature
- Fast Switching
- Fully Avalanche Rated

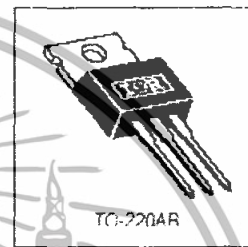


$V_{DS} = 55V$
$R_{DS(on)} = 0.07\Omega$
$I_D = 17A$

### Description

Fifth Generation HEXFET® power MOSFETs from International Rectifier utilize advanced processing techniques to achieve the lowest possible on-resistance per silicon area. This benefit, combined with the fast switching speed and ruggedized device design that HEXFET power MOSFETs are well known for, provides the designer with an extremely efficient device for use in a wide variety of applications.

The TO-220 package is universally preferred for all commercial-industrial applications at power dissipation levels to approximately 50 watts. The low thermal resistance and low package cost of the TO-220 contribute to its wide acceptance throughout the industry.



### Absolute Maximum Ratings

Parameter	Max.	Units
$I_D @ T_C = 25^\circ C$	17	A
$I_D @ T_C = 100^\circ C$	12	
$I_{DM}$	68	
$P_D @ T_C = 25^\circ C$	50	W
	3.0	W/°C
$V_{GS}$	±20	V
$E_{AS}$	71	mJ
$I_{AR}$	10	A
$E_{AR}$	4.5	mJ
dv/dt	5.0	V/ns
$T_J$	-55 to +175	°C
$T_{STG}$		
Soldering Temperature, for 10 seconds	300 (1.6mm from case)	
Mounting torque: E-32 or M3 screw.	10 lbf·in (1.1N·m)	

### Thermal Resistance

Parameter	Min.	Typ.	Max.	Units
$R_{JC}$	—	—	3.3	°C/W
$R_{JCS}$	—	0.50	—	
$R_{JA}$	—	—	62	

www.irf.com

1

9/13/99

เอกสารนี้เป็นเอกสารที่สงวนไว้สำหรับการใช้งานเพื่อการศึกษาเท่านั้น ไม่อนุญาตให้นำไปใช้ประโยชน์ด้านการค้า  
ไม่ว่ากรณีใดๆทั้งสิ้น อีกทั้งห้ามมิให้ดัดแปลงเนื้อหา และต้องอ้างอิงถึงเจ้าของเอกสารทุกครั้งที่มีการนำไปใช้

## Electrical Characteristics @ $T_J = 25^\circ\text{C}$ (unless otherwise specified)

	Parameter	Min.	Typ.	Max.	Units	Conditions
$V_{BR(DSS)}$	Drain-to-Source Breakdown Voltage	55	—	—	V	$V_{GS} = 0V, I_D = 250\mu A$
$\Delta V_{BR(DSS)}/\Delta T_J$	Breakdown Voltage Temp. Coefficient	—	0.052	—	V/°C	Reference to $25^\circ\text{C}, I_D = 1mA$
$R_{DS(on)}$	Static Drain-to-Source On-Resistance	—	—	0.07	$\Omega$	$V_{GS} = 10V, I_D = 10A$ ①
$V_{GS(th)}$	Gate Threshold Voltage	2.0	—	4.0	V	$V_{DS} = V_{GS}, I_D = 250\mu A$
$g_m$	Forward Transconductance	4.5	—	—	S	$V_{DS} = 25V, I_D = 10A$
$I_{DSS}$	Drain-to-Source Leakage Current	—	—	25	$\mu A$	$V_{DS} = 55V, V_{GS} = 0V$
		—	—	250	$\mu A$	$V_{DS} = 44V, V_{GS} = 0V, T_J = 150^\circ\text{C}$
$I_{GSS}$	Gate-to-Source Forward Leakage	—	—	100	nA	$V_{DS} = 20V$
	Gate-to-Source Reverse Leakage	—	—	-100	nA	$V_{GS} = -20V$
$Q_g$	Total Gate Charge	—	—	20	nC	$I_D = 10A$
$Q_{GS}$	Gate-to-Source Charge	—	—	5.3	nC	$V_{DS} = 44V$
$Q_{GD}$	Gate-to-Drain ("Miller") Charge	—	—	7.6	nC	$V_{GS} = 10V$ , See Fig. 6 and 13 ②
$t_{d(on)}$	Turn-On Delay Time	—	4.9	—	ns	$V_{DD} = 28V$
$t_r$	Rise Time	—	34	—	ns	$I_D = 10A$
$t_{d(off)}$	Turn-Off Delay Time	—	19	—	ns	$R_G = 24\Omega$
$t_f$	Fall Time	—	27	—	ns	$R_G = 2.6\Omega$ , See Fig. 10 ③
$L_D$	Internal Drain Inductance	—	4.5	—	nH	Between lead, 6mm (0.2in.) from package and center of die contact
$L_S$	Internal Source Inductance	—	7.5	—	nH	
$C_{iss}$	Input Capacitance	—	370	—	pF	$V_{DS} = 0V$
$C_{oss}$	Output Capacitance	—	140	—	pF	$V_{DS} = 25V$
$C_{rfs}$	Reverse Transfer Capacitance	—	65	—	pF	$f = 1.0MHz$ , See Fig. 5

## Source-Drain Ratings and Characteristics

	Parameter	Min.	Typ.	Max.	Units	Conditions
$I_S$	Continuous Source Current (Body Diode)	—	—	17	A	MOSFET symbol showing the integral reverse p-n junction diode.
$I_{SM}$	Pulsed Source Current (Body Diode)	—	—	68	A	
$V_{SD}$	Diode Forward Voltage	—	—	1.3	V	$T_J = 25^\circ\text{C}, I_S = 10A, V_{GS} = 0V$ ④
$t_r$	Reverse Recovery Time	—	56	83	ns	$T_J = 25^\circ\text{C}, I_F = 10A$
$Q_{rr}$	Reverse Recovery Charge	—	120	180	nC	$dI/dt = 100A/\mu s$ ⑤

### Notes:

- ① Repetitive rating; pulse width limited by max. junction temperature. (See Fig. 11)
- ②  $V_{DD} = 25V$ , starting  $T_J = 25^\circ\text{C}$ ,  $L = 1.0mH$ ,  $R_G = 25\Omega$ ,  $I_{AS} = 10A$ . (See Figure 12)
- ③ Pulse width  $\leq 300\mu s$ ; duty cycle  $\leq 2\%$ .
- ④  $I_D \leq 10A$ ,  $dI/dt \leq 280A/\mu s$ ,  $V_{DS} \leq V_{BR(DSS)}$ ,  $T_J \leq 175^\circ\text{C}$
- ⑤  $dI/dt = 100A/\mu s$

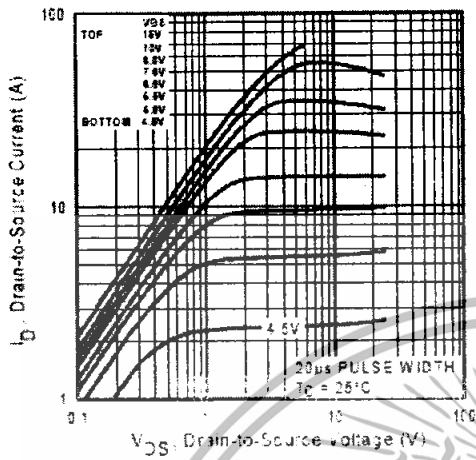


Fig 1. Typical Output Characteristics  
 $T_J = 25^\circ\text{C}$

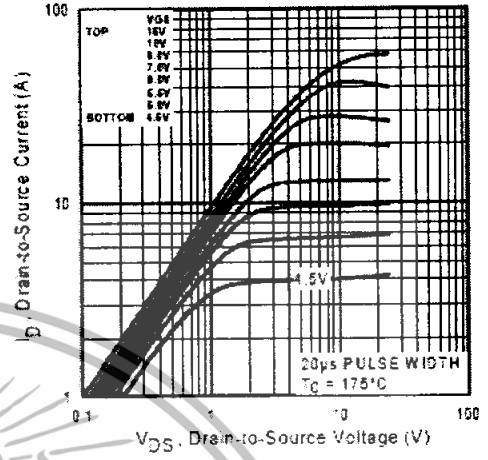


Fig 2. Typical Output Characteristics  
 $T_J = 175^\circ\text{C}$

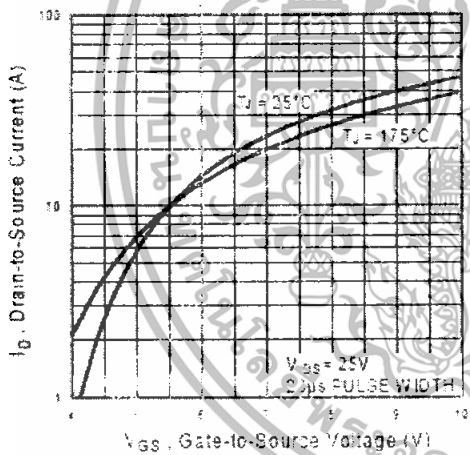


Fig 3. Typical Transfer Characteristics

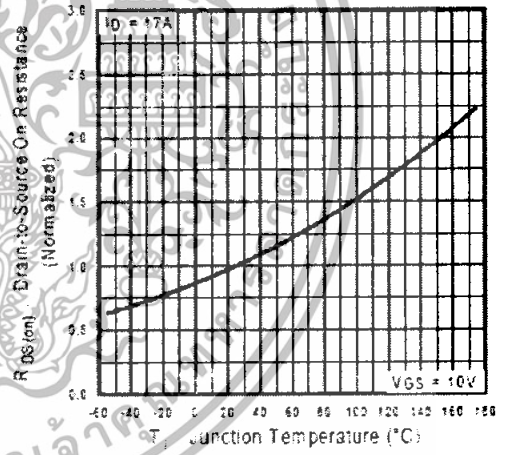


Fig 4. Normalized On-Resistance  
Vs. Temperature

เอกสารนี้เป็นเอกสารที่สงวนไว้สำหรับการใช้งานเพื่อการศึกษาเท่านั้น ไม่อนุญาตให้นำไปใช้ประโยชน์ด้านการค้า  
ไม่ว่ากรณีใดๆทั้งสิ้น อีกทั้งห้ามมิให้ดัดแปลงเนื้อหา และต้องอ้างอิงถึงเจ้าของเอกสารทุกครั้งที่มีการนำไปใช้

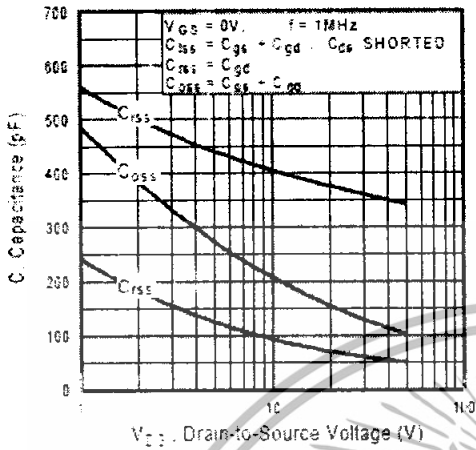


Fig 5. Typical Capacitance Vs Drain-to-Source Voltage

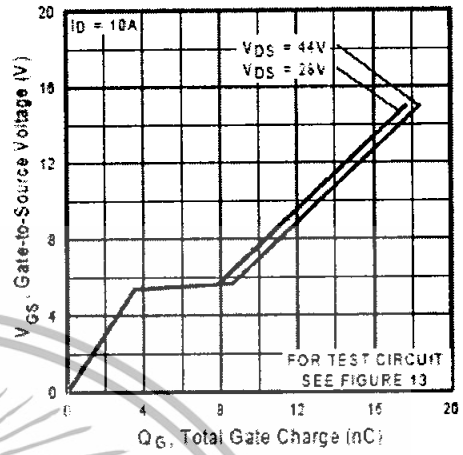


Fig 6. Typical Gate Charge Vs. Gate-to-Source Voltage

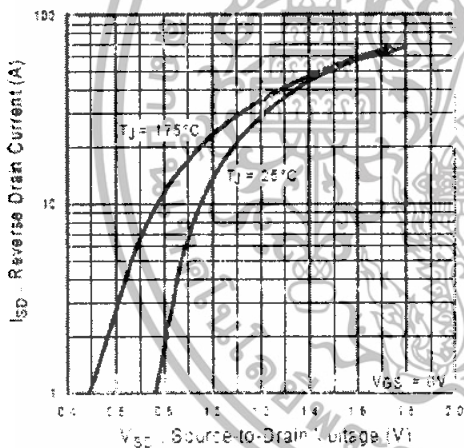


Fig 7. Typical Source-Drain Diode Forward Voltage

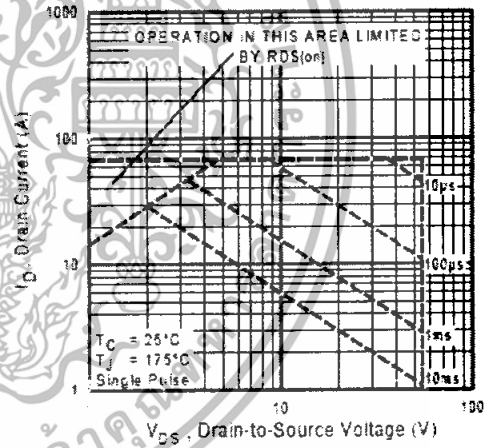


Fig 8. Maximum Safe Operating Area

เอกสารนี้เป็นเอกสารที่สงวนไว้สำหรับการใช้งานเพื่อการศึกษาเท่านั้น ไม่อนุญาตให้นำไปใช้ประโยชน์ด้านการค้า ไม่ว่าจะกรณีใดๆทั้งสิ้น อีกทั้งห้ามมิให้ดัดแปลงเนื้อหา และต้องอ้างอิงถึงเจ้าของเอกสารทุกครั้งที่มีการนำไปใช้

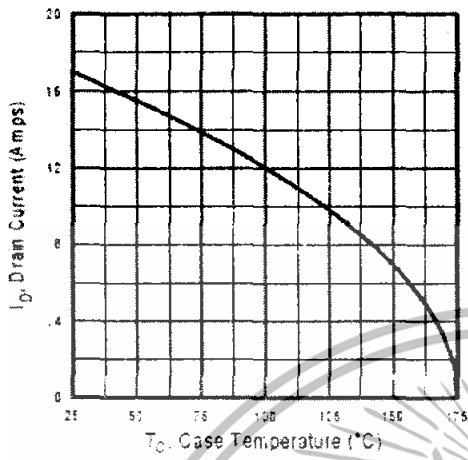


Fig 9. Maximum Drain Current Vs. Case Temperature

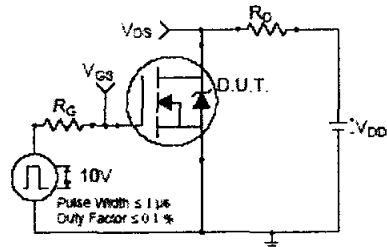


Fig 10a. Switching Time Test Circuit

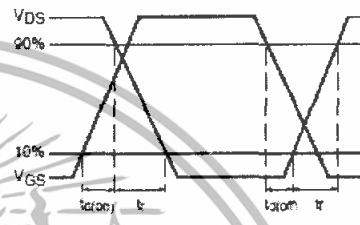


Fig 10b. Switching Time Waveforms

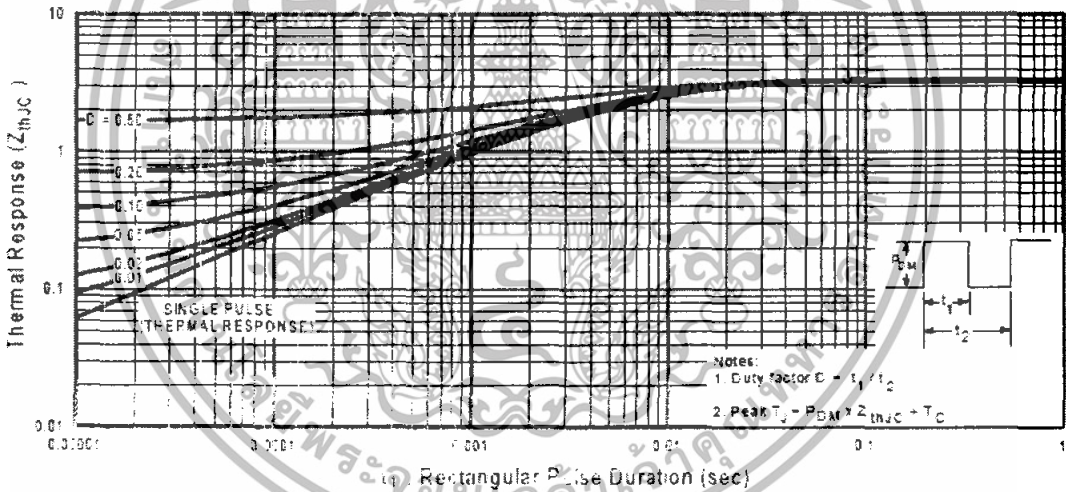


Fig 11. Maximum Effective Transient Thermal Impedance, Junction-to-Case

เอกสารนี้เป็นเอกสารที่สงวนไว้สำหรับการใช้งานเพื่อการศึกษาเท่านั้น ไม่อนุญาตให้นำไปใช้ประโยชน์ด้านการค้า ไม่ว่าจะกรณีใดๆทั้งสิ้น อีกทั้งห้ามมิให้ดัดแปลงเนื้อหา และต้องอ้างอิงถึงเจ้าของเอกสารทุกครั้งที่มีการนำไปใช้

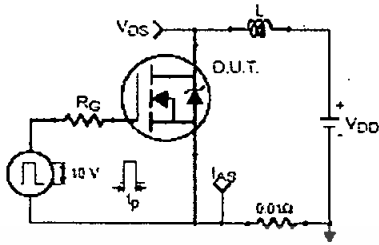


Fig 12a. Unclamped Inductive Test Circuit

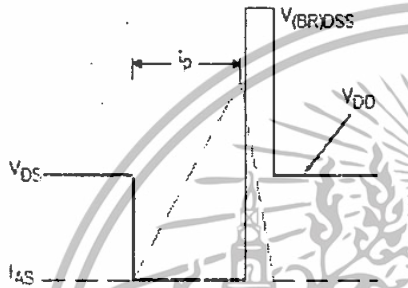


Fig 12b. Unclamped Inductive Waveforms

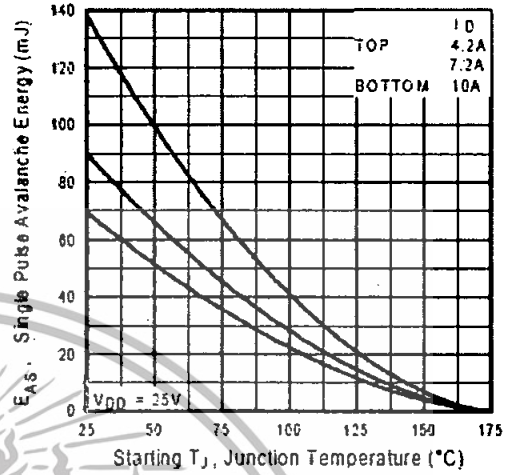


Fig 12c. Maximum Avalanche Energy Vs. Drain Current

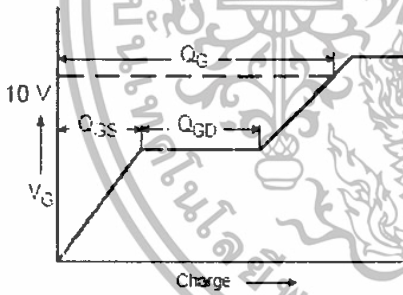


Fig 13a. Basic Gate Charge Waveform

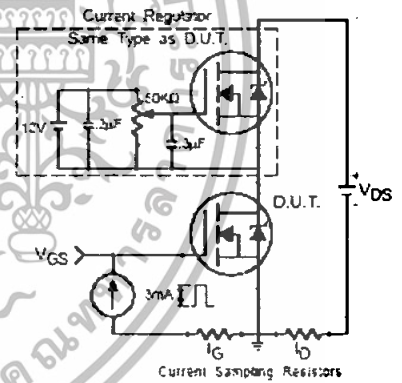


Fig 13b. Gate Charge Test Circuit

เอกสารนี้เป็นเอกสารที่สงวนไว้สำหรับการใช้งานเพื่อการศึกษาเท่านั้น ไม่อนุญาตให้นำไปใช้ประโยชน์ด้านการค้า  
ไม่ว่ากรณีใดๆทั้งสิ้น อีกทั้งห้ามมิให้ดัดแปลงเนื้อหา และต้องอ้างอิงถึงเจ้าของเอกสารทุกครั้งที่มีการนำไปใช้



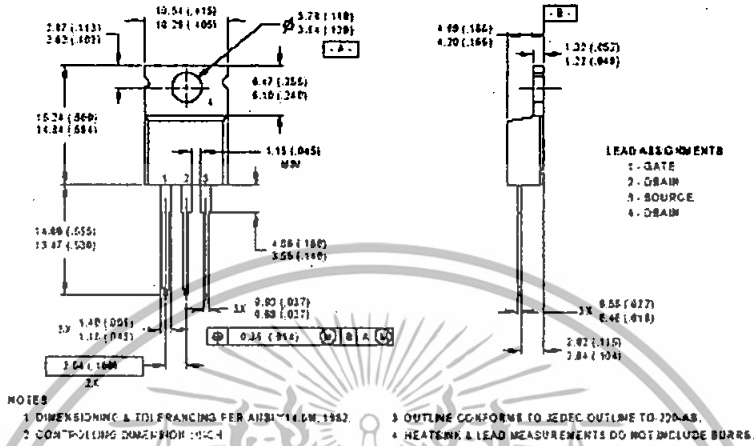
# IRFZ24N

International  
**IR** Rectifier

## Package Outline

TO-220AB

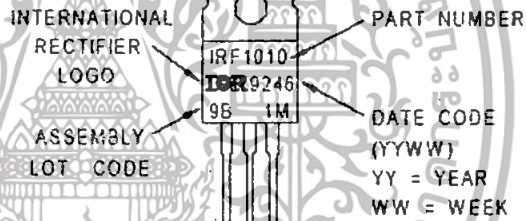
Dimensions are shown in millimeters (inches)



## Part Marking Information

TO-220AB

EXAMPLE: THIS IS AN IRF1010  
WITH ASSEMBLY  
LOT CODE 9B1M



International  
**IR** Rectifier

WORLD HEADQUARTERS: 233 Kansas St., El Segundo, California 90245, Tel: (310) 322 3331  
 IR GREAT BRITAIN: Hurst Green, Oxted, Surrey RH8 9BB, UK Tel: ++ 44 1883 732020  
 IR CANADA: 15 Lincoln Court, Brampton, Ontario L6T3Z2, Tel: (905) 453 2200  
 IR GERMANY: Saalburgstrasse 157, 61350 Bad Homburg Tel: ++ 49 6172 96590  
 IR ITALY: Via Liguria 49, 10071 Borgaro, Torino Tel: ++ 39 11 451 0111  
 IR FAR EAST: K&H Bldg., 2F, 30-4 Nishi-Ikebukuro 3-Chome, Toshima-Ku, Tokyo Japan 171 Tel: 81 3 3983 0086  
 IR SOUTHEAST ASIA: 1 Km Seng Promenade, Great World City West Tower, 13-11, Singapore 237994 Tel: ++ 65 838 4630  
 IR TAIWAN: 16 Fl. Suite D. 207, Sec. 2, Tun Haw South Road, Taipei, 10673, Taiwan Tel: 886-2-2377-9936  
<http://www.irf.com/> Data and specifications subject to change without notice. 9/99

www.irf.com

## LM566C Voltage Controlled Oscillator

### General Description

The LM566CN is a general purpose voltage controlled oscillator which may be used to generate square and triangular waves, the frequency of which is a very linear function of a control voltage. The frequency is also a function of an external resistor and capacitor.

The LM566CN is specified for operation over the 0°C to +70°C temperature range.

### Features

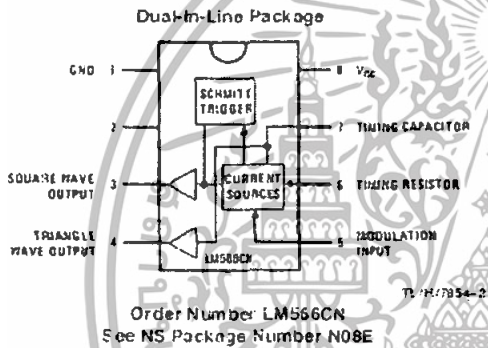
- Wide supply voltage range: 10V to 24V
- Very linear modulation characteristics

- High temperature stability
- Excellent supply voltage rejection
- 10 to 1 frequency range with fixed capacitor
- Frequency programmable by means of current, voltage, resistor or capacitor

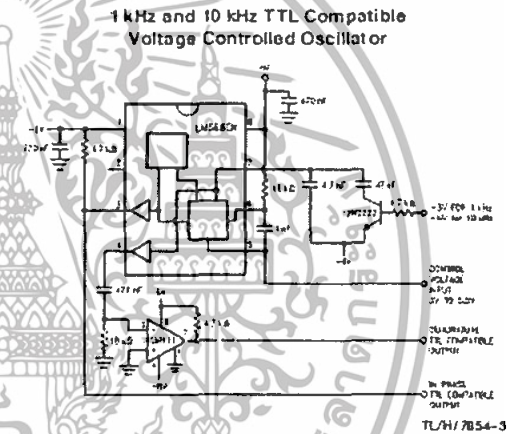
### Applications

- FM modulation
- Signal generation
- Function generation
- Frequency shift keying
- Tone generation

### Connection Diagram



### Typical Application



เอกสารนี้เป็นเอกสารที่สงวนไว้สำหรับการใช้งานเพื่อการศึกษาเท่านั้น ไม่อนุญาตให้นำไปใช้ประโยชน์ด้านการค้า  
ไม่ว่ากรณีใดๆทั้งสิ้น อีกทั้งห้ามมิให้ดัดแปลงเนื้อหา และต้องอ้างอิงถึงเจ้าของเอกสารทุกครั้งที่มีการนำไปใช้

## Absolute Maximum Ratings

If Military/Aerospace specified devices are required, please contact the National Semiconductor Sales Office/Distributors for availability and specifications.

Power Supply Voltage	26V
Power Dissipation (Note 1)	1000 mW
Operating Temperature Range, LM566CN	0°C to +70°C
Lead Temperature (Soldering, 10 sec.)	+260°C

## Electrical Characteristics $V_{CC} = 12V, T_A = 25^\circ C$ , AC Test Circuit

Parameter	Conditions	LM566C			Units
		Min	Typ	Max	
Maximum Operating Frequency	$R_O = 2k$ $C_O = 2.7 pF$	0.5	1		MHz
VCO Free-Running Frequency	$C_O = 1.5 nF$ $R_O = 20k$ $f_O = 10 kHz$	-30	0	+30	%
Input Voltage Range Pin 5		$\frac{1}{3} V_{CC}$		$V_{CC}$	
Average Temperature Coefficient of Operating Frequency			200		ppm/°C
Supply Voltage Rejection	10-20V		0.1	2	%/V
Input Impedance Pin 5		0.5	1		MΩ
VCO Sensitivity	For Pin 5, From 8-10V, $f_O = 10 kHz$	6.0	6.6	7.2	kHz/V
FM Distortion	±10% Deviation		0.2	1.5	%
Maximum Sweep Rate			1		MHz
Sweep Range			10:1		
Output Impedance Pin 3			50		Ω
Pin 4			50		Ω
Square Wave Output Level	$R_{L1} = 10k$	5.0	5.4		Vp-p
Triangle Wave Output Level	$R_{L2} = 10k$	2.0	2.4		Vp-p
Square Wave Duty Cycle		40	50	60	%
Square Wave Rise Time			20		ns
Square Wave Fall Time			50		ns
Triangle Wave Linearity	+1V Segment at $\frac{1}{2} V_{CC}$		0.5		%

Note 1: The maximum junction temperature of the LM566CN is 150°C. For operation at elevated junction temperatures, maximum power dissipation must be derated based on a thermal resistance of 115°C/W, junction to ambient.

## Applications Information

The LM566CN may be operated from either a single supply as shown in this test circuit, or from a split (±) power supply. When operating from a split supply, the square wave output (pin 3) is TTL compatible (2 mA current sink) with the addition of a 4.7 kΩ resistor from pin 3 to ground.

A 0.001 μF capacitor is connected between pins 5 and 6 to prevent parasitic oscillations that may occur during VCO switching.

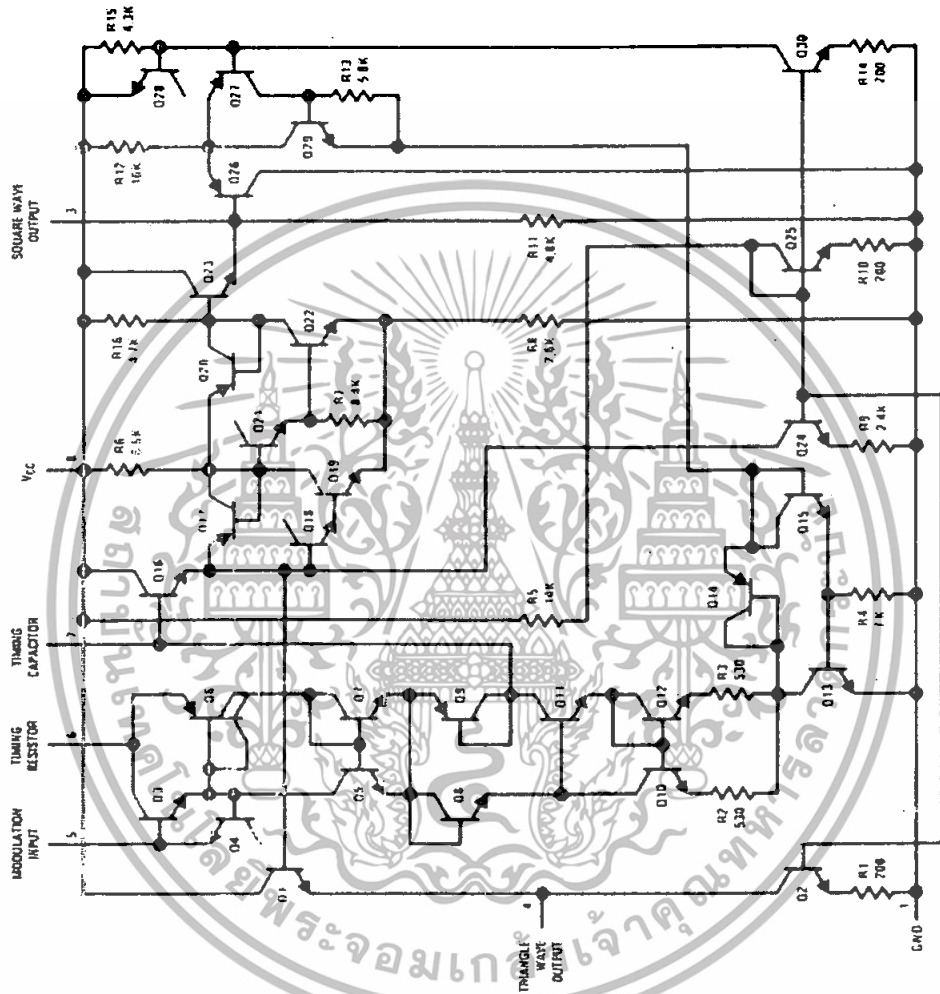
$$f_O = \frac{2.4(V^+ - V_S)}{R_O C_O V^+}$$

where

$$2K < R_O < 20K$$

and  $V_S$  is voltage between pin 5 and pin 1.

# Schematic Diagram

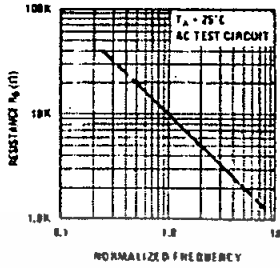


TU/PI/7854-1

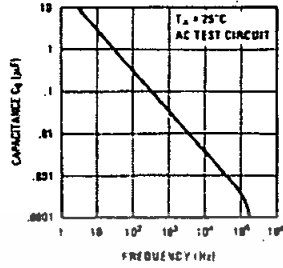
เอกสารนี้เป็นเอกสารที่สงวนไว้สำหรับการใช้งานเพื่อการศึกษาเท่านั้น ไม่อนุญาตให้นำไปใช้ประโยชน์ด้านการค้า  
ไม่ว่ากรณีใดๆทั้งสิ้น อีกทั้งห้ามมิให้ดัดแปลงเนื้อหา และต้องอ้างอิงถึงเจ้าของเอกสารทุกครั้งที่มีการนำไปใช้

# Typical Performance Characteristics

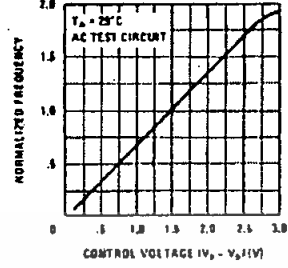
Operating Frequency as a Function of Timing Resistor



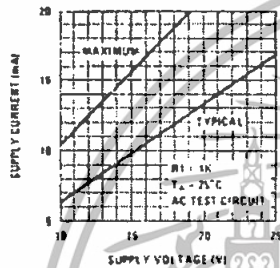
Operating Frequency as a Function of Timing Capacitor



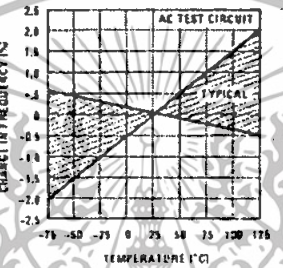
Normalized Frequency as a Function of Control Voltage



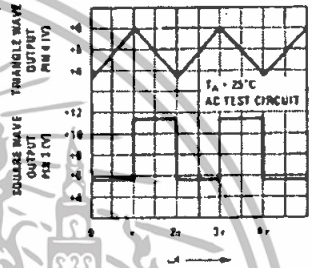
Power Supply Current



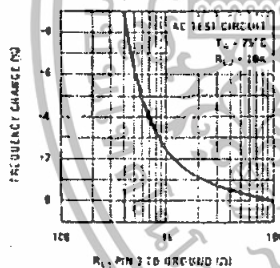
Temperature Stability



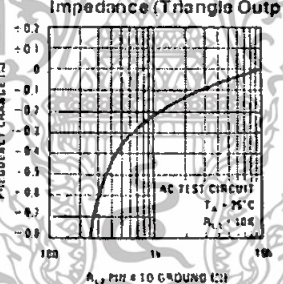
VCO Waveforms



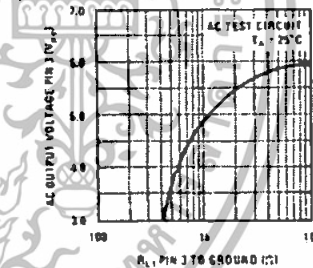
Frequency Stability vs Load Resistance (Square Wave Output)



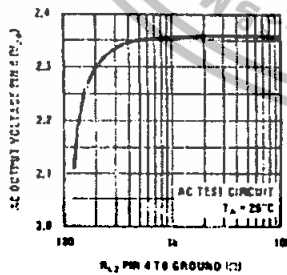
Frequency Stability vs Load Impedance (Triangle Output)



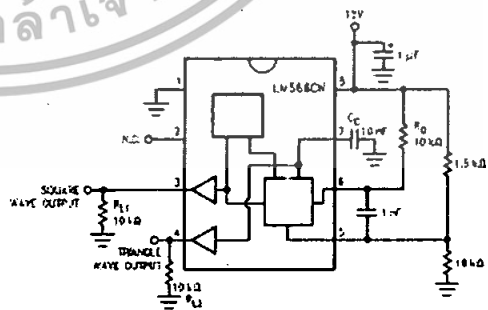
Square Wave Output Characteristics



Triangle Wave Output Characteristics



AC Test Circuit



TL/H/7854-4

TL/H/7854-5

TL/H/7854-6

เอกสารนี้เป็นเอกสารที่สงวนไว้สำหรับการใช้งานเพื่อการศึกษาเท่านั้น ไม่อนุญาตให้นำไปใช้ประโยชน์ด้านการค้า ไม่ว่าจะกรณีใดๆทั้งสิ้น อีกทั้งห้ามมิให้ดัดแปลงเนื้อหา และต้องอ้างอิงถึงเจ้าของเอกสารทุกครั้งที่มีการนำไปใช้

# Efficient Fast Rectifier Diode

## MUR160

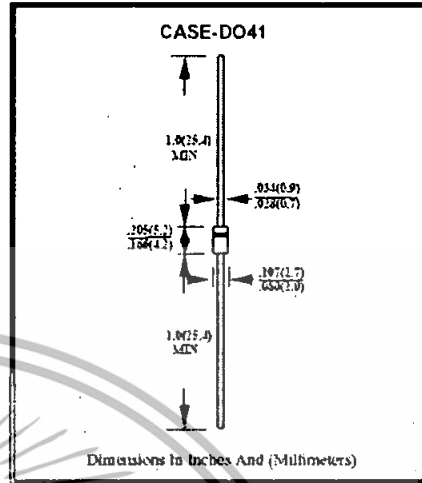
Voltage: 600 Volts  
Current: 1.0 A

### Features

- Low power loss, high efficiency
- Low Leakage
- Low Forward Voltage Drop
- High Current Capability
- High Speed Switching
- High Reliability
- High Current Surge
- Glass Passivated Chip Junction

### Mechanical data

- Case: GMolded Plastic
- Epoxy: GUI 94v-0 Rate Flame Retardant
- Lead: GMil-Std-202e Method 208c Guaranteed
- Mounting Position: GAAny



### Maximum Ratings and Electrical Characteristics

RATINGS	SYMBOL	MUR160	UNITS
MAXIMUM RECURRENT PEAK REVERSE VOLTAGE	$V_{RM}$	600	V
MAXIMUM RMS VOLTAGE	$V_{RMS}$	420	V
MAXIMUM DC BLOCKING VOLTAGE	$V_{DC}$	600	V
MAXIMUM AVERAGE FORWARD RECTIFIED CURRENT .375" (9.5mm) LEAD LENGTH AT $T_A=55^\circ\text{C}$	$I_o$	1	A
PEAK FORWARD SURGE CURRENT, 8.3ms SINGLE HALF SINE-WAVE SUPERIMPOSED ON RATED LOAD	$I_{FSM}$	35	A
TYPICAL JUNCTION CAPACITANCE (NOTE 1)	$C_J$	20	PF
TYPICAL THERMAL RESISTANCE (NOTE 2)	$R_{\theta J}$	15	$^\circ\text{C/W}$
STORAGE TEMPERATURE RANGE	$T_{STG}$	- 55 TO + 150	$^\circ\text{C}$
OPERATING TEMPERATURE RANGE	$T_{OP}$	- 55 TO + 150	$^\circ\text{C}$

### ELECTRICAL CHARACTERISTICS ( $A_T, T_A = 25^\circ\text{C}$ UNLESS OTHERWISE NOTED)

CHARACTERISTICS	SYMBOL	MUR160	UNITS
MAXIMUM FORWARD VOLTAGE AT $I_o$ DC	$V_F$	1.25	V
MAXIMUM REVERSE CURRENT AT $25^\circ\text{C}$	$I_R$	5	mA
MAXIMUM REVERSE CURRENT AT $100^\circ\text{C}$	$I_R$	250	mA
MAXIMUM REVERSE RECOVERY TIME (NOTE 3)	$T_{F,R}$	50	nS

#### NOTE:

1. MEASURED AT 1 MHz AND APPLIED REVERSE VOLTAGE OF 4.0 VOLTS
2. BOTH LEADS ATTACHED TO HEAT SINK, 20\*20\*(1.5mm) COPPER PLATE AT LEAD LENGTH 5mm
3. REVERSE RECOVERY TEST CONDITIONS:  $I_F=0.6A, I_R=1.0A, I_{RR}=0.25A$

เอกสารนี้เป็นเอกสารที่สงวนไว้สำหรับการใช้งานเพื่อการศึกษาเท่านั้น ไม่อนุญาตให้นำไปใช้ประโยชน์ด้านการค้า  
ไม่ว่ากรณีใดๆทั้งสิ้น อีกทั้งห้ามมิให้ดัดแปลงเนื้อหา และต้องอ้างอิงถึงเจ้าของเอกสารทุกครั้งที่มีการนำไปใช้

## Rating and Characteristic Curves (MUR160)

FIG. 1-TEST CIRCUIT DIAGRAM AND REVERSE RECOVERY TIME CHARACTERISTIC

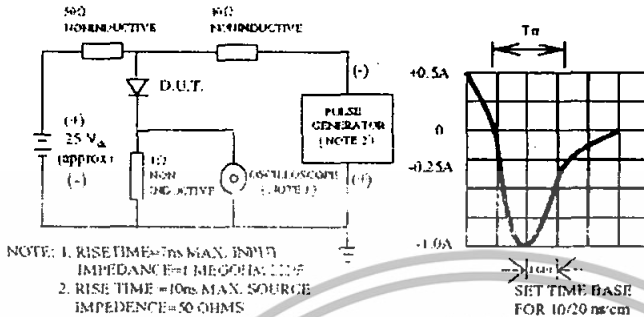


FIG. 2-TYPICAL FORWARD CURRENT DERATING CURVE

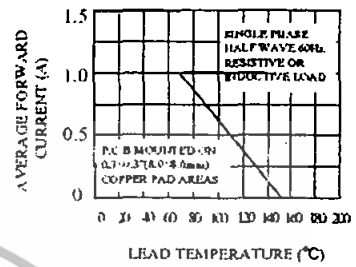


FIG. 3-TYPICAL REVERSE CHARACTERISTICS

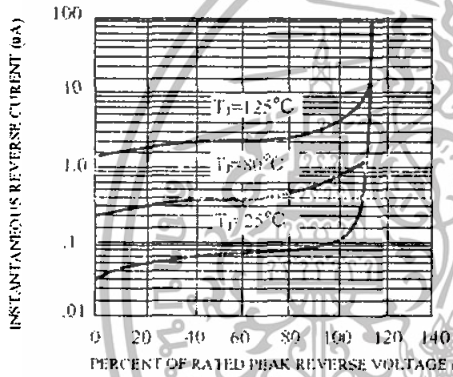


FIG. 4-TYPICAL INSTANTANEOUS FORWARD CHARACTERISTICS

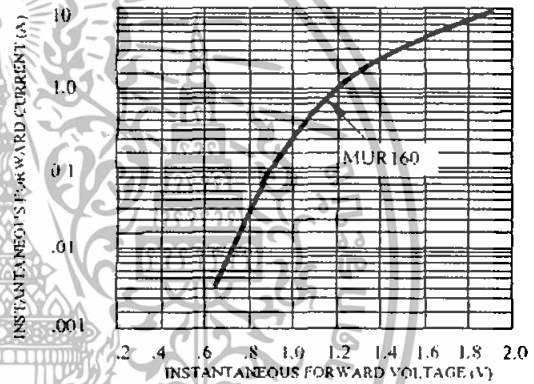


FIG. 5-MAXIMUM NON-REPEITIVE FORWARD SURGE CURRENT

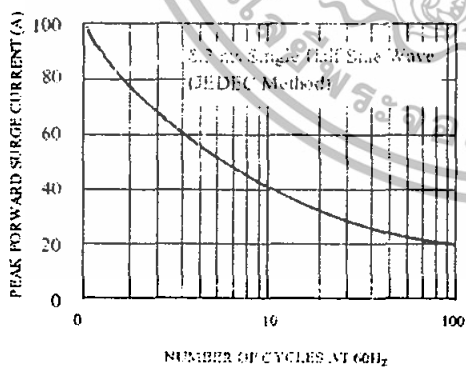
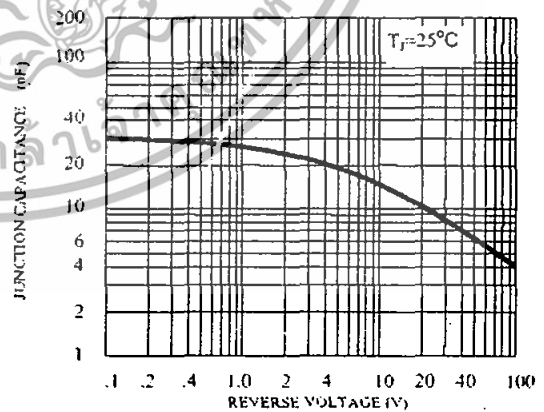


FIG. 6-TYPICAL JUNCTION CAPACITANCE



เอกสารนี้เป็นเอกสารที่สงวนไว้สำหรับการใช้งานเพื่อการศึกษาเท่านั้น ไม่อนุญาตให้นำไปใช้ประโยชน์ด้านการค้า  
ไม่ว่ากรณีใดๆทั้งสิ้น อีกทั้งห้ามมิให้ดัดแปลงเนื้อหา และต้องอ้างอิงถึงเจ้าของเอกสารทุกครั้งที่มีการนำไปใช้

# WIMA MKP 10



## Polypropylene (PP) Capacitors for Pulse Applications with Double-Sided Metallized Electrodes and Schoopage Contacts PCM 7.5 mm to 37.5 mm

### Special Features

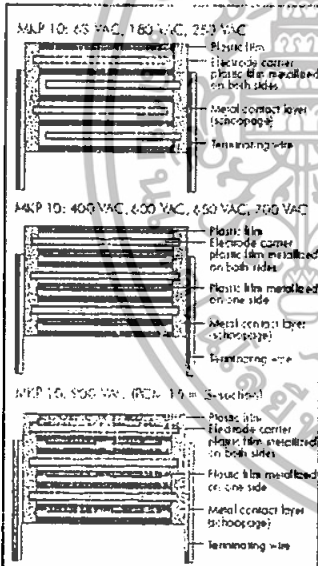
- Pulse duty construction
- Self-healing
- Very low dissipation factor
- Negative capacitance change versus temperature
- According to RefB 2092/95/EC

### Typical Applications

- For pulse applications e.g.
- Switch mode power supplies
  - TV and monitor sets
  - Lighting
  - Audio/video equipment

### Construction

Dielectric: Polypropylene (PP) film  
 Capacitor electrodes:  
 Double-sided metallized plastic film  
 Internal construction:



**Encapsulation:**  
 Solvent-resistant, flame-retardant plastic case with epoxy resin seal, UL 94 V-0  
**Terminations:** Tinned wire  
**Marking:** Colours: Red  
**Marking:** Black, Epoxy resin seal: Red

### Electrical Data

**Capacitance range:**  
 1000 pF to 15 µF IET2-values on request  
**Rated voltages:**  
 100 VDC, 250 VDC, 400 VDC, 630 VDC, 1000 VDC, 1600 VDC, 2000 VDC, 2500 VDC  
**Capacitance tolerances:**  
 ±20% ±10% ±5%  
**Operating temperature range:**  
 -55° C to +100° C  
**Climatic test category:**  
 55/100/56 in accordance with IEC  
**Insulation resistance at +20° C:**  
 $C \leq 0.33 \mu\text{F}$ :  $\geq 1 \times 10^9 \text{ M}\Omega$   
 (mean value:  $5 \times 10^9 \text{ M}\Omega$ )  
 $C > 0.33 \mu\text{F}$ :  $\geq 30000 \text{ sec } \text{M}\Omega \times \mu\text{F}$   
 (mean value: 100000 sec)  
 Measuring voltage: 100 V/1 min.  
**Dissipation factors at +20° C, tan  $\delta$**

at f	$C \leq 0.1 \mu\text{F}$	$0.1 \mu\text{F} < C \leq 1.0 \mu\text{F}$	$C > 1.0 \mu\text{F}$
1 kHz	$\leq 3 \times 10^{-4}$	$\leq 3 \times 10^{-4}$	$\leq 3 \times 10^{-4}$
10 kHz	$\leq 4 \times 10^{-4}$	$\leq 6 \times 10^{-4}$	-
100 kHz	$\leq 15 \times 10^{-4}$	-	-

### Maximum pulse rise time:

Capacitance µF/pF	max. pulse rise time V/µsec at $T_A \leq 40^\circ\text{C}$								
	100 VDC	250 VDC	400 VDC	630 VDC	1000 VDC	1600 VDC	2000 VDC	2500 VDC	
1000 ... 2200	1000	1800	1800	1800	2800	5400	9000	11000	
3300 ... 6600	900	1200	1200	1200	2800	5400	9000	11000	
0.01 ... 0.022	700	1100	1200	1800	2100	3000	3400	11000	
0.033 ... 0.068	400	800	900	1900	2100	2100	2100	-	
0.1 ... 0.22	200	500	500	900	1400	1400	1400	-	
0.33 ... 0.68	100	300	400	700	900	900	900	-	
1.0 ... 2.2	70	200	200	400	400	500	-	-	
3.3 ... 4.7	50	80	100	150	-	-	-	-	
6.8 ... 15	35	50	70	-	-	-	-	-	

for pulses equal to the rated voltage

### Mechanical Tests

**Pull test on leads:**  
 $d \leq 0.8$ : 1.0 N in direction of leads  
 $d \geq 0.8$ : 2.0 N in direction of leads  
 according to IEC 60068-2-21  
**Vibration:**  
 6 hours at 10 ... 2000 Hz and 0.75 mm displacement amplitude or 10 g in accordance with IEC 60068-2-6  
**Low air density:**  
 $11 \text{ Pa} = 10 \text{ mbar}$  in accordance with IEC 60068-2-13  
**Bump test:**  
 4000 bumps at 390 m/sec<sup>2</sup>  
 in accordance with IEC 60068-2-27

### Packing

Available taped and reeled up to and including case size 15 x 26 x 31.5 / PCM 27.5 mm.

Detailed taping information and graphs at the end of the catalogue.

For further details and graphs please refer to Technical Information.